PROFILE SIN

(PROFILE Z FALISTYM ŚRODNIKIEM)

DOKUMENTACJA TECHNICZNA

ZEKON Sp. z o.o.
ul. Szyb Walenty 103
41-700 Ruda Śląska
tel.: +48 32 77 92 050
fax: +48 32 77 92 054
e-mail: info@zekon.pl

Listopad 2018

mgr inż. Wojciech Wojtusik

ROZDZIAŁ 1

Zasady ogólne i reguły wymiarowania

SPIS ZAWARTOŚCI:

1 GeometrIA 2
2 MateriaŁY 5
3 ZABEZPIECZENIE PRZECIWPOŻAROWE 7
4 PODSTAWY OBLICZEŃ 8
4.1 Nośność pasów 12
4.1.1 Pas rozciągany – nośność przekroju 12
4.1.2 Pas ściskany – nośność przekroju 12
4.1.3 Pas ściskany – niestateczność lokalna pasa 13
4.1.4 Pas ściskany – wyboczenie pasa w jego płaszczyźnie 14
4.2 Nośność środnika 17
4.2.1 Współczynnik niestateczności ogólnej $\chi_{c,g}$ 17
4.2.2 Współczynnik niestateczności lokalnej $\chi_{c,l}$ 18
4.3 Nośność środnika pod obciążeniem skupionym 19
4.4 Obciążenie siłą skupioną za pośrednictwem żebra 20
4.5 Docisk do betonu 21
4.6 Otwory w środniku 22
4.7 Przemieszczenia 24
5 Przykład liczbowy 25

1 GEOMETRIA

Profile ze środnikiem falistym (SIN) składają się z cienkościennego środnika o kształcie falistym oraz płaskich, szerokich pasów.

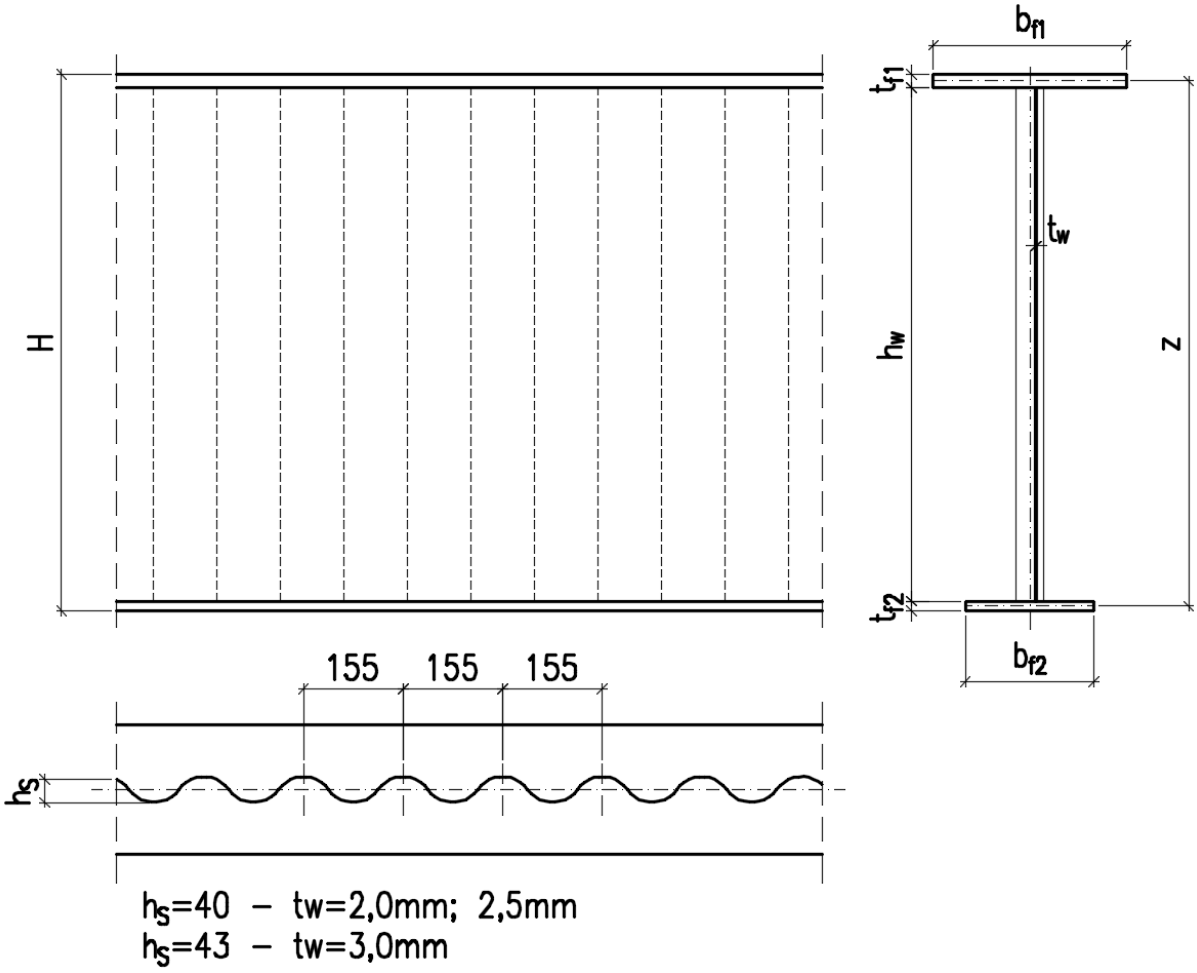

Rys. 1. Profil SIN – wymiary

Wymiary środników:
Wysokość środników: 333, 500, 625, 750, 1000, 1250, 1500
Grubości środników: 2,0mm, 2,5mm, 3,0mm (4.0mm, 5.0mm, 6.0mm na specjalne zamówienie)

Pasy:
Szerokość: 160mm - 450mm
Grubość: 8mm - 30mm

Dostarczane długości: 4000mm – 16400mm

Na specjalne zamówienie możliwe jest wyprodukowanie profili o wysokościach środników pośrednich pomiędzy 333 mm i 1500 mm. Trzeba jednak wziąć pod uwagę dodatkowe koszty związane z produkcją jak dodatkowe cięcie środnika, odpad materiału oraz minimalne ilości mogące zostać zrealizowane w

zamówieniu. Wiąże się z tym również dłuższy czas wykonania i dostawy gotowej konstrukcji na miejsce montażu.

Istnieje możliwość zastosowania profili o zróżnicowanych wymiarach pasów górnych i dolnych, a także profili zbieżnych o zbieżności w granicach 250mm – 1250mm, tak aby suma wysokości środnika profilu na obu końcach równała się jednej z podstawowych wysokości środnika podanych wyżej. Tnąc jeden odcinek środnika ukośnie otrzymujemy wówczas dwa identyczne profile zbieżne.

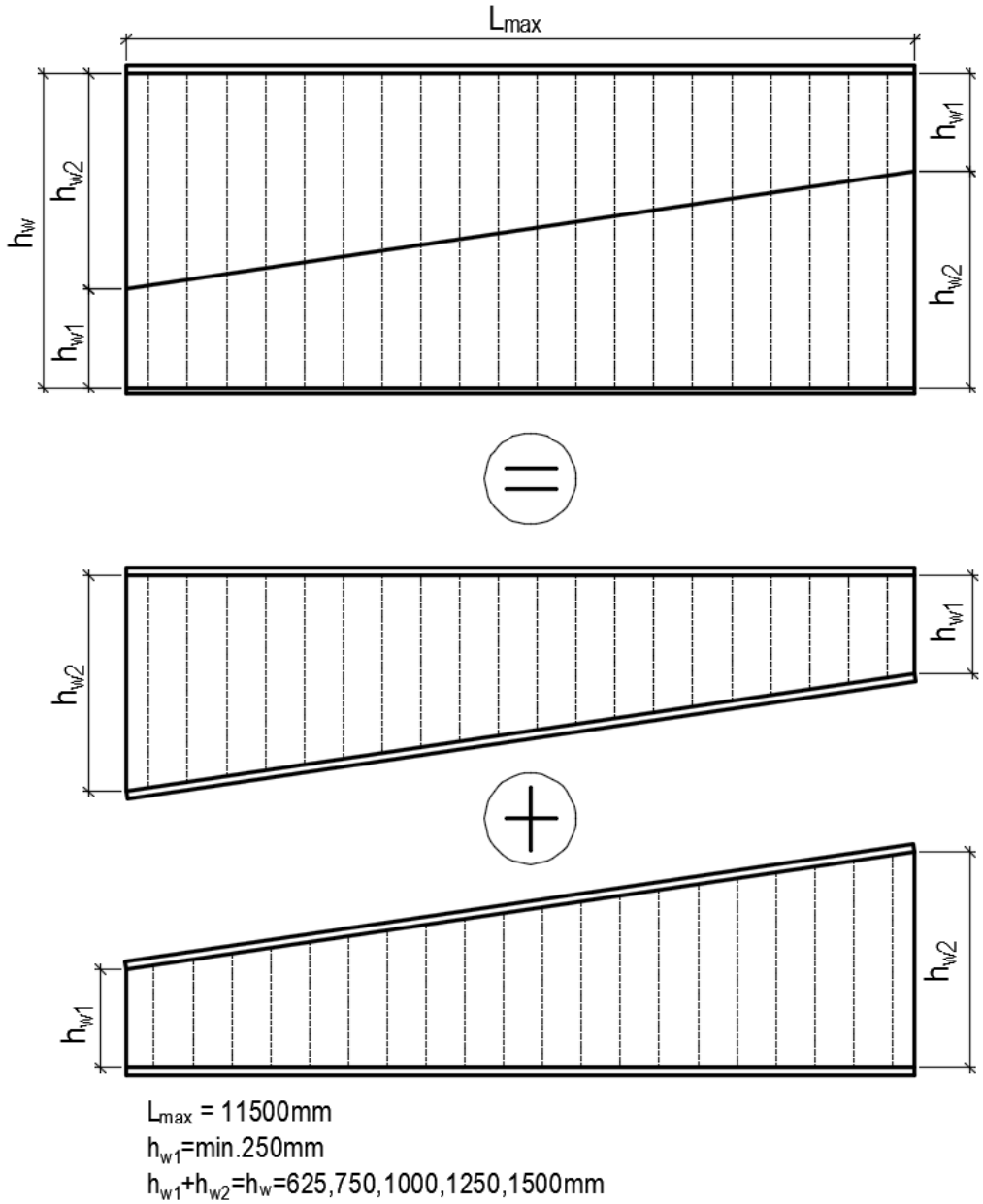

Rys. 2. Profil SIN zbieżny – wymiary

Nazwa profilu SIN może sugerować, że kształ środnika jest sinusoidą. Jest to jednak jedynie przybliżenie kształtu sinusoidy. Wynika to z technologii produkcji środnika, który powstaje poprzez deformację płaskiej blachy przepuszczonej przez system rolek w specjalnej maszynie. Specyfika produkcji falistego środnika jest taka, że łuki będące fragmentami okręgu są połączone między sobą prostymi odcinkami. Różnica pomiedzy rzeczywistym kształtem środnika a sinusoidą jest niewielka i może zostaćpominięta w dalszych rozważaniach.

.

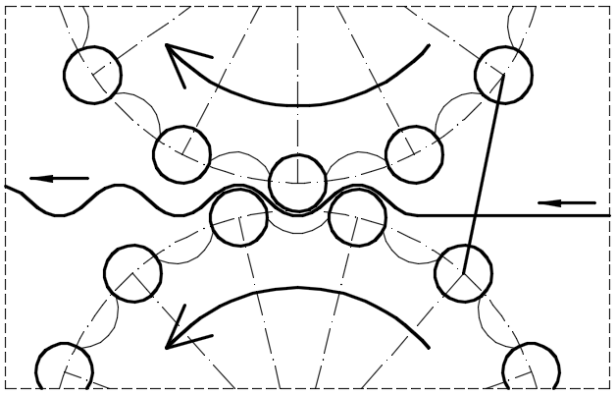

Przyjęcie w dalszych rozważaniach kształtu sinusoidy pozwala na zastosowanie trygonometrii i wyprowadzenie wzorów matematycznych, które pozwalają łatwiej uwzględnić geometrię kształtu środnika.

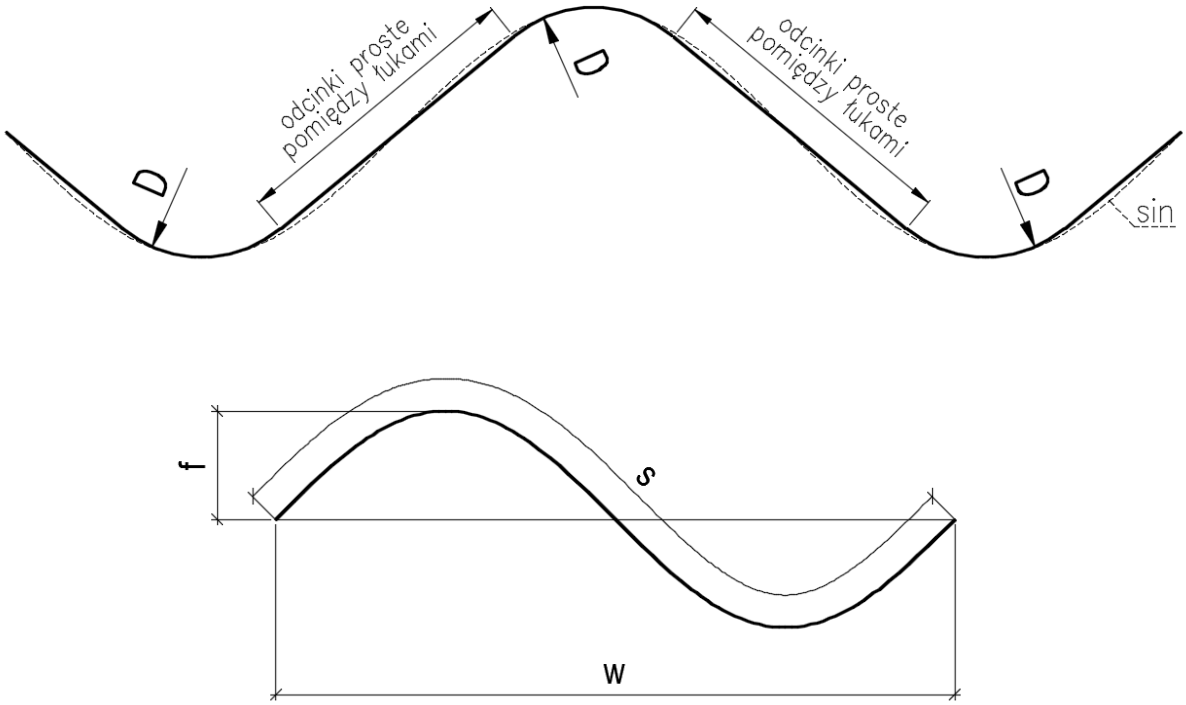

Rys. 3. Geometria fali sinusoidalnej

Geometrię środnika o fali sinusoidalnej można opisac wzorem:

$$y(x) = f \cdot \sin\left(\frac{\pi \cdot x}{0{,}5 \cdot w}\right) \tag{1}$$

$$s = \int_0^w \sqrt{1 + \left[\frac{h_s \cdot \pi}{w} \sin\left(\frac{2\pi x}{w}\right)\right]^2}\, dx \tag{2}$$

$$I_w = \int_0^w \frac{1}{12} t^3 + t\left[\frac{h_s}{2} \sin\left(\frac{2\pi x}{w}\right)\right]^2 dx \tag{3}$$

$h_s = 2f$

W tabeli 1 podano momenty bezwładności pojedyńczej fali

t [mm]	f [mm]	I_w [cm^4]
2,0	20	6,21
2,5	20	7,77
3,0	21,5	10,78

Tab. 1. Momenty bezwładności pojedynczej fali

W załączniku 1 podano charakterystyki geometryczne profili SIN dla wybranych grubości i szerokości pasów. Dla innych wymiarów pasów lub dla profili o różnych pasach podane w tabeli wartości należy obliczyć.

2 MATERIAŁY

Pasy: S235JR lub S355J2+N wg EN 10 025
Środnik: S235JR

Wszystkie inne gatunki stali traktowane są jako gatunki specjalne. Dla środnika o grubości 3mm (i większych) istnieje możliwość stosowania materiału o podwyższonej wytrzymałości S355J2+N. W takim przypadku informację o gatunku stali środnika należy wyraźnie opisać w dokumentacji projektowej, na rysunkach oraz listach materiałowych.

- moduł sprężystości: E = 210 000 N/mm^2
- moduł sprężystości przy ścinaniu: G = 81 000 N/mm^2

Falistość środnika powoduje, że odkształcenia postaciowe środnika sinusoidalnego są większe niż odkształcenia środnika płaskiego o tych samych

warunkach brzegowych oraz parametrach geometrycznych i materiałowych. Korzystając z modelu pręta Timoshenki środnik sinusoidalny zastąpić należy środnikiem płaskim o takiej samej odkształcalności postaciowej. Zgodność odkształceń zapewniona zostaje poprzez przyjęcie zastępczego zredukowanego współczynnika sprężystości poprzecznej.

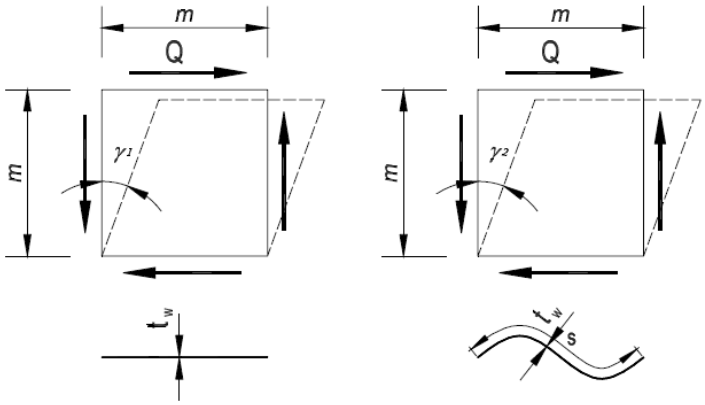

Żądamy aby przy tych samych wymiarach i wartości siły poprzecznej Q kąty odkształcenia postaciowego γ arkusza blachy płaskiej (1) i arkusza blachy falistej (2) były sobie równe:

$$\gamma_1 = \gamma_2 \tag{4}$$

gdzie:

$$\gamma_1 = \frac{\tau_1}{G_1} = \frac{\frac{Q}{t_w \cdot m}}{G_1} \qquad \gamma_2 = \frac{\tau_2}{G_2} = \frac{\frac{Q}{t_w \cdot s}}{G_2} \tag{5}$$

stąd otrzymuje się, że wartość współczynnika sprężystości poprzecznej powinna być zredukowana

$$G_{red} = G_2 = G_1 \cdot \frac{m}{s}. \tag{6}$$

Dla profili SIN stosunek m/s jest wartością stałą i wynosi

$$\frac{m}{s} = \frac{155}{178} = 0,87 \tag{7}$$

zredukowana wartość współczynnika sprężystości poprzecznej równa jest

$$G_{red} = 69,7 \text{ [GPa]} \tag{8}$$

3 ZABEZPIECZENIE PRZECIWPOŻAROWE

Zabezpieczenie ogniochronne konstrukcji stalowych przed ogniem zależy przede wszystkim od przepisów krajowych, aczkolwiek temat jest objęty przepisami EUROCODEs i ETAs (europejskimi aprobatami technicznymi) na poziomie europejskim. Zgodnie z tymi wstępnymi warunkami zaleca się następujące zasady w przypadku wymagań ochrony przeciwpożarowej:

R0 lub **R15**: Niezabezpieczone profile SIN mogą być sklasyfikowane jako R15. Odpowiednie badania zostały przeprowadzone w Austrii oraz w Republice Czeskiej.

R 30: Wymagane zabezpieczenie farbami pęczniejącymi.

Grubość warstw i stosowanie farb musi być zgodne ze specyfikacją określonego producenta, podobnie jak w przypadku tradycyjnych profili spawanych.

Specyfikacja taka powinna definiować maksymalną wartość A/V oraz minimalną grubość materiału, dla której zostały wykonane badania i na ich podstawie produkt został dopuszczony do stosowania.
Niezbędna grubość suchej powłoki w zależności od faktycznej proporcji A/V dobierana jest przez producenta systemu ogniochronnego dla konkretnego materiału.

> R30: zabezpieczenie przez obudowę płytami ogniochronnymi. Grubość i stosowanie muszą odpowiadać wytycznym producenta.

Stosunek A/V niektórych profili SIN jest podany w poniższej tabeli. Dla wartości nie podanych w tabeli stosunek ten należy obliczyć.

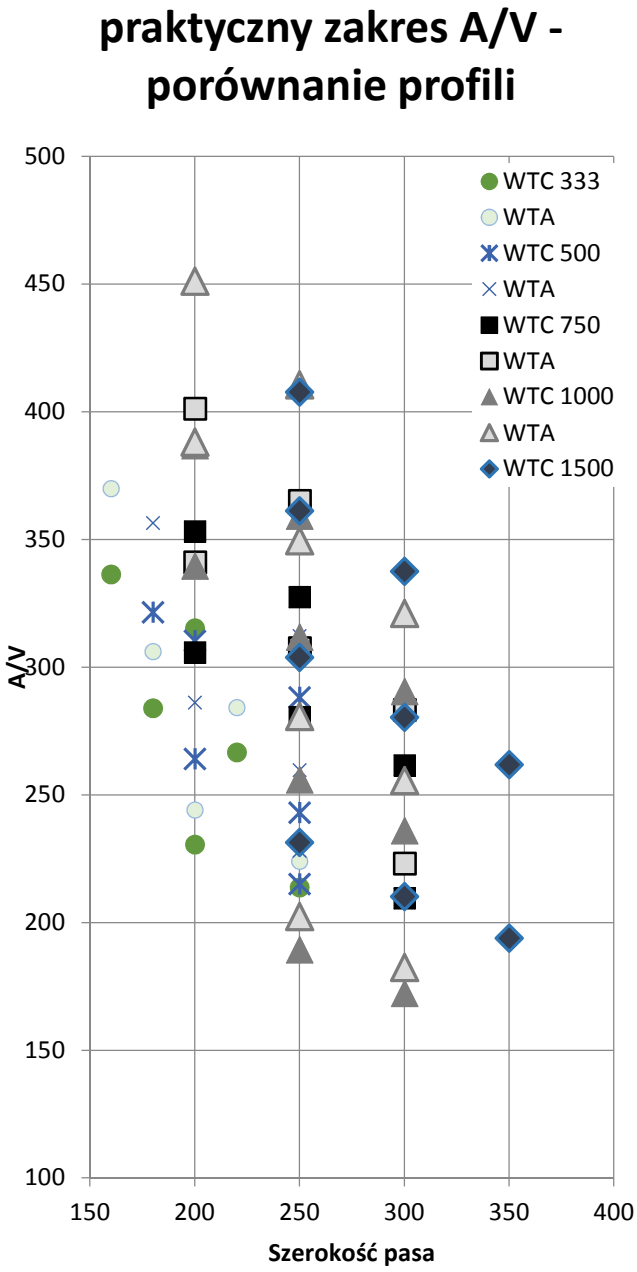

4 PODSTAWY OBLICZEŃ

Z punktu widzenia zagadnień statyki profil SIN pracuje jak typowa kratownica. Momenty zginajace i siły osiowe przenoszone są jedynie przez pasy a siły poprzeczne w całości przejmuje środnik.

Poprzez zastosowanie tego modelu mechanicznego belki oraz słupy mogą być obliczane nie tylko przy pomocy Eurokodów ale również innych norm dotyczących konstrukcji stalowych np. rosyjskich, chińskich i in.

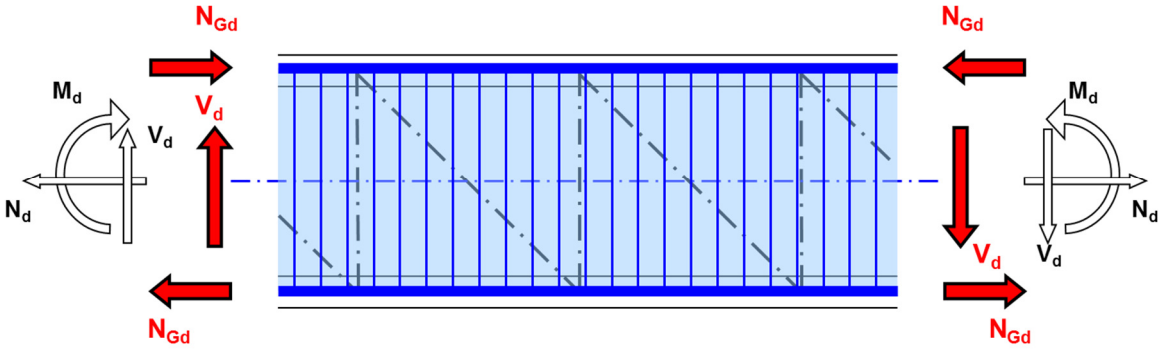

Postępując zgodnie z analogią do kratownicy można rozwiązać wszystkie problemy projektowe związane z profilami sin. Załączony katalog typowych rozwiązań konstrukcyjnych oraz detali może zostać rozszerzony.

a. Wyznaczenie sił w pasach dla profilu o tych samych wymiarach pasów

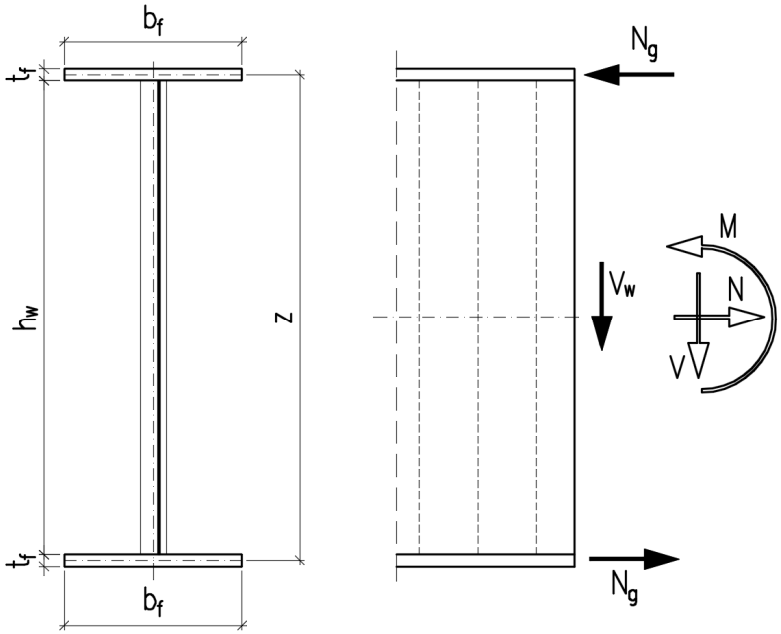

$$N_g = \frac{M}{z} \pm \frac{N}{2} \tag{9}$$

$$V_w = V \tag{10}$$

b. Wyznaczenie sił w pasach dla profilu z pasami o różnych wymiarach

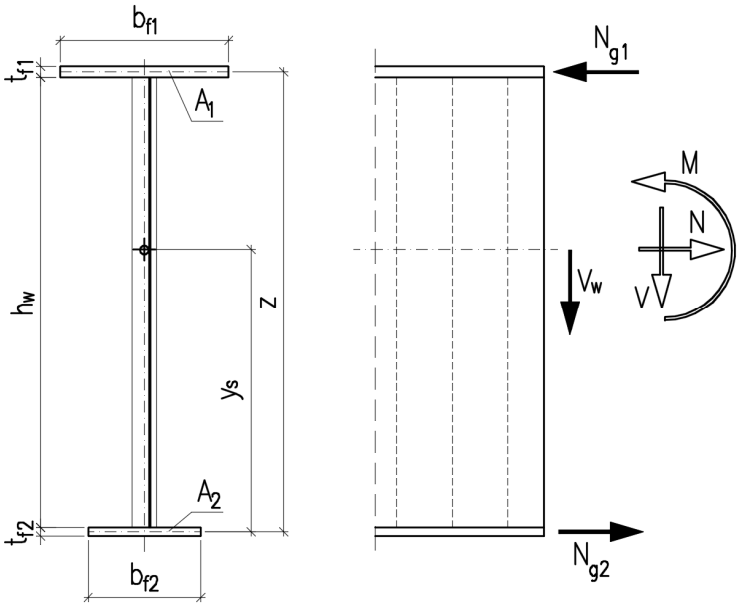

$A_1 = b_{f1} \times t_{f1}$ (11)

$A_2 = b_{f2} \times t_{f2}$ (12)

$$N_{g1} = \frac{M}{z} \pm N \cdot \frac{A_1}{A_1 + A_2} \quad (13)$$

$$N_{g2} = \frac{M}{z} \pm N \cdot \frac{A_2}{A_1 + A_2} \quad (14)$$

$V_w = V$ (15)

c. Wyznaczenie sił w pasach dla profilu zbieżnego

W przypadku profilu zbieżnego żaden z pasów nie jest równoległy do osi profilu. Z rozkładu sił wewnętrznych (M i N) na siły w pasach otrzymujemy siły, które nie są siłami osiowymi w pasach N,og oraz N,ug.

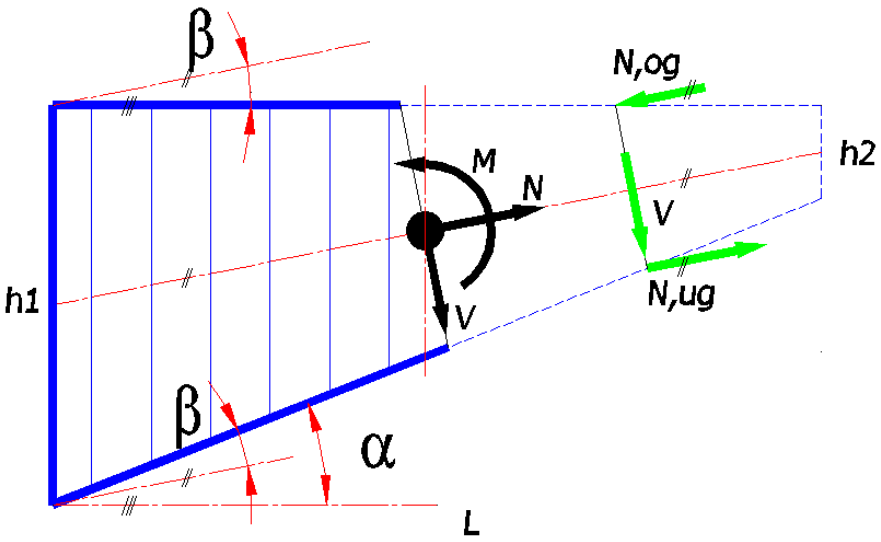

Składowe tych sił oddziaływują zarówno na pasy jak i na środnik powodując zwiększenie lub zmniejszenie siły tnącej. Należy pamietać, że tworząca fali środnika jest zawsze prostopadła do jednego z pasów co powoduje, że siła tnąca również podlega rozkładowi na siły przenoszone zarówno przez pasy jak i środnik.

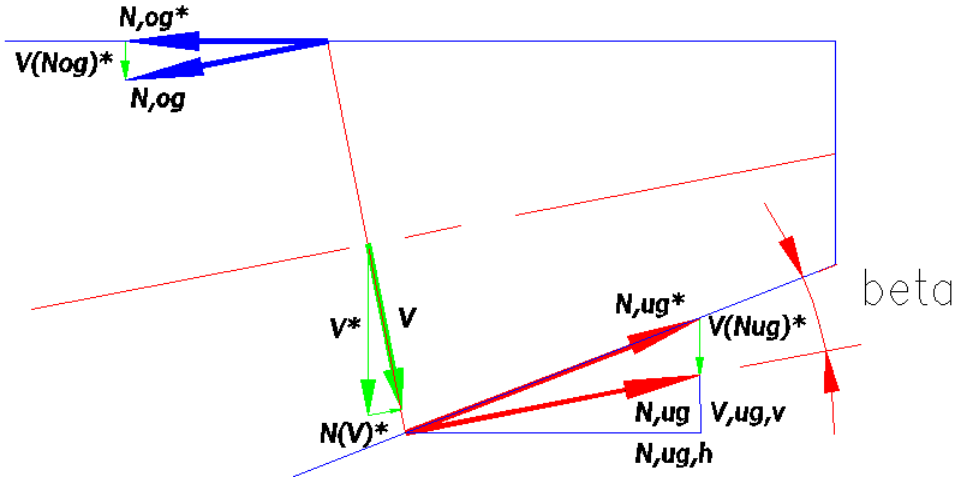

$$Nog^* = \cos(\beta) \cdot Nog \tag{16}$$

$$V(Nog)^* = \sin(\beta) \cdot Nog \tag{17}$$

$$Nug,h = Nug \cdot \cos(\beta) \tag{18}$$

$$Vug,v = Nug \cdot \sin(\beta) \tag{19}$$

$$Nug^* = \frac{Nug,h}{\cos(\alpha)} \tag{20}$$

$$V(Nug)^* = Nug,h \cdot \sin(\alpha) - Vug,v \tag{21}$$

$$N,og = \left[N + N(V)^*\right] \cdot \frac{A,og}{A,og + A,ug} - \frac{M}{(H,steg + \frac{t,og + t,ug}{2})} \tag{22}$$

$$N,ug = \left[N + N(V)^*\right] \cdot \frac{A,ug}{A,og + A,ug} + \frac{M}{(H,steg + \frac{t,og + t,ug}{2})} \tag{23}$$

Falisty kształt środnika pozwala na uniknięcie utraty stateczności środnika co pozwala na zastosowanie środnika o mniejszej grubości i bez żeber poprzecznych lub podłużnych, które najczęściej są wymagane w przypadku blachownic ze środnikiem płaskim.

Poza zaletami wynikającymi z technologii produkcji, środnik o kształcie sinusoisalnym ma przewagę nad środnikiem o kształcie trapezoidalnym w postaci wyeliminowania niestateczności lokalnej, która występuje na płaskich pasmach środnika trapezoidalnego.

Opierając się na wielu testach oraz badaniach naukowych począwszy od 1990 roku model bazujący na kratownicy został potwierdzony a reguły zawarte w normie PN-EN 1993-1-5 załącznik D mogą być stosowane z pewnymi modyfikacjami wynikającymi ze specyfiki tego konkretnego produktu oraz z uwzględnieniem zasad podanych w niniejszym opracowaniu.

4.1 Nośność pasów

Pasy poddane są działaniu sił ściskających lub rozciągających pochodzących od momentu zginającego oraz sił osiowych z pominięciem środnika.

4.1.1 Pas rozciągany – nośność przekroju

Zgodnie z PN-EN-1993-1-1 6.2.3

- w przypadku przekrojów brutto

$$\mathrm{N_{t.Rd}} = \mathrm{N_{pl.Rd}} = \frac{\mathrm{A} \cdot \mathrm{f_y}}{\gamma_{\mathrm{M0}}} \tag{24}$$

- w przypadku przekrojów z łącznikami

$$\mathrm{N_{t.Rd}} = \mathrm{N_{u.Rd}} = \frac{0{,}9 \cdot A_{net} \cdot \mathrm{f_u}}{\gamma_{\mathrm{M2}}} \tag{25}$$

4.1.2 Pas ściskany – nośność przekroju

Zgodnie z PN-EN-1993-1-1 6.2.4

$$N_{c,Rd} = \frac{A\, f_y}{\gamma_{M0}} \tag{26}$$

4.1.3 Pas ściskany – niestateczność lokalna pasa

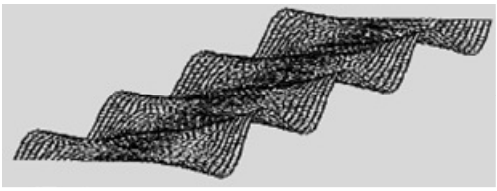

Zgodnie z PN-EN-1993-1-5 4.4

Model obliczeniowy pasa – ścianka wspornikowa utwierdzona w środniku falistym

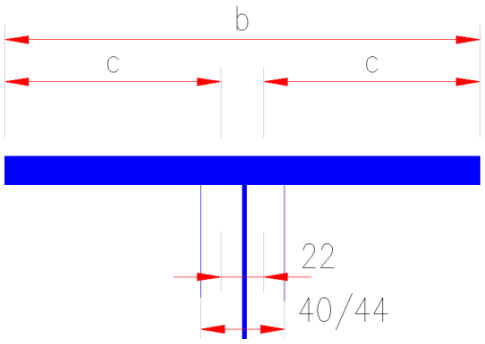

$$\bar{b} = c \tag{27}$$

Dążymy przyjęcia takich wymiarów pasa aby nie była konieczna redukcja pola przekroju pasa uwzględniająca niestateczność miejscową pasa.

ρ = 1,0 (28)

Maksymalna smukłość płytowa ścianki spełniająca powyższy warunek wynosi:

$$\bar{\lambda}_p \le 0,748 \tag{29}$$

Zakładając, że rozkład naprężeń od ściskania jest w całym przekroju równomierny przyjmujemy:

kσ = 0,43 (tablica 4.2) (30)

Po wstawieniu powyższych wartości do wzoru:

$$\bar{\lambda}_p = \sqrt{\frac{f_y}{\sigma_{cr}}} = \frac{\bar{b}/t}{28,4\,\varepsilon\,\sqrt{k_\sigma}} \tag{31}$$

Otrzymujemy zależność pozwalającą w pełni wykorzystać nośność pasa:

$$\begin{aligned} \bar{b} &\le t \cdot 28{,}4 \cdot \varepsilon \sqrt{k_\sigma} \cdot \bar{\lambda}_p \\ \bar{b} &\le t \cdot 28{,}4 \cdot \varepsilon \sqrt{0{,}43} \cdot 0{,}748 \\ \bar{b} &\le t \cdot \varepsilon \cdot 13{,}9 \end{aligned} \tag{32}$$

gdzie:

$$\varepsilon = \sqrt{\frac{235}{f_y \left[N/mm^2 \right]}} \tag{33}$$

Szerokość pasa, przy założonej grubości, musi spełniac warunek:

$$b \le \bar{b} \cdot 2 + 22mm \tag{34}$$

W razie nie spełnienia warunku (34) należy zgodnie z punktem 4.4 normy PN-EN-1993-1-5 obliczyć współczynnik redukcyjny uwzględniający niestateczność ścianki i do dalszych obliczeń przyjmować zredukowane pole przekroju pasa.

4.1.4 Pas ściskany – wyboczenie pasa w jego płaszczyźnie

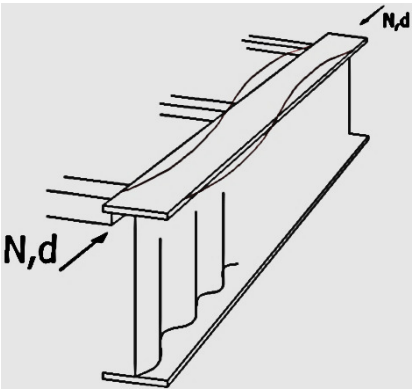

Rozważamy odcinek pasa stabilizowany punktowo stężeniami bocznymi o rozstawie L. Zakłada się model pręta przegubowego.

Obliczenia wykonujemy zgodnie z PN-EN-1993-1-1 6.3

Nośność obliczeniowa pasa ściskanego ulegającego wyboczeniu określona jest następująco:

$$N_{b,Rd} = \frac{\chi \, A \, f_y}{\gamma_{M1}} \tag{35}$$

Należy wyznaczyć smukłość względną pasa w swojej płaszczyźnie (w płaszczyźnie wyboczenia). Smukłość ta okreslona jest wzorem:

$$\bar{\lambda} = \sqrt{\frac{Af_y}{N_{cr}}} = \frac{L_{cr}}{i}\frac{1}{\lambda_1} \qquad (37)$$

gdzie:

i - promień bezwładności przekroju brutto

L_{cr} - długość wyboczeniowa w płaszczyźnie pasa.

Długość wyboczeniowa pasa L_{cr} zależy od przebiegu siły osiowej w pasie i zdefiniowana jest za pomocą współczynnika poprawkowego k_c. Sposób wyznaczenia współczynnika k_c pokazuje tablica 6.6 w normie PN-EN 1993-1-1. Poza typowymi przypadkami prętów swobodnie podpartych i jednostronnie zamocowanych obciążonych równomiernie na swojej długości lub siłą skupioną w środku tablica podaje również sposób obliczenia współczynnika k_c dla dowolnego, liniowego przebiegu siły osiowej w pasie.

Tablica 6.6: Współczynniki poprawkowe k_c

Rozkład momentów	k_c
$\psi = 1$	1,0
$-1 \le \psi \le 1$	$\frac{1}{1{,}33 - 0{,}33\psi}$
	0,94
	0,90
	0,91
	0,86
	0,77
	0,82

W przypadku krzywoliniowego przebiegu siły osiowej pomiędzy punktami podparć bocznych można posłużyć się przybliżeniem polegającym na połączeniu

wartości sił osiowych w punktach podparć bocznych uzyskując zastępczy przebieg liniowy a następnie skorzystać z tablicy 6.6 z wzoru podanej w drugiej linii. Dla każdego przedziału wyznaczonego punktami podparć bocznych należy osobno wyliczyć współczynnik k_c.

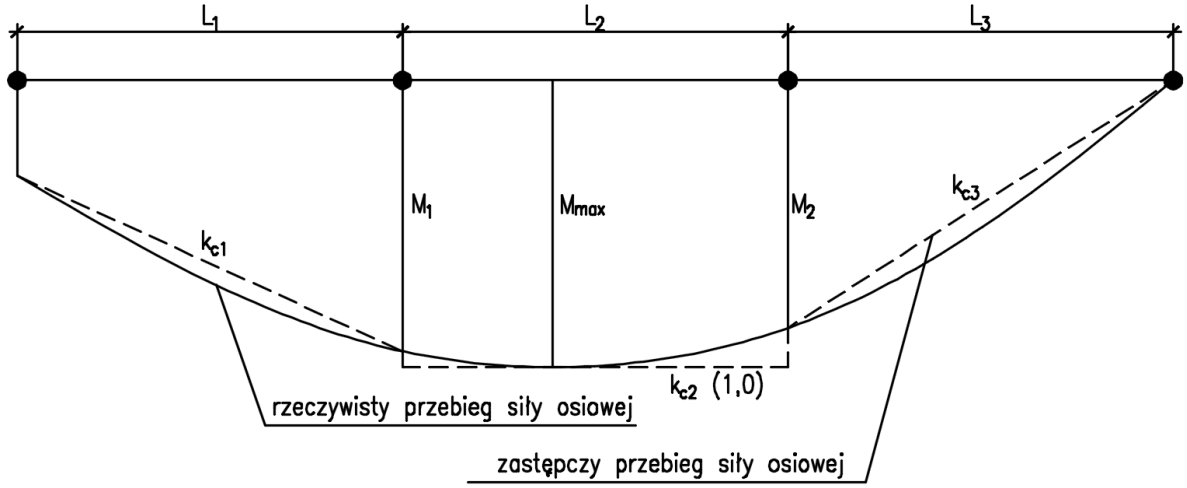

$$L_{cr.i} = k_{c.i} \cdot L_i \tag{39}$$

$$\lambda_1 = \pi\sqrt{\frac{E}{f_y}} = 93{,}9\varepsilon \tag{40}$$

$$\varepsilon = \sqrt{\frac{235}{f_y}} \quad (f_y \text{ w } N/mm^2) \tag{41}$$

Wartość współczynnika wyboczenia χ dla odpowiedniej smukłości względnej można przyjmować z wykresów na rysunku 6.4 w normie PN-EN-1993-1-1. Należy przyjąć krzywą wyboczenia c (jak dla prętów pełnych)

Wartość współczynnika wyboczenia χ dla odpowiedniej smukłości względnej można również obliczać z wzoru:

$$\chi = \frac{1}{\Phi + \sqrt{\Phi^2 - \bar{\lambda}^2}} \text{ lecz } \chi \le 1{,}0 \tag{42}$$

gdzie:

$$\Phi = 0{,}5\left[1 + \alpha\left(\bar{\lambda} - 0{,}2\right) + \bar{\lambda}^2\right] \tag{43}$$

przyjmując parametr imperfekcji $\alpha = 0{,}49$ (dla krzywej wyboczenia c)

W załączniku 2 podano nośności przekrojów pasów dla wybranych grubości i szerokości pasów oraz rozstawów usztywnień bocznych pasa. Założono stały przebieg siły osiowej w pasie (k_c=1,0).

4.2 Nośność środnika

Sprawdzamy nośność środnika pod działaniem siły ścinającej. Rozważamy odcinek fali o długości 2w.

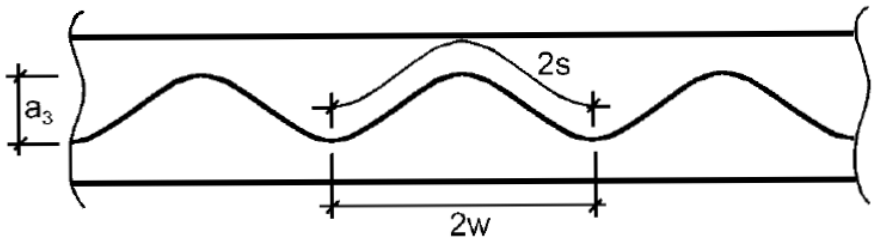

2w = 155mm

2s = 178mm

a_3 = 40mm for t_w = 2,0mm, 2,50mm

a_3 = 43mm for t_w = 3,0mm

Nośność środnika przy ścinaniu jest okreslona następująco:

$$V_{Rd} = \chi_c \frac{f_{yw}}{\gamma_{M1}\sqrt{3}} h_w t_w \tag{44}$$

gdzie:

χ_c - współczynnik redukcyjny równy mniejszej z wartości współczynników niestateczności miejscowej lokalnej i ogólnej

4.2.1 Współczynnik niestateczności ogólnej $\chi_{c,g}$

$$\chi_{c,g} = \frac{1,5}{0,5 + \overline{\lambda}_{c,g}^2} \le 1,0 \tag{45}$$

gdzie:

$$\overline{\lambda}_{c,g} = \sqrt{\frac{f_y}{\tau_{cr,g}\sqrt{3}}} \tag{46}$$

(47)

$$\tau_{cr,g} = \frac{32,4}{t_w\, h_w^2} \sqrt[4]{D_x\, D_z^3}$$

$$D_x = \frac{E\, t_w^3}{12\left(1-\nu^2\right)} \frac{w}{s} \tag{48}$$

$$D_z = \frac{E\, I_z}{w} \tag{49}$$

I_z – moment bezwładności pojedyńczej fali względem osi sfalowania przekroju

UWAGA: W tabeli 1 podano momenty bezwładności dla pojedynczej, pełnej fali sinusoidy. W obliczeniach współczynników niestateczności Eurokod przyjmuje połowę pełnej długości. Do obliczeń D_z należy przyjmowac połowę wartości podanych w tabeli 1.

4.2.2 Współczynnik niestateczności lokalnej $\chi_{c,l}$

$$\chi_{c,\ell} = \frac{1,15}{0,9+\overline{\lambda}_{c,\ell}} \le 1,0 \tag{50}$$

gdzie:

$$\overline{\lambda}_{c,\ell} = \sqrt{\frac{f_y}{\tau_{cr,\ell}\sqrt{3}}} \tag{51}$$

$$\tau_{cr,\ell} = \left(5,34 + \frac{a_3 s}{h_w t_w}\right) \frac{\pi^2 E}{12(1-\nu^2)} \left[\frac{t_w}{s}\right]^2 \tag{52}$$

gdzie:

$a_3 = 2 \times f$

Współczynnik niestateczności lokalnej wg wzoru (50) przedstawiony w normie w załączniku D może być stosowany zarówno do profili ze srodnikiem falistym jak i profili ze środnikiem w kształcie trapezu. Współczynnik ten uwzglednia fakt, że środniki trapezowe składają się z płaskich powierzchni, które znacznie łatwiej ulegają utracie stateczności ścianki. Dla środników w kształcie sinusoidy stosowanie wzoru przedstawionego w normie może prowadzić do przewymiarowania środnika. Na uniwersytecie w Cottbus zostały przeprowadzone badania oraz obliczenia wpółczynnika niestateczności lokalnej dla profilu o falistym środniku. Na podstawie tych badań zaproponowano (D. Hannebauer) wzór (53), który znacznie lepiej opisuje zachowanie się ścianki falistego środnika

pod wpływem sił tnących. Poniżej podany wzór wskazuje, że miejscowa utrata stateczności ścianki może wystąpić jedynie dla bardzo cieńkich i smukłych środników. W przeważającej liczbie pozostałych przypadków lokalna utrata stateczności środnika nie jest warunkiem decydującym dla nośności środnika.

$$\chi_{c.l} = \frac{1{,}0}{0{,}62 + \overline{\lambda}_{c,l}} \leq 1{,}0 \qquad (53)$$

W załączniku 3 podano nośności środnika wg opracowania D. Hannebauer.

4.3 Nośność środnika pod obciążeniem skupionym

Jedną z zalet kształtu środnika jest brak konieczności stosowania żeber. W takiej sytuacji pojawia się problem wytrzymałości środnika pod działaniem siły skupionej. Cała siła przenoszona jest poprzez połączenie środnika z pasem.

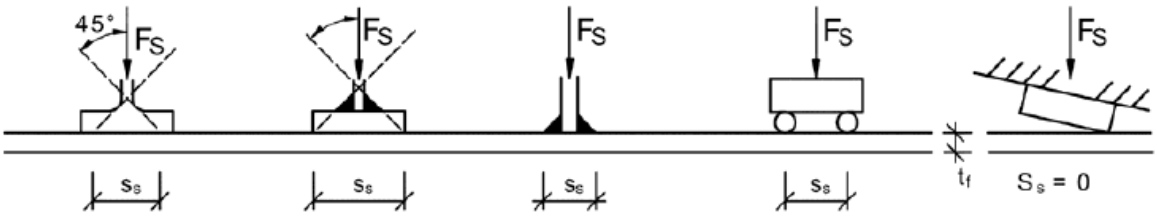

Długość części współpracującej środnika określona jest wzorem:

$$c = s_s + 5 \cdot t_f \qquad (54)$$

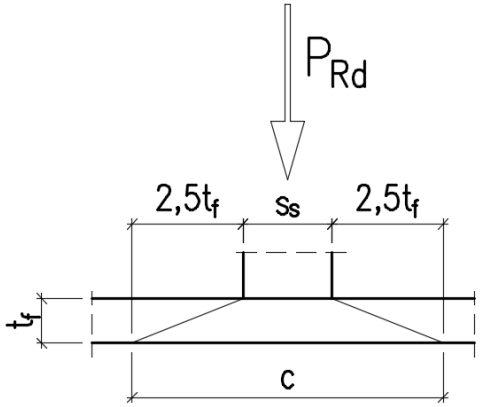

Obliczeniowa nośność środnika pod obciązeniem skupionym okreslona jest następująco:

$$F_{Rd} = t_w \cdot c \cdot f_y/\gamma_{M0} \qquad (55)$$

W załączniku 4 podano nośności środnika pod obciążeniem skupionym dla niektórych wartości szerokości działania siły skupionej. Dla innych wartości s_s należy wykonać stosowne obliczenia.

4.4 Obciążenie siłą skupioną za pośrednictwem żebra

Często w praktyce zachodzi sytuacja połaczenia profilu SIN z elementem prostopadłym, którego nie da się skonstruować na górnym pasie. Zdarza się to zwykle gdy zachodzi potrzeba maksymalnego wykorzystania dostępnej wysokości przewidzianej na konstrukcję. Wtedy dany element należy połączyć z profilem SIN z boku. Falisty kształt środnika stwarza trudności w prawidłowym rozwiązaniu geometrii połączenia. Najprostszą sytuacją jest oddzielenie żeberka od środnika i przeniesienie siły pionowych z żeberka na środnik za pomocą pasów.

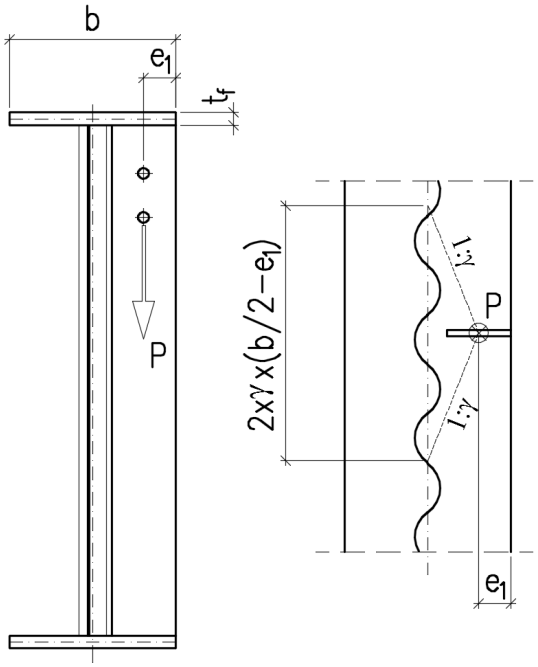

Zakładając rozchodzenie się naprężeń w stali 1:η wyznacza się współpracującą część pasa. Korzystając z wzoru na wytrzymałość w złożonym stanie naprężenia:

$$\sigma = \sqrt{\sigma_x^2 + \sigma_y^2 + \sigma_x \cdot \sigma_y + 3 \cdot \tau_z^2} \leq f_y \tag{56}$$

można wyznaczyć maksymalną wartość siły P, którą można przyłożyć do żeberka bez konieczności łączenia go ze środnikiem (siła tnąca przekazywana na środnik za pomocą pasów).

W powyższym wzorze wartości σ_y oraz τ_z pochodzą od siły P odziaływującej na współpracującą część pasa. Natomiast σ_x jest naprężeniem od sił w pasie pochodzących od suamrycznych obciązeń elementu. W obliczeniach maksymalnej siły P należy założyć stopień wykorzystania naprężeń normalnych pasa.

$$\sigma_x = \alpha \cdot f_y \tag{57}$$

$$\sigma_x = \frac{6 \cdot \eta \cdot P}{2 \cdot \gamma \cdot t_f^2} \tag{58}$$

$$\tau_z = \frac{\eta \cdot P}{2 \cdot \gamma \cdot (\frac{b}{2} - e_1) \cdot t} \tag{59}$$

gdzie:

α - ułamek wyrażający wykorzystanie naprężeń normalnych pasa

γ - kąt rozchodzenia się naprężeń w pasie wyrażony stosunkiem boków trójkąta naprężeń wg rysunku

η = 1 dla żebrka połączonego tylko z jednym (górnym lub dolnym) pasem

η = 0,5 dla żebrka połączonego z dwoma pasami o równych grubościach

W przypadku pasów o różnych grubościach rozłożenie siły P na pas górny i dolny należy wykonać wg wzoru:

$$P_i = \mathrm{P} \cdot \eta_i = \mathrm{P} \cdot \frac{t_i^3}{t_1^3 + t_2^3} \tag{60}$$

i = 1..2 – oznaczenie numeru pasa

Po wstawieniu wzorów (57) do (59) do wzoru (56) otrzymujemy równanie kwadratowe (61) ze względu na siłę P, które po rozwiązaniu da nam w wyniku maksymalną siłę P jaką można przyłożyć do żeberka bez konieczności łączenia go ze środnikiem.

$$\left[\left(\frac{6 \cdot \eta}{2 \cdot \gamma \cdot t^2}\right)^2 + 3 \cdot \left(\frac{\eta}{2 \cdot \gamma \cdot \left(\frac{b}{2} - e_1\right) \cdot t}\right)^2\right] \cdot P^2 - \frac{\alpha \cdot f_{y.} \cdot 6 \cdot \eta}{2 \cdot \gamma \cdot t^2} \cdot P - f_y^2 \cdot (1 - \alpha^2) = 0 \tag{61}$$

W przypadku różnych wymiarów pasa górnego i dolnego oraz różnych wytężeń pasów należy w równaniu (x) uwzględnić fakt, że $\sigma_{x1} \neq \sigma_{x2}$ oraz $\eta \neq 0{,}5$.

W załączniku 5 podano maksymalne wartości sił poprzecznych, przy których nie jest wymagane spawanie żeberka do środnika.

4.5 Docisk do betonu

W przypadku zastosowania detali pokazanych na rysunkach A.1 oraz A.2 należy sprawdzić warunki docisku do betonu. Należy posłużyć się modelem i wzorami pokazanymi w PN-EN-1993-1-8 p. 6.2.5.

Jeśli normowe warunki docisku bezpośrednio pod płytą podstawy (t_p) nie są spełnione należy zwiększyć zasięg strefy b_{eff} poprzez zastosowanie podkładek (t_s). W ponizszych obliczeniach przyjęto założenie, że krawędzie betonu nie ograniczają powierzchni rozdziału a więc b_2=3xb_1, d_2=3xd_1.

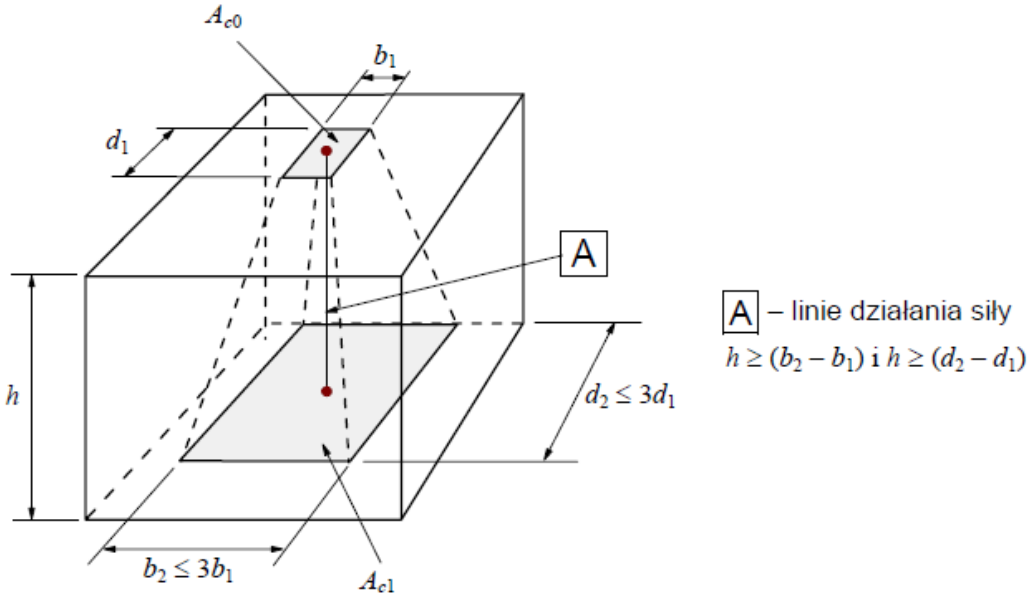

Dla takiego założenia pole A_{c1} = 9 x A_{c0} (wg PN-EN-1992-1-1)

Po podstawieniu do wzoru nośność na docisk wynosi:

$$F_{Rdu} = A_{c0} \cdot f_{cd} \cdot \sqrt{\frac{A_{c1}}{A_{c0}}} = 3 \cdot f_{cd} \cdot A_{c0} \tag{62}$$

Podstawiając powyższe wyrażenie do wzoru na wytrzymałość połączenia na docisk i zakładając β = 2/3 otrzymujemy:

$$f_{jd} = \frac{\beta \cdot F_{Rdu}}{A_{c0}} = 2 \cdot f_{cd} \tag{63}$$

Maksymalny wysięg strefy docisku jest okreslony wzorem:

$$c = t \cdot \sqrt{\frac{f_y}{3 \cdot f_{jd} \cdot \gamma_{M0}}} = t \cdot \sqrt{\frac{f_y}{6 \cdot f_{cd} \cdot \gamma_{M0}}} \tag{64}$$

W załączniku 6 podano sumaryczne grubości blachy podstawy oraz podkładek przy których spełnione są warunki docisku dla różnych klas betonu oraz gatunków stali.

4.6 Otwory w środniku

W przypadku wykonania otworów w środniku musimy sprawdzić nośność środnika na ścinanie w miejscu osłabienia. W razie konieczności wykonania otworów w środniku należy stosować następujące zasady:

- otwór może być zlokalizowany jedynie w miejscu, w którym siła ścianająca jest nie większa niż 2/3 nośności środnika na ścinanie

- otwory w belkach należy sytuować jak najbliżej środka profilu

- wielkości otworów

a. otwór mniejszy niż $h_w/10$

W tym przypadku nie trzeba stosowac żadnych dodatkowych zabezpieczeń

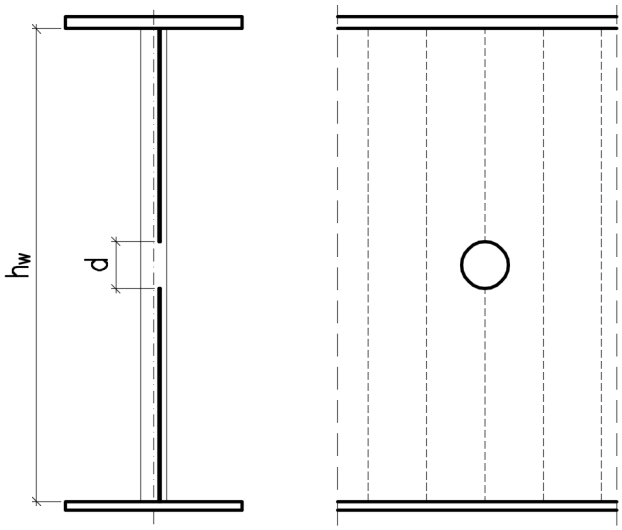

b. otwór większy niż $h_w/10$ ale mniejszy niż $h_w/3$

W miejscu otwóru należy zastoswać rurę okrągła spawając ją do środnika.

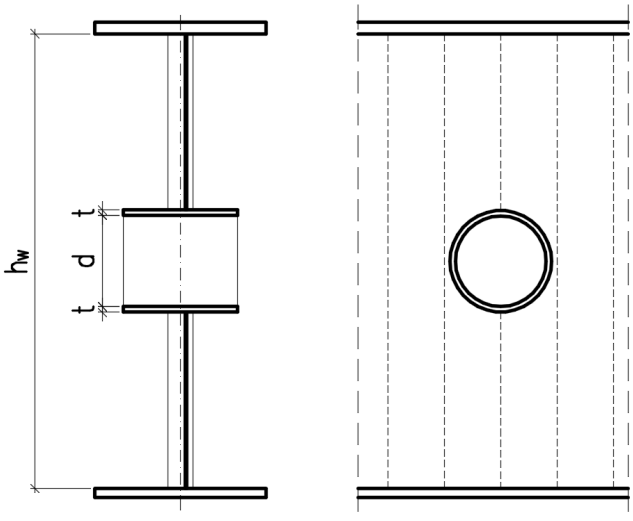

t >= 10mm

c. otwór większy niż $h_w/3$

W tym przypadku należy zastosować wymianę środnika

Jeśli nie jest możliwe spełnienie powyższych warunków należy zastosowac wymianę środnika na blachę płaską zastosowac zasady obliczania takie jak w przypadku dźwigarów Vierendela.

4.7 Przemieszczenia

Do obliczeń przemieszczeń konstrukcji należy przyjmować wartości charakterystyczne obciążeń.

W przypadku tradycyjnej metody obliczeń wpływ sił poprzecznych uwzględnić można stosując wzór Maxwella-Mohra w następującej postaci:

$$f_{MV} = \sum_{1}^{u}\left(\int_{S} \frac{M \cdot M_1}{E \cdot I_y} \cdot dS + \int_{S} k \cdot \frac{Q \cdot Q_1}{G \cdot A} \cdot dS \right) \tag{65}$$

gdzie: M1, Q1 – momenty zginające i siły poprzeczne wywołane przyłożeniem siły jednostkowej w miejscu obliczania ugięcia $f_{MQ,\,k}$ - współczynnik ścinania przekroju wg klasycznej teorii sprężystości, z poprawką na podatność postaciową środnik

$$k = \frac{A}{A_w \cdot \frac{m}{s}} \tag{66}$$

gdzie: A – powierzchnia całkowita przekroju (pasy + środnik), Aw – powierzchnia przekroju środnika, m, s – odpowiednio, długość rzutu fali i długość rozwinięcia fali m/s = 155/178 = 0,87.

W tab.5 przedstawiono wzory na strzałki ugięć dla belek o prostych schematach obciążeniowych uwzględniające wpływ momentów i sił poprzecznych.

Zastosowanie zwiększonej wartości współczynnika ścinania k wyklucza jednoczesne stosowanie zredukowanej wartości współczynnika sprężystości poprzecznej G_{red}. Należy również zwrócić uwagę na to, jak w programie zdefiniowano współczynnik ścinania (niektóre z programów wymagają bowiem wprowadzenia współczynnika ścinania równego 1/k).

Obliczając deformacje profili ze środnikiem falistym za pomocą najbardziej rozpowrzechnionych programów komputerowych trzeba najczęściej pamiętać o zastosowaniu materiału ze zmodyfikowaną wartością współczynnika G_{red} oraz o uwzględnieniu deformacji od ścinania w charakterystykach elementu.

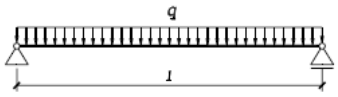	$f_{MV} = \frac{5}{384} \cdot \frac{q \cdot l^4}{E \cdot I_y} \cdot \left(1 + 9{,}6 \cdot k \cdot \frac{E \cdot I_y}{G \cdot A \cdot l^2}\right)$
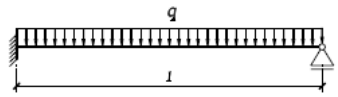	$f_{MV} = \frac{1}{18} \cdot \frac{q \cdot l^4}{E \cdot I_y} \cdot \left(1 + 22{,}6 \cdot k \cdot \frac{E \cdot I_y}{G \cdot A \cdot l^2}\right)$
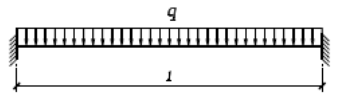	$f_{MV} = \frac{1}{384} \cdot \frac{q \cdot l^4}{E \cdot I_y} \cdot \left(1 + 48 \cdot k \cdot \frac{E \cdot I_y}{G \cdot A \cdot l^2}\right)$
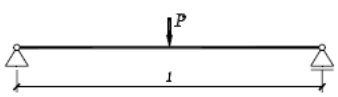	$f_{MV} = \frac{1}{48} \cdot \frac{P \cdot l^3}{E \cdot I_y} \cdot \left(1 + 12 \cdot k \cdot \frac{E \cdot I_y}{G \cdot A \cdot l^2}\right)$
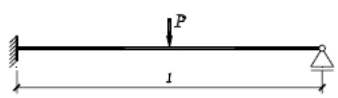	$f_{MV} = \frac{2}{215} \cdot \frac{P \cdot l^3}{E \cdot I_y} \cdot \left(1 + 27{,}7 \cdot k \cdot \frac{E \cdot I_y}{G \cdot A \cdot l^2}\right)$
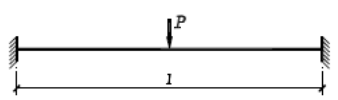	$f_{MV} = \frac{1}{192} \cdot \frac{P \cdot l^3}{E \cdot I_y} \cdot \left(1 + 48 \cdot k \cdot \frac{E \cdot I_y}{G \cdot A \cdot l^2}\right)$
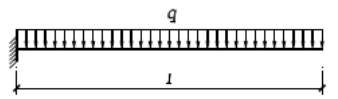	$f_{MV} = \frac{1}{8} \cdot \frac{q \cdot l^4}{E \cdot I_y} \cdot \left(1 + 4 \cdot k \cdot \frac{E \cdot I_y}{G \cdot A \cdot l^2}\right)$
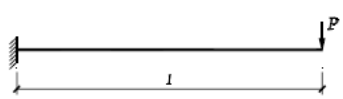	$f_{MV} = \frac{1}{3} \cdot \frac{P \cdot l^3}{E \cdot I_y} \cdot \left(1 + 3 \cdot k \cdot \frac{E \cdot I_y}{G \cdot A \cdot l^2}\right)$

Tab. 5. Strzałki ugięć belek podatnych na ścinanie

5 PRZYKŁAD LICZBOWY

- rozpiętość belki L = 7,5 m,
- wartość charakterystyczna obciążenia stałego (z ciężarem wł.) g = 10,0 kN/m,
- wartość charakterystyczna obciążenia użytkowego p = 16,0 kN/m,
- stal pasów – f_{yf} = 355 MPa,
- stal środnika – f_{yw} = 235 MPa,
- współczynnik sprężystości podłużnej E = 205 GPa,
- współczynnik sprężystości poprzecznej G_{red} = 69 GPa

Przyjęto profil WTB 500 – 200x12

Wartości obliczeniowe obciążeń

g_d = 1,35 x 10 = 13,5 kN/m
p_d = 1,50 x 16 = 24,0 kN/m

Obliczeniowe wartości sił wewnętrznych

$$M_d = \frac{(g_d + p_d) \cdot L^2}{8} = \frac{(13{,}5 + 24{,}0) \cdot 7{,}5^2}{8} = 263{,}7kNm$$

$$V_d = \frac{(g_d + p_d) \cdot \mathrm{L}}{2} = \frac{(13{,}5 + 24{,}0) \cdot 7{,}5}{2} = 140{,}6kN$$

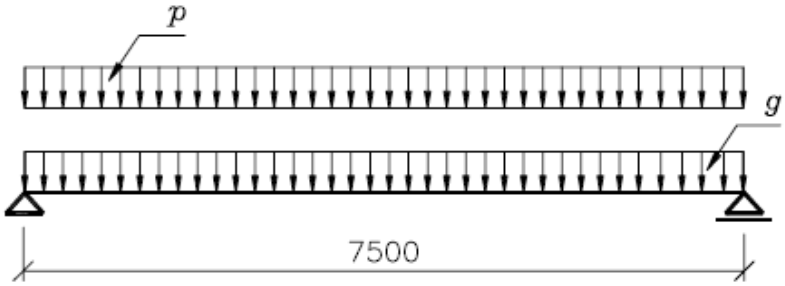

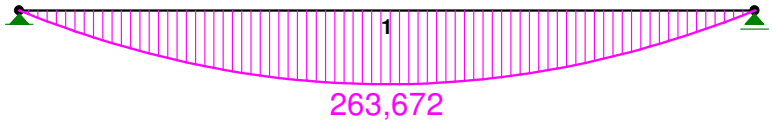

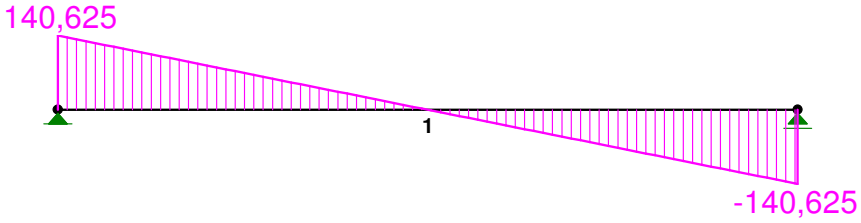

Wyznaczenie sił w pasach

- pas górny

$$N_g = \frac{M_d}{\frac{t_g}{2} + h_w + \frac{t_d}{2}} + \frac{N_d}{2} = \frac{263{,}7 \cdot 10^3}{\frac{12}{2} + 500 + \frac{12}{2}} + \frac{0}{2} = 515{,}0 \text{ kN (ściskanie)}$$

- pas dolny

$$N_d = \frac{-M_d}{\frac{t_{fg}}{2} + h_w + \frac{t_{fd}}{2}} + \frac{N_d}{2} = \frac{-263{,}7 \cdot 10^3}{\frac{12}{2} + 500 + \frac{12}{2}} + \frac{0}{2} = -515{,}0 \text{ kN (rozciąganie)}$$

Nośność pasa rozciąganego

$$N_{t.Rd} = \frac{A \cdot f_{yf}}{\gamma_{M0}} = \frac{12 \cdot 200 \cdot 355 \cdot 10^{-3}}{1{,}0} = 852{,}0\ \text{kN}$$

$$\frac{N_d}{N_{t.Rd}} = \frac{515}{852} = 0{,}61 \leq 1{,}0$$

Nośność pasa ściskanego

- sprawdzenie warunku lokalnej utraty stateczności pasa ściskanego

$$\varepsilon = \sqrt{\frac{235}{\mathrm{f_y}\ [N/mm^2]}} = \sqrt{\frac{235}{355}} = 0{,}814$$

$\mathrm{t} = 12\mathrm{mm}$

$$b = 200mm\ \leq 2\ \cdot t \cdot \varepsilon \cdot 13{,}9 + 22 = 2 \cdot 12 \cdot 0{,}814 \cdot 13{,}9 + 22 = 293\mathrm{mm}$$

Warunek spełniony. Lokalna utrata staeczności pasa nie wystąpi. Do dalszych obliczeń przyjęto całe pole przekroju pasa

- Nośność przekroju

$$N_{c.Rd} = \frac{A \cdot f_{yf}}{\gamma_{M0}} = \frac{12 \cdot 200 \cdot 355}{1{,}0} = 852{,}0\ \text{kN}$$

- Uwzględnienie wyboczenia w płaszczyźnie pasa

Przyjęto odległość pomiędzy punktowymi usztywnieniami bocznymi pasa L_c = 1,875m. Górny pas podzielony został na 4 odcinki. W przykładzie wykres momentów zginających jest symetryczny względem środka belki. Wystarczy rozważyć nośność pasa w drugim przedziale.

Dla takiego przebiegu siły osiowej współczynnik k_c wynosi:

ψ = 197,754 / 263,672 = 0,75

$$k_c = \frac{1}{1{,}33 - 0{,}33 \cdot \Psi} = \frac{1}{1{,}33 - 0{,}33 \cdot 0{,}75} = 0{,}92$$

Długość wyboczenowa przyjęta do obliczeń:

L_{cr} = 0,92 x 1,875 = 1,725m

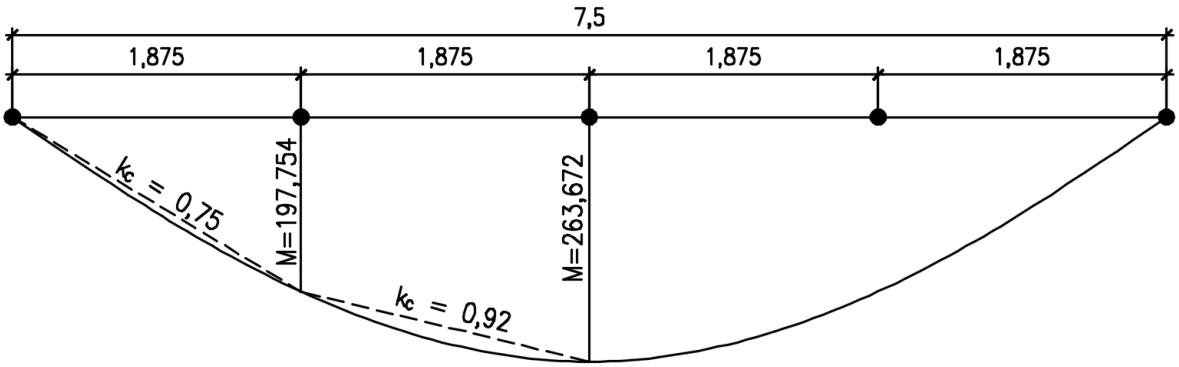

ε = 0,814

$$\lambda_1 = 93{,}9 \cdot \varepsilon = 93{,}9 \cdot 0{,}814 = 76{,}4$$

$$I_z = \frac{t_f.b^3}{12} = \frac{1{,}2 \cdot 20{,}0^3}{12} = 800\ cm^4$$

$$A = t_f.b = 1{,}2 \cdot 20{,}0 = 24{,}0\ cm^2$$

$$i_z = \sqrt{\frac{I_z}{A}} = \sqrt{\frac{800}{24}} = 5{,}77\ \text{cm}$$

$$\bar{\lambda} = \frac{L_{cr}}{i_z} \cdot \frac{1}{\lambda_1} = \frac{1{,}725 \cdot 10^2}{5{,}77} \cdot \frac{1}{76{,}4} = 0{,}391$$

α = 0,49 – dla krzywej wyboczenia c

$$\Phi = 0{,}5 \cdot [1 + \alpha \cdot (\bar{\lambda} - 0{,}2) + \bar{\lambda}^2] = 0{,}5 \cdot [1 + 0{,}49 \cdot (0{,}391 - 0{,}2) + 0{,}391^2] = 0{,}62$$

$$\chi = \frac{1}{\Phi + \sqrt{\Phi^2 - \bar{\lambda}^2}} = \frac{1}{0{,}62 + \sqrt{0{,}62^2 - 0{,}391^2}} = 0{,}908$$

Nośność pasa ściskanego ulegającego wyboczeniu

$$N_{b.Rd} = \frac{\chi \cdot A \cdot f_{yf}}{\gamma_{M1}} = \frac{0{,}908 \cdot 12 \cdot 200 \cdot 355 \cdot 10^{-3}}{1{,}0} = 773{,}6\ \text{kN}$$

$$\frac{N_g}{N_{b.Rd}} = \frac{515}{773{,}6} = 0{,}67 \leq 1{,}0 - \text{warunek spełniony}$$

Nośność środnika

- Współczynnik niestateczności lokalnej $\chi_{c,l}$

$$\tau_{cr.l} = \left(5{,}34 + \frac{a_3 \cdot s}{h_w \cdot t_w}\right) \cdot \frac{\pi^2 \cdot E}{12 \cdot (1 - \nu^2)} \cdot \left[\frac{t_w}{s}\right]^2$$

$$= \left(5{,}34 + \frac{40 \cdot \frac{178}{2}}{2{,}5 \cdot 500}\right) \cdot \frac{\pi^2 \cdot 210 \cdot 10^3}{12 \cdot (1 - 0{,}3^2)} \cdot \left[\frac{2{,}5}{\frac{178}{2}}\right]^2 = 1226{,}2 \text{ MPa}$$

$$\bar{\lambda}_{c,l} = \sqrt{\frac{f_{yw}}{\tau_{cr.l} \cdot \sqrt{3}}} = \sqrt{\frac{235}{1226{,}3 \cdot \sqrt{3}}} = 0{,}333$$

$$\chi_{c,l} = \frac{1{,}00}{0{,}62 + \bar{\lambda}_{c,l}} = \frac{1{,}00}{0{,}62 + 0{,}333} = 1{,}04 > 1{,}0$$

przyjęto $\chi_{c,l} = 1{,}0$

- Współczynnik niestateczności ogólnej $\chi_{c,g}$

$$\mathrm{D}_x = \frac{E \cdot t_w^3}{12 \cdot (1 - \nu^2)} \cdot \frac{w}{s} = \frac{210 \cdot 10^9 \cdot 2{,}5^3 \cdot 10^{-9}}{12 \cdot (1 - 0{,}3^2)} \cdot \frac{\frac{155}{2}}{\frac{178}{2}} = 261{,}7\text{Nm}$$

$$\mathrm{D}_z = \frac{E \cdot I_z}{w} = \frac{210 \cdot 10^9 \cdot 3{,}885 \cdot 10^{-8}}{\frac{155}{2} \cdot 10^{-3}} = 105271\text{Nm}$$

$$\tau_{cr.g} = \frac{32{,}4}{t_w \cdot h_w^2} \cdot \sqrt[4]{D_x \cdot D_z^3} = \frac{32{,}4}{2{,}5 \cdot 10^{-3} \cdot 500^2 \cdot 10^{-6}} \cdot \sqrt[4]{261{,}7 \cdot 105271^3}$$

$$= 1218{,}6\text{MPa}$$

$$\bar{\lambda}_{c,g} = \sqrt{\frac{f_{yw}}{\tau_{cr.g} \cdot \sqrt{3}}} = \sqrt{\frac{235}{1218{,}6 \cdot \sqrt{3}}} = 0{,}337$$

$$\chi_{c,g} = \frac{1{,}5}{0{,}5 + \bar{\lambda}_{c,g}{}^2} = \frac{1{,}5}{0{,}5 + 0{,}337^2} = 2{,}445 > 1{,}0$$

przyjęto $\chi_{c,g} = 1{,}0$

- Do obliczeń przyjeto niższą wartość współczynnika niestateczności środnika

$$\chi_c = \min(\chi_{c,g}, \chi_{c,l}) = 1{,}0$$

- Nośność środnika

$$\mathrm{V}_{Rd} = \chi_c \cdot \frac{f_{yw}}{\gamma_{M1} \cdot \sqrt{3}} \cdot h_w \cdot t_w = 1{,}0 \cdot \frac{235 \cdot 10^{-3}}{1{,}0 \cdot \sqrt{3}} \cdot 2{,}5 \cdot 500 = 169{,}6\mathrm{kN}$$

$$\frac{V_d}{V_{Rd}} = \frac{140{,}6}{169{,}6} = 0{,}83 \leq 1{,}0 - \text{warunek spełniony}$$

Sprawdzenie warunku ugięć

$$\begin{aligned} \mathrm{w}_{max} = \mathrm{w}_M + \mathrm{w}_V &= \frac{5}{384} \cdot \frac{(g+p) \cdot l^4}{E \cdot I_y} + \frac{(g+p) \cdot l^2}{8 \cdot G_{red} \cdot A_w} \\ &= \frac{5}{384} \cdot \frac{(10+16) \cdot 7{,}5^4}{205 \cdot 31457 \cdot 10^{-2}} + \frac{(10+16) \cdot 7{,}5^2}{8 \cdot 69{,}7 \cdot 500 \cdot 2{,}5} = 0{,}0166 + 0{,}0021 \\ &= 0{,}0187m \end{aligned}$$

$$0{,}0187m \leq \frac{\mathrm{l}}{350} = \frac{7{,}5}{350} = 0{,}0214\mathrm{m} - \text{warunek spełniony}$$

ROZDZIAŁ 2

Tabele

Załącznik 1. Parametry geometryczne przekrojów

* - możliwe tylko dla stali S235

WT_ 333	h_w = 333 mm	**WTA**	t_w = 2,0 mm	$h_w \times t_w$ = 6,66 cm^2
		WTB	t_w = 2,5 mm	$h_w \times t_w$ = 8,33 cm^2
		WTC	t_w = 3,0 mm	$h_w \times t_w$ = 9,99 cm^2

	$b_f \times t_f$	H	masa			pow.	charakterystyka przekroju						
			WTA	WTB	WTC	mal.	2 x A_f	I_y	i_y	I_z	i_z	I_t	I_w
	mm	mm	[kg/m]			m^2/m	cm^2	cm^4	cm	cm^4	cm	cm^4	cm^6
	160 x 8	349	26,4	27,9	29,5	1,47	25,6	7 443	17,05	546	4,62	5,6	158 762
	170 x 8	349	27,6	29,2	30,8	1,51	27,2	7 909	17,05	655	4,91	6,0	190 430
	180 x 8	349	28,9	30,5	32,0	1,55	28,8	8 374	17,05	778	5,20	6,3	226 050
	190 x 8	349	30,1	31,7	33,3	1,59	30,4	8 839	17,05	915	5,48	6,7	265 857
	200 x 8	349	31,4	33,0	34,5	1,63	32,0	9 304	17,05	1 067	5,77	7,0	310 083
*	210 x 8	349	32,6	34,2	35,8	1,67	33,6	9 769	17,05	1 235	6,06	7,3	358 959
*	220 x 8	349	33,9	35,5	37,0	1,71	35,2	10 235	17,05	1 420	6,35	7,7	412 720
	160 x 10	353	31,4	33,0	34,5	1,48	32,0	9 415	17,15	683	4,62	10,8	200 788
	170 x 10	353	33,0	34,5	36,1	1,52	34,0	10 003	17,15	819	4,91	11,5	240 837
	180 x 10	353	34,5	36,1	37,7	1,56	36,0	10 591	17,15	972	5,20	12,2	285 887
	190 x 10	353	36,1	37,7	39,2	1,60	38,0	11 180	17,15	1 143	5,48	12,8	336 231
	200 x 10	353	37,7	39,2	40,8	1,64	40,0	11 768	17,15	1 333	5,77	13,5	392 163
	210 x 10	353	39,2	40,8	42,4	1,68	42,0	12 357	17,15	1 544	6,06	14,2	453 978
	220 x 10	353	40,8	42,4	44,0	1,72	44,0	12 945	17,15	1 775	6,35	14,8	521 969
	160 x 12	357	36,4	38,0	39,6	1,49	38,4	11 431	17,25	819	4,62	18,6	243 763
	170 x 12	357	38,3	39,9	41,4	1,53	40,8	12 145	17,25	983	4,91	19,8	292 385
	180 x 12	357	40,2	41,8	43,3	1,57	43,2	12 860	17,25	1 166	5,20	20,9	347 077
	190 x 12	357	42,1	43,6	45,2	1,61	45,6	13 574	17,25	1 372	5,48	22,1	408 196
	200 x 12	357	44,0	45,5	47,1	1,65	48,0	14 289	17,25	1 600	5,77	23,2	476 100
	210 x 12	357	45,8	47,4	49,0	1,69	50,4	15 003	17,25	1 852	6,06	24,4	551 145
	220 x 12	357	47,7	49,3	50,9	1,73	52,8	15 718	17,25	2 130	6,35	25,5	633 689
	200 x 15	363	53,4	54,9	56,5	1,66	60,0	18 177	17,41	2 000	5,77	45,2	605 520
	210 x 15	363	55,7	57,3	58,9	1,70	63,0	19 086	17,41	2 315	6,06	47,4	700 965
	220 x 15	363	58,1	59,7	61,2	1,74	66,0	19 995	17,41	2 662	6,35	49,7	805 947

Załącznik 1. Parametry geometryczne przekrojów

* - możliwe tylko dla stali S235

WT_ 500

h_w = 500 mm

WTA	t_w = 2,0 mm	$h_w \times t_w$ = 10,00 cm^2
WTB	t_w = 2,5 mm	$h_w \times t_w$ = 12,50 cm^2
WTC	t_w = 3,0 mm	$h_w \times t_w$ = 15,00 cm^2

	$b_f \times t_f$	H	masa			pow.	charakterystyka przekroju						
			WTA	WTB	WTC	mal.	2 x A_f	I_y	i_y	I_z	i_z	I_t	I_w
	mm	mm	[kg/m]			m^2/m	cm^2	cm^4	cm	cm^4	cm	cm^4	cm^6
	160 x 8	516	29,5	31,9	34,2	1,87	25,6	16 517	25,40	546	4,62	5,7	352 343
	170 x 8	516	30,8	33,1	35,5	1,91	27,2	17 550	25,40	655	4,91	6,1	422 623
	180 x 8	516	32,0	34,4	36,7	1,95	28,8	18 582	25,40	778	5,20	6,4	501 676
	190 x 8	516	33,3	35,6	38,0	1,99	30,4	19 614	25,40	915	5,48	6,7	590 020
	200 x 8	516	34,5	36,9	39,3	2,03	32,0	20 647	25,40	1 067	5,77	7,1	688 171
*	210 x 8	516	35,8	38,2	40,5	2,07	33,6	21 679	25,40	1 235	6,06	7,4	796 644
*	220 x 8	516	37,1	39,4	41,8	2,11	35,2	22 712	25,40	1 420	6,35	7,8	915 955
	160 x 10	520	34,5	36,9	39,3	1,88	32,0	20 811	25,50	683	4,62	10,9	443 904
	170 x 10	520	36,1	38,5	40,8	1,92	34,0	22 111	25,50	819	4,91	11,6	532 446
	180 x 10	520	37,7	40,0	42,4	1,96	36,0	23 412	25,50	972	5,20	12,3	632 043
	190 x 10	520	39,3	41,6	44,0	2,00	38,0	24 713	25,50	1 143	5,48	12,9	743 344
	200 x 10	520	40,8	43,2	45,5	2,04	40,0	26 013	25,50	1 333	5,77	13,6	867 000
	210 x 10	520	42,4	44,7	47,1	2,08	42,0	27 314	25,50	1 544	6,06	14,3	1 003 661
	220 x 10	520	44,0	46,3	48,7	2,12	44,0	28 615	25,50	1 775	6,35	14,9	1 153 977
	230 x 10	520	45,5	47,9	50,2	2,16	46,0	29 915	25,50	2 028	6,64	15,6	1 318 599
	240 x 10	520	47,1	49,5	51,8	2,20	48,0	31 216	25,50	2 304	6,93	16,3	1 498 176
*	250 x 10	520	48,7	51,0	53,4	2,24	50,0	32 517	25,50	2 604	7,22	16,9	1 693 359
	160 x 12	524	39,6	41,9	44,3	1,89	38,4	25 170	25,60	819	4,62	18,7	536 871
	170 x 12	524	41,4	43,8	46,2	1,93	40,8	26 744	25,60	983	4,91	19,8	643 957
	180 x 12	524	43,3	45,7	48,0	1,97	43,2	28 317	25,60	1 166	5,20	21,0	764 412
	190 x 12	524	45,2	47,6	49,9	2,01	45,6	29 890	25,60	1 372	5,48	22,1	899 023
	200 x 12	524	47,1	49,5	51,8	2,05	48,0	31 463	25,60	1 600	5,77	23,3	1 048 576
	210 x 12	524	49,0	51,3	53,7	2,09	50,4	33 036	25,60	1 852	6,06	24,5	1 213 858
	220 x 12	524	50,9	53,2	55,6	2,13	52,8	34 609	25,60	2 130	6,35	25,6	1 395 655
	230 x 12	524	52,8	55,1	57,5	2,17	55,2	36 182	25,60	2 433	6,64	26,8	1 594 753
	240 x 12	524	54,6	57,0	59,3	2,21	57,6	37 756	25,60	2 765	6,93	27,9	1 811 939
	250 x 12	524	56,5	58,9	61,2	2,25	60,0	39 329	25,60	3 125	7,22	29,1	2 048 000
	260 x 12	524	58,4	60,8	63,1	2,29	62,4	40 902	25,60	3 515	7,51	30,2	2 303 721
	280 x 12	524	62,2	64,5	66,9	2,37	67,2	44 048	25,60	4 390	8,08	32,5	2 877 293
*	300 x 12	524	65,9	68,3	70,7	2,45	72,0	47 195	25,60	5 400	8,66	34,8	3 538 944
	200 x 15	530	56,5	58,9	61,2	2,06	60,0	39 795	25,75	2 000	5,77	45,3	1 326 125
	210 x 15	530	58,9	61,2	63,6	2,10	63,0	41 785	25,75	2 315	6,06	47,5	1 535 155
	220 x 15	530	61,2	63,6	65,9	2,14	66,0	43 775	25,75	2 662	6,35	49,8	1 765 072
	230 x 15	530	63,6	65,9	68,3	2,18	69,0	45 764	25,75	3 042	6,64	52,0	2 016 870
	240 x 15	530	65,9	68,3	70,7	2,22	72,0	47 754	25,75	3 456	6,93	54,3	2 291 544
	250 x 15	530	68,3	70,7	73,0	2,26	75,0	49 744	25,75	3 906	7,22	56,5	2 590 088
	260 x 15	530	70,7	73,0		2,30	78,0	51 734	25,75	4 394	7,51	58,8	2 913 497
	280 x 15	530	75,4	77,7	80,1	2,38	84,0	55 713	25,75	5 488	8,08	63,3	3 638 887
	300 x 15	530	80,1	82,4	84,8	2,46	90,0	59 693	25,75	6 750	8,66	67,8	4 475 672
	220 x 20	540	78,5	80,9	83,2	2,16	88,0	59 517	26,01	3 549	6,35	117,6	2 399 349
	230 x 20	540	81,6	84,0	86,4	2,20	92,0	62 223	26,01	4 056	6,64	122,9	2 741 631
	240 x 20	540	84,8	87,1	89,5	2,24	96,0	64 928	26,01	4 608	6,93	128,3	3 115 008
	250 x 20	540	87,9	90,3	92,6	2,28	100,0	67 633	26,01	5 208	7,22	133,6	3 520 833
	260 x 20	540	91,1	93,4	95,8	2,32	104,0	70 339	26,01	5 859	7,51	138,9	3 960 459
	280 x 20	540	97,3	99,7	102,1	2,40	112,0	75 749	26,01	7 317	8,08	149,6	4 946 517
	300 x 20	540	103,6	106,0	108,3	2,48	120,0	81 160	26,01	9 000	8,66	160,3	6 084 000
	250 x 25	550	107,5	109,9	112,3	2,30	125,0	86 198	26,26	6 510	7,22	260,7	4 486 084
	260 x 25	550	111,5	113,8	116,2	2,34	130,0	89 646	26,26	7 323	7,51	271,1	5 046 234
	280 x 25	550	119,3	121,7	124,0	2,42	140,0	96 542	26,26	9 147	8,08	291,9	6 302 625
	300 x 25	550	127,2	129,5	131,9	2,50	150,0	103 438	26,26	11 250	8,66	312,8	7 751 953
	300 x 30	560	150,7	153,1	155,4	2,52	180,0	126 540	26,51	13 500	8,66	540,3	9 480 375

Załącznik 1. Parametry geometryczne przekrojów

* - możliwe tylko dla stali S235

WT_ 625	h_w = 625 mm	WTA	t_w = 2,0 mm	$h_w \times t_w$ = 12,50 cm^2
		WTB	t_w = 2,5 mm	$h_w \times t_w$ = 15,63 cm^2
		WTC	t_w = 3,0 mm	$h_w \times t_w$ = 18,75 cm^2

	$b_f \times t_f$	H	masa			pow.	charakterystyka przekroju						
			WTA	WTB	WTC	mal.	2 x A_f	I_y	i_y	I_z	i_z	I_t	I_w
	mm	mm	[kg/m]			m^2/m	cm^2	cm^4	cm	cm^4	cm	cm^4	cm^6
	160 x 8	641	31,9	34,8	37,8	2,17	25,6	25 645	31,65	546	4,62	5,8	547 074
	170 x 8	641	33,1	36,1	39,0	2,21	27,2	27 248	31,65	655	4,91	6,1	656 195
	180 x 8	641	34,4	37,3	40,3	2,25	28,8	28 851	31,65	778	5,20	6,5	778 939
	190 x 8	641	35,6	38,6	41,5	2,29	30,4	30 454	31,65	915	5,48	6,8	916 109
	200 x 8	641	36,9	39,8	42,8	2,33	32,0	32 057	31,65	1 067	5,77	7,2	1 068 504
*	210 x 8	641	38,2	41,1	44,0	2,37	33,6	33 660	31,65	1 235	6,06	7,5	1 236 927
*	220 x 8	641	39,4	42,4	45,3	2,41	35,2	35 263	31,65	1 420	6,35	7,8	1 422 179
	160 x 10	645	36,9	39,8	42,8	2,18	32,0	32 261	31,75	683	4,62	11,0	688 171
	170 x 10	645	38,5	41,4	44,4	2,22	34,0	34 277	31,75	819	4,91	11,7	825 435
	180 x 10	645	40,0	43,0	45,9	2,26	36,0	36 293	31,75	972	5,20	12,3	979 837
	190 x 10	645	41,6	44,5	47,5	2,30	38,0	38 310	31,75	1 143	5,48	13,0	1 152 383
	200 x 10	645	43,2	46,1	49,1	2,34	40,0	40 326	31,75	1 333	5,77	13,7	1 344 083
	210 x 10	645	44,7	47,7	50,6	2,38	42,0	42 342	31,75	1 544	6,06	14,3	1 555 944
	220 x 10	645	46,3	49,3	52,2	2,42	44,0	44 358	31,75	1 775	6,35	15,0	1 788 975
	240 x 10	645	49,5	52,4	55,3	2,50	48,0	48 391	31,75	2 304	6,93	16,3	2 322 576
*	250 x 10	645	51,0	54,0	56,9	2,54	50,0	50 407	31,75	2 604	7,22	17,0	2 625 163
	160 x 12	649	41,9	44,9	47,8	2,19	38,4	38 958	31,85	819	4,62	18,8	831 015
	170 x 12	649	43,8	46,7	49,7	2,23	40,8	41 393	31,85	983	4,91	19,9	996 772
	180 x 12	649	45,7	48,6	51,6	2,27	43,2	43 828	31,85	1 166	5,20	21,1	1 183 222
	190 x 12	649	47,6	50,5	53,5	2,31	45,6	46 263	31,85	1 372	5,48	22,2	1 391 585
	200 x 12	649	49,5	52,4	55,3	2,35	48,0	48 698	31,85	1 600	5,77	23,4	1 623 076
	210 x 12	649	51,3	54,3	57,2	2,39	50,4	51 133	31,85	1 852	6,06	24,5	1 878 913
	220 x 12	649	53,2	56,2	59,1	2,43	52,8	53 568	31,85	2 130	6,35	25,7	2 160 314
	240 x 12	649	57,0	59,9	62,9	2,51	57,6	58 438	31,85	2 765	6,93	28,0	2 804 675
	250 x 12	649	58,9	61,8	64,8	2,55	60,0	60 873	31,85	3 125	7,22	29,1	3 170 070
	260 x 12	649	60,8	63,7	66,6	2,59	62,4	63 307	31,85	3 515	7,51	30,3	3 565 898
	280 x 12	649	64,5	67,5	70,4	2,67	67,2	68 177	31,85	4 390	8,08	32,6	4 453 721
*	300 x 12	649	68,3	71,2	74,2	2,75	72,0	73 047	31,85	5 400	8,66	34,9	5 477 882
	200 x 15	655	58,9	61,8	64,8	2,36	60,0	61 451	32,00	2 000	5,77	45,3	2 048 000
	210 x 15	655	61,2	64,2	67,1	2,40	63,0	64 524	32,00	2 315	6,06	47,6	2 370 816
	220 x 15	655	63,6	66,5	69,5	2,44	66,0	67 596	32,00	2 662	6,35	49,8	2 725 888
	240 x 15	655	68,3	71,2	74,2	2,52	72,0	73 742	32,00	3 456	6,93	54,3	3 538 944
	250 x 15	655	70,7	73,6	76,5	2,56	75,0	76 814	32,00	3 906	7,22	56,6	4 000 000
	260 x 15	655	73,0	75,9	78,9	2,60	78,0	79 887	32,00	4 394	7,51	58,8	4 499 456
	280 x 15	655	77,7	80,7	83,6	2,68	84,0	86 032	32,00	5 488	8,08	63,3	5 619 712
	300 x 15	655	82,4	85,4	88,3	2,76	90,0	92 177	32,00	6 750	8,66	67,8	6 912 000
	325 x 15	655	88,3	91,3		2,86	97,5	99 858	32,00	8 582	9,38	73,5	8 788 000
	220 x 20	665	80,9	83,8	86,7	2,46	88,0	91 555	32,26	3 549	6,35	117,7	3 691 529
	240 x 20	665	87,1	90,1	93,0	2,54	96,0	99 878	32,26	4 608	6,93	128,3	4 792 608
	250 x 20	665	90,3	93,2	96,2	2,58	100,0	104 040	32,26	5 208	7,22	133,7	5 416 992
	260 x 20	665	93,4	96,4	99,3	2,62	104,0	108 201	32,26	5 859	7,51	139,0	6 093 380
	280 x 20	665	99,7	102,6	105,6	2,70	112,0	116 524	32,26	7 317	8,08	149,7	7 610 484
	300 x 20	665	106,0	108,9	111,9	2,78	120,0	124 848	32,26	9 000	8,66	160,3	9 360 563
	325 x 20	665	113,8	116,8	119,7	2,88	130,0	135 251	32,26	11 443	9,38	173,7	11 901 132
	250 x 25	675	109,9	112,8	115,8	2,60	125,0	132 096	32,51	6 510	7,22	260,7	6 876 628
	260 x 25	675	113,8	116,8	119,7	2,64	130,0	137 380	32,51	7 323	7,51	271,2	7 735 271
	280 x 25	675	121,7	124,6	127,6	2,72	140,0	147 948	32,51	9 147	8,08	292,0	9 661 167
	300 x 25	675	129,5	132,5	135,4	2,80	150,0	158 516	32,51	11 250	8,66	312,8	11 882 813
	325 x 25	675	139,3	142,3	145,2	2,90	162,5	171 725	32,51	14 303	9,38	338,9	15 107 951
	300 x 30	685	153,1	156,0	159,0	2,82	180,0	193 196	32,76	13 500	8,66	540,3	14 479 594
	325 x 30	685	164,9	167,8	170,7	2,92	195,0	209 296	32,76	17 164	9,38	585,3	18 409 530

Załącznik 1. Parametry geometryczne przekrojów

* - możliwe tylko dla stali S235

WT_ 750

h_w = 750 mm

WTA	t_w = 2,0 mm	$h_w \times t_w$ = 15,00 cm^2
WTB	t_w = 2,5 mm	$h_w \times t_w$ = 18,75 cm^2
WTC	t_w = 3,0 mm	$h_w \times t_w$ = 22,50 cm^2

	$b_f \times t_f$	H	masa			pow.	charakterystyka przekroju						
			WTA	WTB	WTC	mal.	2 x A_f	I_y	i_y	I_z	i_z	I_t	I_w
	mm	mm	[kg/m]			m^2/m	cm^2	cm^4	cm	cm^4	cm	cm^4	cm^6
	160 x 8	766	34,2	37,8	41,3	2,47	25,6	36 773	37,90	546	4,62	5,9	784 471
	180 x 8	766	36,7	40,3	43,8	2,55	28,8	41 370	37,90	778	5,20	6,5	1 116 952
	200 x 8	766	39,3	42,8	46,3	2,63	32,0	45 967	37,90	1 067	5,77	7,2	1 532 171
*	220 x 8	766	41,8	45,3	48,8	2,71	35,2	50 564	37,90	1 420	6,35	7,9	2 039 319
	160 x 10	770	39,3	42,8	46,3	2,48	32,0	46 211	38,00	683	4,62	11,1	985 771
	180 x 10	770	42,4	45,9	49,5	2,56	36,0	51 987	38,00	972	5,20	12,4	1 403 568
	200 x 10	770	45,5	49,1	52,6	2,64	40,0	57 763	38,00	1 333	5,77	13,7	1 925 333
	220 x 10	770	48,7	52,2	55,7	2,72	44,0	63 540	38,00	1 775	6,35	15,1	2 562 619
	240 x 10	770	51,8	55,3	58,9	2,80	48,0	69 316	38,00	2 304	6,93	16,4	3 326 976
*	250 x 10	770	53,4	56,9	60,4	2,84	50,0	72 204	38,00	2 604	7,22	17,1	3 760 417
	160 x 12	774	44,3	47,8	51,3	2,49	38,4	55 746	38,10	819	4,62	18,8	1 189 159
	180 x 12	774	48,0	51,6	55,1	2,57	43,2	62 715	38,10	1 166	5,20	21,1	1 693 158
	200 x 12	774	51,8	55,3	58,9	2,65	48,0	69 683	38,10	1 600	5,77	23,4	2 322 576
	220 x 12	774	55,6	59,1	62,6	2,73	52,8	76 651	38,10	2 130	6,35	25,7	3 091 349
	240 x 12	774	59,3	62,9	66,4	2,81	57,6	83 620	38,10	2 765	6,93	28,0	4 013 411
	250 x 12	774	61,2	64,8	68,3	2,85	60,0	87 104	38,10	3 125	7,22	29,2	4 536 281
	260 x 12	774	63,1	66,6	70,2	2,89	62,4	90 588	38,10	3 515	7,51	30,3	5 102 699
	280 x 12	774	66,9	70,4	73,9	2,97	67,2	97 556	38,10	4 390	8,08	32,6	6 373 149
*	300 x 12	774	70,7	74,2	77,7	3,05	72,0	104 525	38,10	5 400	8,66	35,0	7 838 694
	200 x 15	780	61,2	64,8	68,3	2,66	60,0	87 795	38,25	2 000	5,77	45,4	2 926 125
	220 x 15	780	65,9	69,5	73,0	2,74	66,0	96 575	38,25	2 662	6,35	49,9	3 894 672
	240 x 15	780	70,7	74,2	77,7	2,82	72,0	105 354	38,25	3 456	6,93	54,4	5 056 344
	250 x 15	780	73,0	76,5	80,1	2,86	75,0	109 744	38,25	3 906	7,22	56,6	5 715 088
	260 x 15	780	75,4	78,9	82,4	2,90	78,0	114 134	38,25	4 394	7,51	58,9	6 428 697
	280 x 15	780	80,1	83,6	87,1	2,98	84,0	122 913	38,25	5 488	8,08	63,4	8 029 287
	300 x 15	780	84,8	88,3	91,8	3,06	90,0	131 693	38,25	6 750	8,66	67,9	9 875 672
	325 x 15	780	90,7	94,2	97,7	3,16	97,5	142 667	38,25	8 582	9,38	73,5	12 556 048
	350 x 15	780	96,6	100,1	103,6	3,26	105,0	153 641	38,25	10 719	10,10	79,1	15 682 201
	220 x 20	790	83,2	86,7	90,3	2,76	88,0	130 467	38,50	3 549	6,35	117,7	5 260 999
	240 x 20	790	89,5	93,0	96,6	2,84	96,0	142 328	38,50	4 608	6,93	128,4	6 830 208
	250 x 20	790	92,6	96,2	99,7	2,88	100,0	148 258	38,50	5 208	7,22	133,7	7 720 052
	260 x 20	790	95,8	99,3	102,8	2,92	104,0	154 189	38,50	5 859	7,51	139,1	8 684 009
	280 x 20	790	102,1	105,6	109,1	3,00	112,0	166 049	38,50	7 317	8,08	149,7	10 846 117
	300 x 20	790	108,3	111,9	115,4	3,08	120,0	177 910	38,50	9 000	8,66	160,4	13 340 250
	325 x 20	790	116,2	119,7	123,2	3,18	130,0	192 736	38,50	11 443	9,38	173,7	16 960 954
	350 x 20	790	124,0	127,6	131,1	3,28	140,0	207 562	38,50	14 292	10,10	187,1	21 183 823
	375 x 20	790	131,9	135,4		3,38	150,0	222 388	38,50	17 578	10,83	200,4	26 055 176
	400 x 20	790	139,7	143,3	146,8	3,48	160,0	237 213	38,50	21 333	11,55	213,7	31 621 333
	250 x 25	800	112,3	115,8	119,3	2,90	125,0	187 760	38,76	6 510	7,22	260,8	9 775 798
	260 x 25	800	116,2	119,7	123,2	2,94	130,0	195 271	38,76	7 323	7,51	271,2	10 996 443
	280 x 25	800	124,0	127,6	131,1	3,02	140,0	210 292	38,76	9 147	8,08	292,1	13 734 292
	300 x 25	800	131,9	135,4	138,9	3,10	150,0	225 313	38,76	11 250	8,66	312,9	16 892 578
	325 x 25	800	141,7	145,2	148,8	3,20	162,5	244 089	38,76	14 303	9,38	338,9	21 477 427
	350 x 25	800	151,5	155,0	158,6	3,30	175,0	262 865	38,76	17 865	10,10	365,0	26 824 788
	375 x 25	800	161,3	164,9	168,4	3,40	187,5	281 641	38,76	21 973	10,83	391,0	32 993 317
	400 x 25	800	171,1	174,7	178,2	3,50	200,0	300 417	38,76	26 667	11,55	417,1	40 041 667
	300 x 30	810	155,4	159,0	162,5	3,12	180,0	273 915	39,01	13 500	8,66	540,4	20 533 500
	325 x 30	810	167,2	170,7	174,3	3,22	195,0	296 741	39,01	17 164	9,38	585,4	26 106 539
	350 x 30	810	179,0	182,5	186,0	3,32	210,0	319 568	39,01	21 438	10,10	630,4	32 606 438
	400 x 30	810	202,5	206,1	209,6	3,52	240,0	365 220	39,01	32 000	11,55	720,4	48 672 000

Załącznik 1. Parametry geometryczne przekrojów

* - możliwe tylko dla stali S235

WT_ 1000	h_w = 1000 mm	WTA	t_w = 2,0 mm	$h_w \times t_w$ = 20,00 cm^2
		WTB	t_w = 2,5 mm	$h_w \times t_w$ = 25,00 cm^2
		WTC	t_w = 3,0 mm	$h_w \times t_w$ = 30,00 cm^2

	$b_f \times t_f$	H	masa			pow.	charakterystyka przekroju						
			WTA	WTB	WTC	mal.	2 x A_f	I_y	i_y	I_z	i_z	I_t	I_w
	mm	mm	[kg/m]			m^2/m	cm^2	cm^4	cm	cm^4	cm	cm^4	cm^6
	180 x 8	1016	41,4	46,2	50,9	3,15	28,8	73 158	50,40	778	5,20	6,7	1 975 228
	200 x 8	1016	44,0	48,7	53,4	3,23	32,0	81 287	50,40	1 067	5,77	7,3	2 709 504
*	220 x 8	1016	46,5	51,2	55,9	3,31	35,2	89 416	50,40	1 420	6,35	8,0	3 606 350
	180 x 10	1020	47,1	51,8	56,5	3,16	36,0	91 812	50,50	972	5,20	12,5	2 478 843
	200 x 10	1020	50,2	55,0	59,7	3,24	40,0	102 013	50,50	1 333	5,77	13,9	3 400 333
	220 x 10	1020	53,4	58,1	62,8	3,32	44,0	112 215	50,50	1 775	6,35	15,2	4 525 844
	240 x 10	1020	56,5	61,2	65,9	3,40	48,0	122 416	50,50	2 304	6,93	16,5	5 875 776
*	250 x 10	1020	58,1	62,8	67,5	3,44	50,0	127 517	50,50	2 604	7,22	17,2	6 641 276
	180 x 12	1024	52,8	57,5	62,2	3,17	43,2	110 613	50,60	1 166	5,20	21,3	2 986 404
	200 x 12	1024	56,5	61,2	65,9	3,25	48,0	122 903	50,60	1 600	5,77	23,6	4 096 576
	220 x 12	1024	60,3	65,0	69,7	3,33	52,8	135 193	50,60	2 130	6,35	25,9	5 452 543
	240 x 12	1024	64,1	68,8	73,5	3,41	57,6	147 484	50,60	2 765	6,93	28,2	7 078 883
	250 x 12	1024	65,9	70,7	75,4	3,45	60,0	153 629	50,60	3 125	7,22	29,3	8 001 125
	260 x 12	1024	67,8	72,5	77,2	3,49	62,4	159 774	50,60	3 515	7,51	30,5	9 000 177
	280 x 12	1024	71,6	76,3	81,0	3,57	67,2	172 064	50,60	4 390	8,08	32,8	11 241 005
*	300 x 12	1024	75,4	80,1	84,8	3,65	72,0	184 355	50,60	5 400	8,66	35,1	13 825 944
	200 x 15	1030	65,9	70,7	75,4	3,26	60,0	154 545	50,75	2 000	5,77	45,5	5 151 125
	220 x 15	1030	70,7	75,4	80,1	3,34	66,0	170 000	50,75	2 662	6,35	50,0	6 856 147
	240 x 15	1030	75,4	80,1	84,8	3,42	72,0	185 454	50,75	3 456	6,93	54,5	8 901 144
	250 x 15	1030	77,7	82,4	87,1	3,46	75,0	193 181	50,75	3 906	7,22	56,8	10 060 791
	260 x 15	1030	80,1	84,8	89,5	3,50	78,0	200 909	50,75	4 394	7,51	59,0	11 317 022
	280 x 15	1030	84,8	89,5	94,2	3,58	84,0	216 363	50,75	5 488	8,08	63,5	14 134 687
	300 x 15	1030	89,5	94,2	98,9	3,66	90,0	231 818	50,75	6 750	8,66	68,0	17 385 047
	325 x 15	1030	95,4	100,1	104,8	3,76	97,5	251 136	50,75	8 582	9,38	73,6	22 103 558
	350 x 15	1030	101,3	106,0	110,7	3,86	105,0	270 454	50,75	10 719	10,10	79,3	27 606 811
	220 x 20	1040	87,9	92,6	97,3	3,36	88,0	228 917	51,00	3 549	6,35	117,9	9 231 816
	240 x 20	1040	94,2	98,9	103,6	3,44	96,0	249 728	51,00	4 608	6,93	128,5	11 985 408
	250 x 20	1040	97,3	102,1	106,8	3,48	100,0	260 133	51,00	5 208	7,22	133,9	13 546 875
	260 x 20	1040	100,5	105,2	109,9	3,52	104,0	270 539	51,00	5 859	7,51	139,2	15 238 392
	280 x 20	1040	106,8	111,5	116,2	3,60	112,0	291 349	51,00	7 317	8,08	149,9	19 032 384
	300 x 20	1040	113,0	117,8	122,5	3,68	120,0	312 160	51,00	9 000	8,66	160,5	23 409 000
	325 x 20	1040	120,9	125,6	130,3	3,78	130,0	338 173	51,00	11 443	9,38	173,9	29 762 484
	350 x 20	1040	128,7	133,5	138,2	3,88	140,0	364 187	51,00	14 292	10,10	187,2	37 172 625
	375 x 20	1040	136,6	141,3	146,0	3,98	150,0	390 200	51,00	17 578	10,83	200,5	45 720 703
	400 x 20	1040	144,4	149,2	153,9	4,08	160,0	416 213	51,00	21 333	11,55	213,9	55 488 000
	250 x 25	1050	117,0	121,7	126,4	3,50	125,0	328 385	51,26	6 510	7,22	260,9	17 100 016
	260 x 25	1050	120,9	125,6		3,54	130,0	341 521	51,26	7 323	7,51	271,4	19 235 193
	280 x 25	1050	128,7	133,5	138,2	3,62	140,0	367 792	51,26	9 147	8,08	292,2	24 024 292
	300 x 25	1050	136,6	141,3	146,0	3,70	150,0	394 063	51,26	11 250	8,66	313,0	29 548 828
	325 x 25	1050	146,4	151,1	155,8	3,80	162,5	426 901	51,26	14 303	9,38	339,1	37 568 736
	350 x 25	1050	156,2	160,9	165,6	3,90	175,0	459 740	51,26	17 865	10,10	365,1	46 922 445
	375 x 25	1050	166,0	170,7	175,4	4,00	187,5	492 578	51,26	21 973	10,83	391,1	57 712 555
	400 x 25	1050	175,8	180,6	185,3	4,10	200,0	525 417	51,26	26 667	11,55	417,2	70 041 667
	425 x 25	1050	185,7	190,4	195,1	4,20	212,5	558 255	51,26	31 986	12,27	443,2	84 012 380
	450 x 25	1050	195,5	200,2	204,9	4,30	225,0	591 094	51,26	37 969	12,99	469,3	99 727 295
	300 x 30	1060	160,1	164,9	169,6	3,72	180,0	477 540	51,51	13 500	8,66	540,5	35 805 375
	325 x 30	1060	171,9	176,6	181,3	3,82	195,0	517 335	51,51	17 164	9,38	585,5	45 523 385
	350 x 30	1060	183,7	188,4	193,1	3,92	210,0	557 130	51,51	21 438	10,10	630,5	56 857 609
	375 x 30	1060	195,5	200,2	204,9	4,02	225,0	596 925	51,51	26 367	10,83	675,5	69 932 373
	400 x 30	1060	207,2	212,0	216,7	4,12	240,0	636 720	51,51	32 000	11,55	720,5	84 872 000
	425 x 30	1060	219,0	223,7	228,4	4,22	255,0	676 515	51,51	38 383	12,27	765,5	101 800 814
	450 x 30	1060	230,8	235,5	240,2	4,32	270,0	716 310	51,51	45 563	12,99	810,5	120 843 141

Załącznik 1. Parametry geometryczne przekrojów

* - możliwe tylko dla stali S235

WT_ 1250	h_w = 1250 mm	WTB	t_w = 2,5 mm	$h_w \times t_w$ = 31,25 cm^2
		WTC	t_w = 3,0 mm	$h_w \times t_w$ = 37,50 cm^2

	$b_f \times t_f$	H	masa			pow.	charakterystyka przekroju						
			WTA	WTB	WTC	mal.	2 x A_f	I_y	i_y	I_z	i_z	I_t	I_w
	mm	mm	[kg/m]			m^2/m	cm^2	cm^4	cm	cm^4	cm	cm^4	cm^6
	200 x 10	1270		60,8	66,7	3,84	40,0	158 763	63,00	1 333	5,77	14,0	5 292 000
	220 x 10	1270		64,0	69,9	3,92	44,0	174 640	63,00	1 775	6,35	15,3	7 043 652
	240 x 10	1270		67,1	73,0	4,00	48,0	190 516	63,00	2 304	6,93	16,7	9 144 576
*	250 x 10	1270		68,7	74,6	4,04	50,0	198 454	63,00	2 604	7,22	17,3	10 335 938
	200 x 12	1274		67,1	73,0	3,85	48,0	191 123	63,10	1 600	5,77	23,7	6 370 576
	220 x 12	1274		70,9	76,8	3,93	52,8	210 235	63,10	2 130	6,35	26,0	8 479 237
	240 x 12	1274		74,7	80,5	4,01	57,6	229 348	63,10	2 765	6,93	28,3	11 008 355
	250 x 12	1274		76,5	82,4	4,05	60,0	238 904	63,10	3 125	7,22	29,5	12 442 531
	260 x 12	1274		78,4	84,3	4,09	62,4	248 460	63,10	3 515	7,51	30,6	13 996 155
	280 x 12	1274		82,2	88,1	4,17	67,2	267 572	63,10	4 390	8,08	32,9	17 480 861
*	300 x 12	1274		86,0	91,8	4,25	72,0	286 685	63,10	5 400	8,66	35,2	21 500 694
	200 x 15	1280		76,5	82,4	3,86	60,0	240 045	63,25	2 000	5,77	45,7	8 001 125
	220 x 15	1280		81,2	87,1	3,94	66,0	264 050	63,25	2 662	6,35	50,2	10 649 497
	240 x 15	1280		86,0	91,8	4,02	72,0	288 054	63,25	3 456	6,93	54,7	13 825 944
	250 x 15	1280		88,3	94,2	4,06	75,0	300 056	63,25	3 906	7,22	56,9	15 627 197
	260 x 15	1280		90,7	96,6	4,10	78,0	312 059	63,25	4 394	7,51	59,2	17 578 472
	280 x 15	1280		95,4	101,3	4,18	84,0	336 063	63,25	5 488	8,08	63,7	21 955 087
	300 x 15	1280		100,1	106,0	4,26	90,0	360 068	63,25	6 750	8,66	68,2	27 003 797
	325 x 15	1280		106,0	111,9	4,36	97,5	390 073	63,25	8 582	9,38	73,8	34 332 952
	350 x 15	1280		111,9	117,8	4,46	105,0	420 079	63,25	10 719	10,10	79,4	42 881 029
	220 x 20	1290		98,5	104,4	3,96	88,0	354 867	63,50	3 549	6,35	118,0	14 311 799
	240 x 20	1290		104,8	110,7	4,04	96,0	387 128	63,50	4 608	6,93	128,7	18 580 608
	250 x 20	1290		107,9	113,8	4,08	100,0	403 258	63,50	5 208	7,22	134,0	21 001 302
	260 x 20	1290		111,1	117,0	4,12	104,0	419 389	63,50	5 859	7,51	139,3	23 623 609
	280 x 20	1290		117,4	123,2	4,20	112,0	451 649	63,50	7 317	8,08	150,0	29 505 317
	300 x 20	1290		123,6	129,5	4,28	120,0	483 910	63,50	9 000	8,66	160,7	36 290 250
	325 x 20	1290		131,5	137,4	4,38	130,0	524 236	63,50	11 443	9,38	174,0	46 139 861
	350 x 20	1290		139,3	145,2	4,48	140,0	564 562	63,50	14 292	10,10	187,3	57 627 573
	375 x 20	1290		147,2	153,1	4,58	150,0	604 888	63,50	17 578	10,83	200,7	70 879 395
	400 x 20	1290		155,0	160,9	4,68	160,0	645 213	63,50	21 333	11,55	214,0	86 021 333
	250 x 25	1300		127,6	133,5	4,10	125,0	508 073	63,75	6 510	7,22	261,1	26 458 740
	260 x 25	1300		131,5	137,4	4,14	130,0	528 396	63,75	7 323	7,51	271,5	29 762 484
	280 x 25	1300		139,3	145,2	4,22	140,0	569 042	63,75	9 147	8,08	292,3	37 172 625
	300 x 25	1300		147,2	153,1	4,30	150,0	609 688	63,75	11 250	8,66	313,2	45 720 703
	325 x 25	1300		157,0	162,9	4,40	162,5	660 495	63,75	14 303	9,38	339,2	58 129 852
	350 x 25	1300		166,8	172,7	4,50	175,0	711 302	63,75	17 865	10,10	365,2	72 602 783
	375 x 25	1300		176,6		4,60	187,5	762 109	63,75	21 973	10,83	391,3	89 298 248
	400 x 25	1300		186,4	192,3	4,70	200,0	812 917	63,75	26 667	11,55	417,3	108 375 000
	425 x 25	1300		196,3	202,1	4,80	212,5	863 724	63,75	31 986	12,27	443,4	129 991 791
	450 x 25	1300		206,1	212,0	4,90	225,0	914 531	63,75	37 969	12,99	469,4	154 307 373
	300 x 30	1310		170,7	176,6	4,32	180,0	737 415	64,01	13 500	8,66	540,7	55 296 000
	325 x 30	1310		182,5	188,4	4,42	195,0	798 866	64,01	17 164	9,38	585,7	70 304 000
	350 x 30	1310		194,3	200,2	4,52	210,0	860 318	64,01	21 438	10,10	630,7	87 808 000
	375 x 30	1310		206,1	212,0	4,62	225,0	921 769	64,01	26 367	10,83	675,7	108 000 000
	400 x 30	1310		217,8	223,7	4,72	240,0	983 220	64,01	32 000	11,55	720,7	131 072 000
	425 x 30	1310		229,6	235,5	4,82	255,0	1 044 671	64,01	38 383	12,27	765,7	157 216 000
	450 x 30	1310		241,4	247,3	4,92	270,0	1 106 123	64,01	45 563	12,99	810,7	186 624 000

Załącznik 1. Parametry geometryczne przekrojów

* - możliwe tylko dla stali S235

WT_ 1500	h_w = 1500 mm	WTB	t_w = 2,5 mm	$h_w \times t_w$ = 37,50 cm^2
		WTC	t_w = 3,0 mm	$h_w \times t_w$ = 45,00 cm^2

	$b_f \times t_f$	H	masa			pow.	charakterystyka przekroju						
			WTA	WTB	WTC	mal.	2 x A_f	I_y	i_y	I_z	i_z	I_t	I_w
	mm	mm	[kg/m]			m^2/m	cm^2	cm^4	cm	cm^4	cm	cm^4	cm^6
	200 x 10	1520		66,7	73,8	4,44	40,0	228 013	75,50	1 333	5,77	14,1	7 600 333
	220 x 10	1520		69,9	76,9	4,52	44,0	250 815	75,50	1 775	6,35	15,4	10 116 044
	240 x 10	1520		73,0	80,1	4,60	48,0	273 616	75,50	2 304	6,93	16,8	13 133 376
*	250 x 10	1520		74,6	81,6	4,64	50,0	285 017	75,50	2 604	7,22	17,4	14 844 401
	200 x 12	1524		73,0	80,1	4,45	48,0	274 343	75,60	1 600	5,77	23,8	9 144 576
	220 x 12	1524		76,8	83,8	4,53	52,8	301 777	75,60	2 130	6,35	26,1	12 171 431
	240 x 12	1524		80,5	87,6	4,61	57,6	329 212	75,60	2 765	6,93	28,4	15 801 827
	250 x 12	1524		82,4	89,5	4,65	60,0	342 929	75,60	3 125	7,22	29,6	17 860 500
	260 x 12	1524		84,3	91,4	4,69	62,4	356 646	75,60	3 515	7,51	30,7	20 090 633
	280 x 12	1524		88,1	95,1	4,77	67,2	384 080	75,60	4 390	8,08	33,0	25 092 717
*	300 x 12	1524		91,8	98,9	4,85	72,0	411 515	75,60	5 400	8,66	35,3	30 862 944
	200 x 15	1530		82,4	89,5	4,46	60,0	344 295	75,75	2 000	5,77	45,8	11 476 125
	220 x 15	1530		87,1	94,2	4,54	66,0	378 725	75,75	2 662	6,35	50,3	15 274 722
	240 x 15	1530		91,8	98,9	4,62	72,0	413 154	75,75	3 456	6,93	54,8	19 830 744
	250 x 15	1530		94,2	101,3	4,66	75,0	430 369	75,75	3 906	7,22	57,0	22 414 307
	260 x 15	1530		96,6	103,6	4,70	78,0	447 584	75,75	4 394	7,51	59,3	25 213 047
	280 x 15	1530		101,3	108,3	4,78	84,0	482 013	75,75	5 488	8,08	63,8	31 490 487
	300 x 15	1530		106,0	113,0	4,86	90,0	516 443	75,75	6 750	8,66	68,3	38 731 922
	325 x 15	1530		111,9	118,9	4,96	97,5	559 479	75,75	8 582	9,38	73,9	49 244 232
	350 x 15	1530		117,8	124,8	5,06	105,0	602 516	75,75	10 719	10,10	79,5	61 504 857
	220 x 20	1540		104,4	111,5	4,56	88,0	508 317	76,00	3 549	6,35	118,1	20 500 949
	240 x 20	1540		110,7	117,8	4,64	96,0	554 528	76,00	4 608	6,93	128,8	26 615 808
	250 x 20	1540		113,8	120,9	4,68	100,0	577 633	76,00	5 208	7,22	134,1	30 083 333
	260 x 20	1540		117,0	124,0	4,72	104,0	600 739	76,00	5 859	7,51	139,4	33 839 659
	280 x 20	1540		123,2	130,3	4,80	112,0	646 949	76,00	7 317	8,08	150,1	42 264 917
	300 x 20	1540		129,5	136,6	4,88	120,0	693 160	76,00	9 000	8,66	160,8	51 984 000
	325 x 20	1540		137,4	144,4	4,98	130,0	750 923	76,00	11 443	9,38	174,1	66 093 083
	350 x 20	1540		145,2	152,3	5,08	140,0	808 687	76,00	14 292	10,10	187,4	82 548 667
	375 x 20	1540		153,1	160,1	5,18	150,0	866 450	76,00	17 578	10,83	200,8	101 531 250
	400 x 20	1540		160,9	168,0	5,28	160,0	924 213	76,00	21 333	11,55	214,1	123 221 333
	250 x 25	1550		133,5	140,5	4,70	125,0	726 823	76,25	6 510	7,22	261,2	37 851 969
	260 x 25	1550		137,4	144,4	4,74	130,0	755 896	76,25	7 323	7,51	271,6	42 578 318
	280 x 25	1550		145,2	152,3	4,82	140,0	814 042	76,25	9 147	8,08	292,4	53 179 292
	300 x 25	1550		153,1	160,1	4,90	150,0	872 188	76,25	11 250	8,66	313,3	65 408 203
	325 x 25	1550		162,9	170,0	5,00	162,5	944 870	76,25	14 303	9,38	339,3	83 160 777
	350 x 25	1550		172,7	179,8	5,10	175,0	1 017 552	76,25	17 865	10,10	365,4	103 865 804
	375 x 25	1550		182,5		5,20	187,5	1 090 234	76,25	21 973	10,83	391,4	127 750 397
	400 x 25	1550		192,3	199,4	5,30	200,0	1 162 917	76,25	26 667	11,55	417,4	155 041 667
	425 x 25	1550		202,1	209,2	5,40	212,5	1 235 599	76,25	31 986	12,27	443,5	185 966 726
	450 x 25	1550		212,0	219,0	5,50	225,0	1 308 281	76,25	37 969	12,99	469,5	220 752 686
	300 x 30	1560		176,6	183,7	4,92	180,0	1 053 540	76,50	13 500	8,66	540,8	79 005 375
	325 x 30	1560		188,4	195,5	5,02	195,0	1 141 335	76,50	17 164	9,38	585,8	100 448 385
	350 x 30	1560		200,2	207,2	5,12	210,0	1 229 130	76,50	21 438	10,10	630,8	125 457 609
	375 x 30	1560		212,0	219,0	5,22	225,0	1 316 925	76,50	26 367	10,83	675,8	154 307 373
	400 x 30	1560		223,7	230,8	5,32	240,0	1 404 720	76,50	32 000	11,55	720,8	187 272 000
	425 x 30	1560		235,5	242,6	5,42	255,0	1 492 515	76,50	38 383	12,27	765,8	224 625 814
	450 x 30	1560		247,3	254,3	5,52	270,0	1 580 310	76,50	45 563	12,99	810,8	266 643 141

Załącznik 2. Nośność pasów

f_y = **235** Mpa

k_c = 1,0 - siła w pasie stała pomiędzy punktami stabilizacji pasa

b_f x t_f	A	i	rozciąganie $N_{t,Rd}$	ściskanie $N_{c,Rd}$ [kN]									
				c_{gr}	c [m] - odległość pomiędzy punktami stabilizacji								c_{max}
mm	cm^2	cm	kN	cm	3,00	4,00	5,00	6,00	8,00	10,00	12,00	15,00	cm
160 x 8	12,8	4,62	301	87,4	220	176	137	107	68	46	33	22	11,5
170 x 8	13,6	4,91	320	92,9	241	198	157	124	80	54	39	26	12,3
180 x 8	14,4	5,20	338	98,4	263	220	178	142	92	64	46	31	13,0
190 x 8	15,2	5,48	357	103,8	284	242	199	161	106	74	54	36	13,7
200 x 8	16,0	5,77	376	109,3	306	264	220	181	121	85	62	41	14,4
210 x 8	16,8	6,06	395	114,8	327	285	242	201	137	96	71	48	15,2
220 x 8	17,6	6,35	414	120,2	348	307	264	222	154	109	80	54	15,9
160 x 10	16,0	4,62	376	87,4	274	220	172	134	85	58	41	27	11,5
170 x 10	17,0	4,91	400	92,9	302	248	197	155	99	68	49	33	12,3
180 x 10	18,0	5,20	423	98,4	328	275	222	178	116	80	58	38	13,0
190 x 10	19,0	5,48	447	103,8	355	302	249	201	133	92	67	45	13,7
200 x 10	20,0	5,77	470	109,3	382	330	276	226	152	106	77	52	14,4
210 x 10	21,0	6,06	494	114,8	408	357	303	251	171	121	88	59	15,2
220 x 10	22,0	6,35	517	120,2	435	384	330	277	192	136	100	68	15,9
230 x 10	23,0	6,64	541	125,7	461	411	357	304	214	153	113	77	16,6
240 x 10	24,0	6,93	564	131,2	488	438	385	331	237	171	127	86	17,3
250 x 10	25,0	7,22	588	136,6	514	465	412	358	260	190	142	97	18,0
160 x 12	19,2	4,62	451	87,4	329	264	206	160	102	69	50	33	11,5
170 x 12	20,4	4,91	479	92,9	362	297	236	186	119	82	59	39	12,3
180 x 12	21,6	5,20	508	98,4	394	330	267	213	139	95	69	46	13,0
190 x 12	22,8	5,48	536	103,8	426	363	298	242	160	111	80	54	13,7
200 x 12	24,0	5,77	564	109,3	458	395	331	271	182	127	93	62	14,4
210 x 12	25,2	6,06	592	114,8	490	428	363	302	206	145	106	71	15,2
220 x 12	26,4	6,35	620	120,2	522	461	396	333	231	163	120	81	15,9
230 x 12	27,6	6,64	649	125,7	554	493	429	365	257	184	136	92	16,6
240 x 12	28,8	6,93	677	131,2	585	526	462	397	284	205	152	104	17,3
250 x 12	30,0	7,22	705	136,6	617	558	494	429	312	227	170	116	18,0
260 x 12	31,2	7,51	733	142,1	648	590	527	462	342	251	188	129	18,8
270 x 12	32,4	7,79	761	147,6	679	622	560	495	372	276	208	143	19,5
280 x 12	33,6	8,08	790	153,0	710	654	592	528	402	301	229	158	20,2
290 x 12	34,8	8,37	818	158,5	742	685	625	560	433	328	250	174	20,9
300 x 12	36,0	8,66	846	164,0	773	717	657	593	465	355	273	190	21,7
200 x 15	30,0	5,77	705	109,3	573	494	413	339	227	159	116	78	14,4
210 x 15	31,5	6,06	740	114,8	613	535	454	377	257	181	133	89	15,2
220 x 15	33,0	6,35	776	120,2	652	576	495	416	288	204	151	102	15,9
230 x 15	34,5	6,64	811	125,7	692	617	536	456	321	230	170	115	16,6
240 x 15	36,0	6,93	846	131,2	731	657	577	496	355	256	190	129	17,3
250 x 15	37,5	7,22	881	136,6	771	697	618	537	391	284	212	145	18,0
260 x 15	39,0	7,51	917	142,1	810	737	659	577	427	314	236	161	18,8
270 x 15	40,5	7,79	952	147,6	849	777	700	618	464	345	260	179	19,5
280 x 15	42,0	8,08	987	153,0	888	817	740	659	503	377	286	198	20,2
290 x 15	43,5	8,37	1022	158,5	927	857	781	700	542	410	313	217	20,9
300 x 15	45,0	8,66	1058	164,0	966	896	821	741	581	444	341	238	21,7
310 x 15	46,5	8,95	1093	169,4	1005	936	861	782	621	479	370	260	22,4
320 x 15	48,0	9,24	1128	174,9	1044	975	902	823	661	515	401	283	23,1
325 x 15	48,8	9,38	1146	177,6	1064	995	922	844	681	534	417	294	23,5
330 x 15	49,5	9,53	1163	180,4	1083	1014	942	864	702	552	432	307	23,8
340 x 15	51,0	9,81	1199	185,8	1122	1054	981	905	743	590	465	331	24,5
350 x 15	52,5	10,10	1234	191,3	1161	1093	1021	945	783	628	498	357	25,3
220 x 20	44,0	6,35	1034	120,2	870	768	660	555	384	272	201	135	15,9
230 x 20	46,0	6,64	1081	125,7	923	822	714	608	428	306	226	153	16,6
240 x 20	48,0	6,93	1128	131,2	975	876	769	661	474	342	254	173	17,3
250 x 20	50,0	7,22	1175	136,6	1028	930	824	715	521	379	283	193	18,0

Załącznik 2. Nośność pasów

f_y = **235** Mpa

k_c = 1,0 - siła w pasie stała pomiędzy punktami stabilizacji pasa

b_f x t_f	A	i	rozciąganie	ściskanie $N_{c,Rd}$ [kN]									
			$N_{t,Rd}$	c_{gr}	c [m] - odległość pomiędzy punktami stabilizacji								c_{max}
mm	cm^2	cm	kN	cm	3,00	4,00	5,00	6,00	8,00	10,00	12,00	15,00	cm
260 x 20	52,0	7,51	1222	142,1	1080	983	878	770	569	418	314	215	18,8
270 x 20	54,0	7,79	1269	147,6	1132	1036	933	824	619	459	347	239	19,5
280 x 20	56,0	8,08	1316	153,0	1184	1089	987	879	670	502	381	264	20,2
290 x 20	58,0	8,37	1363	158,5	1236	1142	1041	934	722	546	417	290	20,9
300 x 20	60,0	8,66	1410	164,0	1288	1195	1095	989	775	592	455	317	21,7
310 x 20	62,0	8,95	1457	169,4	1340	1248	1149	1043	828	639	494	346	22,4
320 x 20	64,0	9,24	1504	174,9	1392	1300	1202	1098	882	687	535	377	23,1
325 x 20	65,0	9,38	1528	177,6	1418	1326	1229	1125	909	712	555	393	23,5
330 x 20	66,0	9,53	1551	180,4	1444	1353	1255	1152	936	736	577	409	23,8
340 x 20	68,0	9,81	1598	185,8	1496	1405	1309	1206	990	787	620	442	24,5
350 x 20	70,0	10,10	1645	191,3	1548	1457	1362	1260	1045	838	665	476	25,3
360 x 20	72,0	10,39	1692	196,7	1600	1509	1415	1314	1099	889	710	512	26,0
370 x 20	74,0	10,68	1739	202,2	1651	1562	1467	1368	1154	942	757	549	26,7
375 x 20	75,0	10,83	1763	204,9	1677	1588	1494	1394	1181	968	781	569	27,1
380 x 20	76,0	10,97	1786	207,7	1703	1614	1520	1421	1209	995	805	588	27,4
390 x 20	78,0	11,26	1833	213,1	1755	1666	1573	1475	1264	1048	854	627	28,1
400 x 20	80,0	11,55	1880	218,6	1807	1718	1625	1528	1318	1102	904	668	28,9
250 x 25	62,5	7,22	1469	136,6	1284	1162	1030	894	651	474	354	242	18,0
260 x 25	65,0	7,51	1528	142,1	1350	1229	1098	962	712	523	393	269	18,8
270 x 25	67,5	7,79	1586	147,6	1415	1295	1166	1031	774	574	434	298	19,5
280 x 25	70,0	8,08	1645	153,0	1480	1362	1234	1099	838	628	476	329	20,2
290 x 25	72,5	8,37	1704	158,5	1545	1428	1301	1167	903	683	521	362	20,9
300 x 25	75,0	8,66	1763	164,0	1610	1494	1369	1236	968	740	569	397	21,7
310 x 25	77,5	8,95	1821	169,4	1675	1560	1436	1304	1035	799	617	433	22,4
320 x 25	80,0	9,24	1880	174,9	1740	1625	1503	1372	1102	859	668	471	23,1
325 x 25	81,3	9,38	1909	177,6	1773	1658	1536	1406	1136	890	694	491	23,5
330 x 25	82,5	9,53	1939	180,4	1805	1691	1569	1440	1170	921	721	511	23,8
340 x 25	85,0	9,81	1998	185,8	1870	1756	1636	1508	1238	983	775	552	24,5
350 x 25	87,5	10,10	2056	191,3	1935	1821	1702	1575	1306	1047	831	596	25,3
360 x 25	90,0	10,39	2115	196,7	1999	1887	1768	1642	1374	1112	888	640	26,0
370 x 25	92,5	10,68	2174	202,2	2064	1952	1834	1709	1443	1177	947	687	26,7
375 x 25	93,8	10,83	2203	204,9	2097	1984	1867	1743	1477	1210	976	711	27,1
380 x 25	95,0	10,97	2233	207,7	2129	2017	1900	1776	1511	1244	1006	735	27,4
390 x 25	97,5	11,26	2291	213,1	2194	2082	1966	1843	1579	1310	1067	784	28,1
400 x 25	100,0	11,55	2350	218,6	2258	2147	2031	1910	1648	1378	1130	835	28,9
410 x 25	102,5	11,84	2409	224,1	2323	2212	2097	1976	1716	1445	1193	888	29,6
420 x 25	105,0	12,12	2468	229,5	2388	2277	2162	2042	1784	1513	1257	941	30,3
425 x 25	106,3	12,27	2497	232,3	2420	2309	2195	2076	1818	1547	1289	969	30,7
430 x 25	107,5	12,41	2526	235,0	2453	2342	2228	2109	1852	1581	1321	996	31,0
440 x 25	110,0	12,70	2585	240,5	2517	2407	2293	2175	1920	1649	1387	1053	31,8
450 x 25	112,5	12,99	2644	245,9	2582	2472	2358	2241	1988	1718	1453	1110	32,5
300 x 30	90,0	8,66	2115	164,0	1932	1792	1642	1483	1162	888	682	476	21,7
310 x 30	93,0	8,95	2186	169,4	2010	1871	1723	1565	1242	958	741	520	22,4
320 x 30	96,0	9,24	2256	174,9	2088	1950	1803	1646	1322	1031	802	565	23,1
325 x 30	97,5	9,38	2291	177,6	2127	1990	1843	1687	1363	1067	833	589	23,5
330 x 30	99,0	9,53	2327	180,4	2166	2029	1883	1728	1404	1105	865	613	23,8
340 x 30	102,0	9,81	2397	185,8	2244	2107	1963	1809	1485	1180	930	663	24,5
350 x 30	105,0	10,10	2468	191,3	2322	2186	2042	1890	1567	1257	997	715	25,3
360 x 30	108,0	10,39	2538	196,7	2399	2264	2122	1971	1649	1334	1066	768	26,0
370 x 30	111,0	10,68	2609	202,2	2477	2342	2201	2051	1731	1413	1136	824	26,7
375 x 30	112,5	10,83	2644	204,9	2516	2381	2241	2092	1772	1453	1172	853	27,1
380 x 30	114,0	10,97	2679	207,7	2555	2420	2280	2132	1813	1492	1208	882	27,4
390 x 30	117,0	11,26	2750	213,1	2632	2498	2359	2212	1895	1572	1281	941	28,1

Załącznik 2. Nośność pasów

f_y = **235** Mpa

k_c = 1,0 - siła w pasie stała pomiędzy punktami stabilizacji pasa

b_f x t_f	A	i	rozciąganie $N_{t,Rd}$	ściskanie $N_{c,Rd}$ [kN]									
				c_{gr}	c [m] - odległość pomiędzy punktami stabilizacji								c_{max}
mm	cm^2	cm	kN	cm	3,00	4,00	5,00	6,00	8,00	10,00	12,00	15,00	cm
400 x 30	120,0	11,55	2820	218,6	2710	2576	2438	2292	1977	1653	1355	1002	28,9
410 x 30	123,0	11,84	2891	224,1	2788	2654	2516	2371	2059	1734	1431	1065	29,6
420 x 30	126,0	12,12	2961	229,5	2865	2732	2595	2451	2141	1816	1508	1130	30,3
425 x 30	127,5	12,27	2996	232,3	2904	2771	2634	2491	2182	1856	1547	1162	30,7
430 x 30	129,0	12,41	3032	235,0	2943	2810	2673	2530	2222	1897	1585	1196	31,0
440 x 30	132,0	12,70	3102	240,5	3021	2888	2752	2610	2304	1979	1664	1263	31,8
450 x 30	135,0	12,99	3173	245,9	3098	2966	2830	2689	2385	2061	1743	1332	32,5

Nośności pasów o wymiarach nie podanych w tabeli należy obliczyć wg wytycznych podanych w p.3.1 w rozdziale 1

Załącznik 2. Nośność pasów

f_y = **355** Mpa

k_c = 1,0 - siła w pasie stała pomiędzy punktami stabilizacji pasa

b_f x t_f	A	i	rozciąganie $N_{t,Rd}$	ściskanie $N_{c,Rd}$ [kN]									
				c_{gr}	c [m] - odległość pomiędzy punktami stabilizacji								c_{max}
mm	cm^2	cm	kN	cm	3,00	4,00	5,00	6,00	8,00	10,00	12,00	15,00	cm
160 x 8	12,8	4,62	454	71,1	287	212	156	117	72	48	34	23	11,5
170 x 8	13,6	4,91	483	75,6	320	242	181	137	85	57	41	27	12,3
180 x 8	14,4	5,20	511	80,0	353	274	208	159	99	67	48	32	13,0
190 x 8	15,2	5,48	540	84,5	386	306	236	182	115	78	56	37	13,7
200 x 8	16,0	5,77	568	88,9	419	338	265	207	132	90	65	43	14,4
160 x 10	16,0	4,62	568	71,1	358	265	195	146	90	60	43	28	11,5
170 x 10	17,0	4,91	604	75,6	400	303	226	171	106	71	51	34	12,3
180 x 10	18,0	5,20	639	80,0	441	342	260	199	124	84	60	40	13,0
190 x 10	19,0	5,48	675	84,5	482	382	295	228	143	97	70	46	13,7
200 x 10	20,0	5,77	710	88,9	523	423	331	259	164	112	81	54	14,4
210 x 10	21,0	6,06	746	93,4	564	464	369	291	187	128	93	62	15,2
220 x 10	22,0	6,35	781	97,8	605	505	408	325	212	145	105	70	15,9
230 x 10	23,0	6,64	817	102,3	645	547	448	361	237	164	119	80	16,6
240 x 10	24,0	6,93	852	106,7	686	588	488	398	265	184	134	90	17,3
160 x 12	19,2	4,62	682	71,1	430	318	234	176	107	72	51	34	11,5
170 x 12	20,4	4,91	724	75,6	479	364	272	206	127	85	61	40	12,3
180 x 12	21,6	5,20	767	80,0	529	411	312	238	148	100	72	47	13,0
190 x 12	22,8	5,48	809	84,5	579	459	354	273	172	117	84	55	13,7
200 x 12	24,0	5,77	852	88,9	628	507	398	310	197	134	97	64	14,4
210 x 12	25,2	6,06	895	93,4	677	557	443	350	225	154	111	74	15,2
220 x 12	26,4	6,35	937	97,8	726	606	490	391	254	175	127	84	15,9
230 x 12	27,6	6,64	980	102,3	774	656	537	433	285	197	143	96	16,6
240 x 12	28,8	6,93	1022	106,7	823	705	586	477	318	221	161	108	17,3
250 x 12	30,0	7,22	1065	111,2	871	755	634	522	352	247	180	121	18,0
260 x 12	31,2	7,51	1108	115,6	919	804	684	569	389	274	201	135	18,8
270 x 12	32,4	7,79	1150	120,1	967	854	733	616	427	302	223	150	19,5
280 x 12	33,6	8,08	1193	124,5	1015	903	783	664	466	333	246	166	20,2
290 x 12	34,8	8,37	1235	129,0	1063	952	832	712	507	364	270	183	20,9
200 x 15	30,0	5,77	1065	88,9	785	634	497	388	247	168	121	80	14,4
210 x 15	31,5	6,06	1118	93,4	846	696	554	437	281	192	139	92	15,2
220 x 15	33,0	6,35	1172	97,8	907	758	612	488	317	218	158	105	15,9
230 x 15	34,5	6,64	1225	102,3	968	820	672	541	356	246	179	120	16,6
240 x 15	36,0	6,93	1278	106,7	1029	882	732	596	397	276	202	135	17,3
250 x 15	37,5	7,22	1331	111,2	1089	944	793	653	441	308	226	151	18,0
260 x 15	39,0	7,51	1385	115,6	1149	1005	854	711	486	342	251	169	18,8
270 x 15	40,5	7,79	1438	120,1	1209	1067	916	770	533	378	278	188	19,5
280 x 15	42,0	8,08	1491	124,5	1269	1128	978	830	583	416	307	208	20,2
290 x 15	43,5	8,37	1544	129,0	1328	1189	1040	890	634	455	338	229	20,9
300 x 15	45,0	8,66	1598	133,4	1388	1250	1102	952	686	497	370	252	21,7
310 x 15	46,5	8,95	1651	137,8	1447	1311	1164	1013	740	540	404	276	22,4
320 x 15	48,0	9,24	1704	142,3	1506	1372	1226	1075	795	584	439	301	23,1
325 x 15	48,8	9,38	1731	144,5	1536	1402	1257	1106	823	607	457	314	23,5
330 x 15	49,5	9,53	1757	146,7	1565	1432	1288	1137	852	631	476	327	23,8
340 x 15	51,0	9,81	1811	151,2	1625	1492	1349	1199	909	679	514	355	24,5
350 x 15	52,5	10,10	1864	155,6	1684	1552	1410	1261	967	728	554	384	25,3
220 x 20	44,0	6,35	1562	97,8	1210	1010	816	651	423	291	211	141	15,9
230 x 20	46,0	6,64	1633	102,3	1291	1093	895	722	475	328	239	159	16,6
240 x 20	48,0	6,93	1704	106,7	1372	1176	976	795	530	368	269	180	17,3
250 x 20	50,0	7,22	1775	111,2	1452	1258	1057	871	587	411	301	202	18,0
260 x 20	52,0	7,51	1846	115,6	1532	1341	1139	948	648	456	335	225	18,8
270 x 20	54,0	7,79	1917	120,1	1612	1423	1222	1027	711	504	371	251	19,5
280 x 20	56,0	8,08	1988	124,5	1692	1504	1304	1106	777	554	410	277	20,2
290 x 20	58,0	8,37	2059	129,0	1771	1586	1387	1187	845	607	450	306	20,9

Załącznik 2. Nośność pasów

f_y = **355** Mpa

k_c = 1,0 - siła w pasie stała pomiędzy punktami stabilizacji pasa

b_f x t_f	A	i	rozciąganie $N_{t,Rd}$	ściskanie $N_{c,Rd}$ [kN]									
				c_{gr}	c [m] - odległość pomiędzy punktami stabilizacji								c_{max}
mm	cm^2	cm	kN	cm	3,00	4,00	5,00	6,00	8,00	10,00	12,00	15,00	cm
300 x 20	60,0	8,66	2130	133,4	1850	1667	1470	1269	915	662	493	336	21,7
310 x 20	62,0	8,95	2201	137,8	1929	1748	1552	1351	987	720	538	368	22,4
320 x 20	64,0	9,24	2272	142,3	2008	1829	1635	1433	1060	779	585	401	23,1
325 x 20	65,0	9,38	2308	144,5	2048	1869	1676	1474	1098	810	610	419	23,5
330 x 20	66,0	9,53	2343	146,7	2087	1909	1717	1516	1136	841	635	436	23,8
340 x 20	68,0	9,81	2414	151,2	2166	1989	1799	1598	1212	905	686	473	24,5
350 x 20	70,0	10,10	2485	155,6	2245	2069	1880	1681	1290	971	739	512	25,3
360 x 20	72,0	10,39	2556	160,1	2323	2149	1962	1764	1369	1039	795	553	26,0
370 x 20	74,0	10,68	2627	164,5	2402	2229	2043	1846	1449	1108	852	595	26,7
375 x 20	75,0	10,83	2663	166,7	2441	2269	2084	1887	1489	1143	881	617	27,1
380 x 20	76,0	10,97	2698	169,0	2480	2308	2124	1929	1529	1179	911	639	27,4
390 x 20	78,0	11,26	2769	173,4	2559	2388	2205	2011	1610	1252	972	684	28,1
400 x 20	80,0	11,55	2840	177,9	2637	2467	2286	2093	1692	1325	1035	732	28,9
250 x 25	62,5	7,22	2219	111,2	1815	1573	1322	1088	734	514	376	252	18,0
260 x 25	65,0	7,51	2308	115,6	1915	1676	1424	1185	810	570	419	282	18,8
270 x 25	67,5	7,79	2396	120,1	2015	1778	1527	1283	889	630	464	313	19,5
280 x 25	70,0	8,08	2485	124,5	2114	1880	1630	1383	971	693	512	347	20,2
290 x 25	72,5	8,37	2574	129,0	2214	1982	1734	1484	1056	759	563	382	20,9
300 x 25	75,0	8,66	2663	133,4	2313	2084	1837	1586	1143	828	617	420	21,7
310 x 25	77,5	8,95	2751	137,8	2412	2185	1940	1688	1233	900	673	460	22,4
320 x 25	80,0	9,24	2840	142,3	2510	2286	2043	1791	1325	974	732	501	23,1
325 x 25	81,3	9,38	2884	144,5	2560	2336	2095	1843	1372	1012	762	523	23,5
330 x 25	82,5	9,53	2929	146,7	2609	2386	2146	1894	1419	1051	793	546	23,8
340 x 25	85,0	9,81	3018	151,2	2708	2487	2248	1998	1515	1131	857	592	24,5
350 x 25	87,5	10,10	3106	155,6	2806	2587	2351	2101	1612	1214	924	640	25,3
360 x 25	90,0	10,39	3195	160,1	2904	2687	2453	2204	1711	1298	993	691	26,0
370 x 25	92,5	10,68	3284	164,5	3002	2786	2554	2308	1811	1385	1065	743	26,7
375 x 25	93,8	10,83	3328	166,7	3051	2836	2605	2359	1861	1429	1101	771	27,1
380 x 25	95,0	10,97	3373	169,0	3100	2886	2655	2411	1911	1474	1139	798	27,4
390 x 25	97,5	11,26	3461	173,4	3199	2985	2757	2514	2013	1564	1215	855	28,1
400 x 25	100,0	11,55	3550	177,9	3297	3084	2857	2616	2114	1657	1293	915	28,9
410 x 25	102,5	11,84	3639	182,3	3394	3183	2958	2719	2217	1751	1374	976	29,6
420 x 25	105,0	12,12	3728	186,8	3492	3282	3058	2821	2320	1846	1456	1039	30,3
425 x 25	106,3	12,27	3772	189,0	3541	3331	3108	2872	2371	1894	1498	1072	30,7
430 x 25	107,5	12,41	3816	191,2	3590	3380	3158	2923	2423	1942	1541	1105	31,0
440 x 25	110,0	12,70	3905	195,7	3688	3479	3258	3024	2526	2040	1627	1172	31,8
450 x 25	112,5	12,99	3994	200,1	3786	3577	3358	3126	2629	2139	1715	1242	32,5
300 x 30	90,0	8,66	3195	133,4	2775	2501	2204	1903	1372	993	740	504	21,7
310 x 30	93,0	8,95	3302	137,8	2894	2622	2328	2026	1480	1079	807	551	22,4
320 x 30	96,0	9,24	3408	142,3	3013	2743	2452	2149	1591	1169	878	602	23,1
325 x 30	97,5	9,38	3461	144,5	3072	2803	2514	2211	1647	1215	915	628	23,5
330 x 30	99,0	9,53	3515	146,7	3131	2864	2575	2273	1703	1262	952	655	23,8
340 x 30	102,0	9,81	3621	151,2	3249	2984	2698	2397	1818	1358	1029	710	24,5
350 x 30	105,0	10,10	3728	155,6	3367	3104	2821	2521	1935	1456	1109	768	25,3
360 x 30	108,0	10,39	3834	160,1	3485	3224	2943	2645	2053	1558	1192	829	26,0
370 x 30	111,0	10,68	3941	164,5	3603	3343	3065	2769	2173	1662	1278	892	26,7
375 x 30	112,5	10,83	3994	166,7	3662	3403	3126	2831	2233	1715	1322	925	27,1
380 x 30	114,0	10,97	4047	169,0	3721	3463	3187	2893	2293	1769	1367	958	27,4
390 x 30	117,0	11,26	4154	173,4	3838	3582	3308	3016	2415	1877	1458	1027	28,1
400 x 30	120,0	11,55	4260	177,9	3956	3701	3429	3139	2537	1988	1552	1098	28,9
410 x 30	123,0	11,84	4367	182,3	4073	3819	3550	3262	2660	2101	1649	1171	29,6
420 x 30	126,0	12,12	4473	186,8	4191	3938	3670	3385	2784	2215	1748	1247	30,3
425 x 30	127,5	12,27	4526	189,0	4250	3997	3730	3446	2845	2273	1798	1286	30,7

Załącznik 2. Nośność pasów

f_y = **355** Mpa

k_c = 1,0 - siła w pasie stała pomiędzy punktami stabilizacji pasa

b_f x t_f	A	i	rozciąganie $N_{t,Rd}$	ściskanie $N_{c,Rd}$ [kN]									
				c_{gr}	c [m] - odległość pomiędzy punktami stabilizacji								c_{max}
mm	cm^2	cm	kN	cm	3,00	4,00	5,00	6,00	8,00	10,00	12,00	15,00	cm
430 x 30	129,0	12,41	4580	191,2	4308	4056	3790	3507	2907	2331	1849	1326	31,0
440 x 30	132,0	12,70	4686	195,7	4426	4175	3910	3629	3031	2448	1953	1407	31,8
450 x 30	135,0	12,99	4793	200,1	4543	4293	4030	3751	3155	2567	2058	1490	32,5

Nośności pasów o wymiarach nie podanych w tabeli należy obliczyć wg wytycznych podanych w p.3.1 w rozdziale 1

Załącznik 3. Nośność środnika

Nośność środnika zgodnie z D. Hannebauer (p.4.2. rozdział 1)

a) standardowe grubości oraz materiał środnika

f_{yw} = 235MPa	WTA		WTB		WTC	
h_w [mm]	χ_c	V_{Rd} [kN]	χ_c	V_{Rd} [kN]	χ_c	V_{Rd} [kN]
333	1,00	90	1,0	113	1,0	136
500	0,98	133	1,0	170	1,0	204
625	0,96	164	1,0	212	1,0	254
750	0,95	194	1,0	254	1,0	305
1000	0,94	255	1,0	339	1,0	407
1250			1,0	424	1,0	509
1500			1,0	508	1,0	611

b) niestandardowe grubości oraz materiał środnika
(tylko na specjalne zamówienie - dłuższy czas wykonania)

f_{yw} = 235MPa	WTD		WTE		WTF	
h_w [mm]	χ_c	V_{Rd} [kN]	χ_c	V_{Rd} [kN]	χ_c	V_{Rd} [kN]
333	1,0	181	1,0	226	1,0	271
500	1,0	271	1,0	339	1,0	407
625	1,0	339	1,0	424	1,0	509
750	1,0	407	1,0	509	1,0	611
1000	1,0	543	1,0	678	1,0	814
1250	1,0	678	1,0	848	1,0	1018
1500	1,0	814	1,0	1018	1,0	1221

f_{yw} = 355MPa	WTC		WTD	
h_w [mm]	χ_c	V_{Rd} [kN]	χ_c	V_{Rd} [kN]
333	1,00	205	1,0	273
500	1,00	307	1,0	410
625	1,00	384	1,0	512
750	1,00	461	1,0	615
1000	1,00	615	1,0	820
1250	0,99	764	1,0	1025
1500	0,93	858	1,0	1202

f_{yw} = 355MPa	WTE		WTF	
h_w [mm]	χ_c	V_{Rd} [kN]	χ_c	V_{Rd} [kN]
333	1,0	341	1,0	410
500	1,0	512	1,0	615
625	1,0	641	1,0	769
750	1,0	769	1,0	922
1000	1,0	1025	1,0	1230
1250	1,0	1281	1,0	1537
1500	1,0	1537	1,0	1845

Załącznik 4. Obciążenie skupione

(wg p.4.3 rozdział 1)

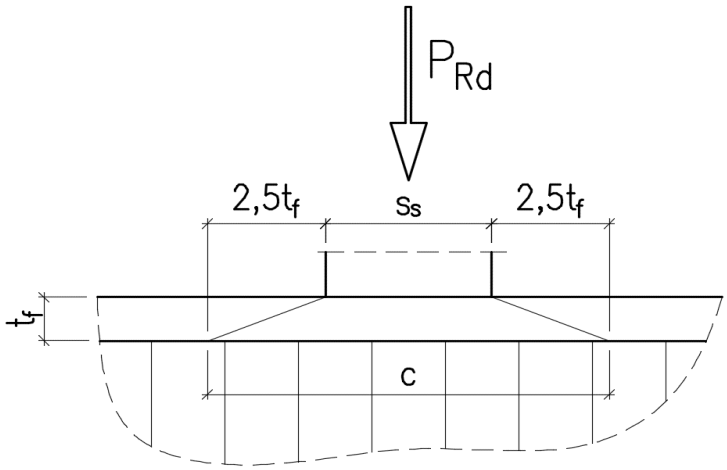

a) <u>standardowe</u> grubości oraz materiał środnika

f_{yw} = 235MPa

		WTA					**WTB**					**WTC**				
		t_s = 2,0 mm					t_s = 2,5 mm					t_s = 3,0 mm				
		P_{Rd} [kN] przy obciążeniu na długości s_s [mm]														
		0	**50**	**100**	**150**	**200**	**0**	**50**	**100**	**150**	**200**	**0**	**50**	**100**	**150**	**200**
t_f [mm]	**10**	28,2	56,4	84,6	112,8	141	35,3	70,5	105,8	141	176	42,3	84,6	127	169	212
	12	33,8	62,0	90,2	118	147	42,3	77,6	113	148	183	50,8	93,1	135	178	220
	15	42,3	70,5	98,7	127	155	52,9	88,1	123	159	194	63,5	105,8	148	190	233
	20	56,4	84,6	113	141	169	70,5	106	141	176	212	84,6	127	169	212	254
	25	70,5	98,7	127	155	183	88,1	123	159	194	229	106	148	190	233	275
	30	84,6	113	141	169	197	106	141	176	212	247	127	169	212	254	296

b) <u>niestandardowe</u> grubości oraz materiał środnika
(tylko na specjalne zamówienie - dłuższy czas wykonania)

f_{yw} = 235MPa

		WTD					WTE					WTF				
		t_s = 4,0 mm					t_s = 5,0 mm					t_s = 6,0 mm				
		PRd [kN] przy obciążeniu na długości ss [mm]														
		0	**50**	**100**	**150**	**200**	**0**	**50**	**100**	**150**	**200**	**0**	**50**	**100**	**150**	**200**
t_f [mm]	**10**	56,4	113	169	226	282	70,5	141	212	282	353	84,6	169	254	338	423
	12	67,7	124	180	237	293	84,6	155	226	296	367	102	186	271	355	440
	15	84,6	141	197	254	310	106	176	247	317	388	127	212	296	381	465
	20	113	169	226	282	338	141	212	282	353	423	169	254	338	423	508
	25	141	197	254	310	367	176	247	317	388	458	212	296	381	465	550
	30	169	226	282	338	395	212	282	353	423	494	254	338	423	508	592

f_{yw} = 355MPa

		WTC					WTD				
		t_s = 3,0 mm					t_s = 4,0 mm				
		PRd [kN] przy obciążeniu na długości ss [mm]									
		0	**50**	**100**	**150**	**200**	**0**	**50**	**100**	**150**	**200**
t_f [mm]	**10**	63,9	128	192	256	320	85	170	256	341	426
	12	76,7	141	204	268	332	102	187	273	358	443
	15	95,9	160	224	288	351	128	213	298	383	469
	20	128	192	256	320	383	170	256	341	426	511
	25	160	224	288	351	415	213	298	383	469	554
	30	192	256	320	383	447	256	341	426	511	596

f_{yw} = 355MPa

		WTE					WTF				
		t_s = 5,0 mm					t_s = 6,0 mm				
		PRd [kN] przy obciążeniu na długości ss [mm]									
		0	**50**	**100**	**150**	**200**	**0**	**50**	**100**	**150**	**200**
t_f [mm]	**10**	107	213	320	426	533	128	256	383	511	639
	12	128	234	341	447	554	153	281	409	537	665
	15	160	266	373	479	586	192	320	447	575	703
	20	213	320	426	533	639	256	383	511	639	767
	25	266	373	479	586	692	320	447	575	703	831
	30	320	426	533	639	746	383	511	639	767	895

Załącznik 5. Obciążenie skupione za pomocą żeberka

(wg p.4.4 rozdział 1)

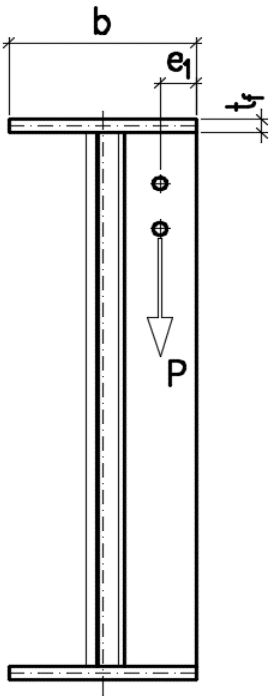

- równe wymiary pasów
- e1 = 40mm
- $\gamma = 2{,}5$
- $\eta = 0{,}5$ (żeberko przyspawane do obu pasów)

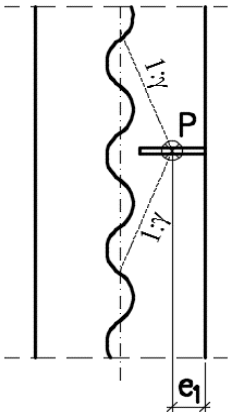

f_y = 235MPa		P [kN] przy wykorzystaniu nośności pasa α							
		30%	**40%**	**50%**	**60%**	**70%**	**80%**	**90%**	**99%**
grubość pasa t_f [mm]	**10**	31,9	28,9	25,5	21,7	17,4	12,6	6,91	0,77
	12	45,9	41,6	36,7	31,2	25,1	18,1	9,95	1,11
	15	71,7	64,9	57,3	48,8	39,2	28,3	15,5	1,74
	20	127	115	102	86,6	69,6	50,2	27,6	3,09
	25	198	180	159	135	109	78,4	43,1	4,82
	30	285	258	228	194	156	113	62,0	6,94

f_y = 355MPa		P [kN] przy wykorzystaniu nośności pasa α							
		30%	**40%**	**50%**	**60%**	**70%**	**80%**	**90%**	**99%**
grubość pasa t_f [mm]	**10**	48,2	43,7	38,5	32,8	26,3	19,0	10,4	1,17
	12	69,4	62,8	55,5	47,2	37,9	27,3	15,0	1,68
	15	108	98,2	86,6	73,7	59,2	42,7	23,5	2,62
	20	193	174	154	131	105	75,9	41,7	4,66
	25	301	272	240	204	164	118	65,2	7,29
	30	432	391	346	294	236	170	93,8	10,5

Załącznik 6. Naprężenia ściskające w betonie
(wg p.4.5 rozdział 1)

konstrukcja blachy podstawy słupa
> c

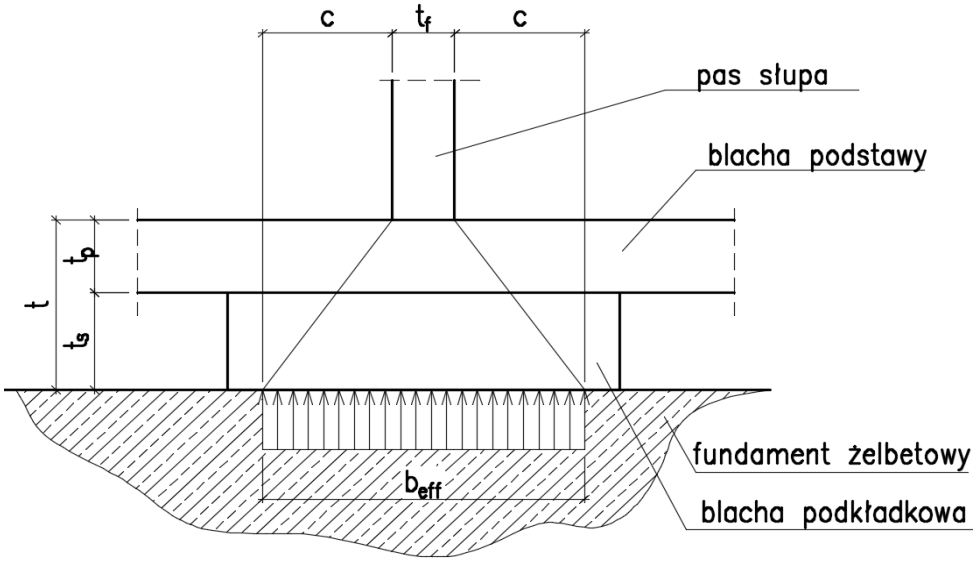

konstrukcja blachy podstawy słupa
a = t_f

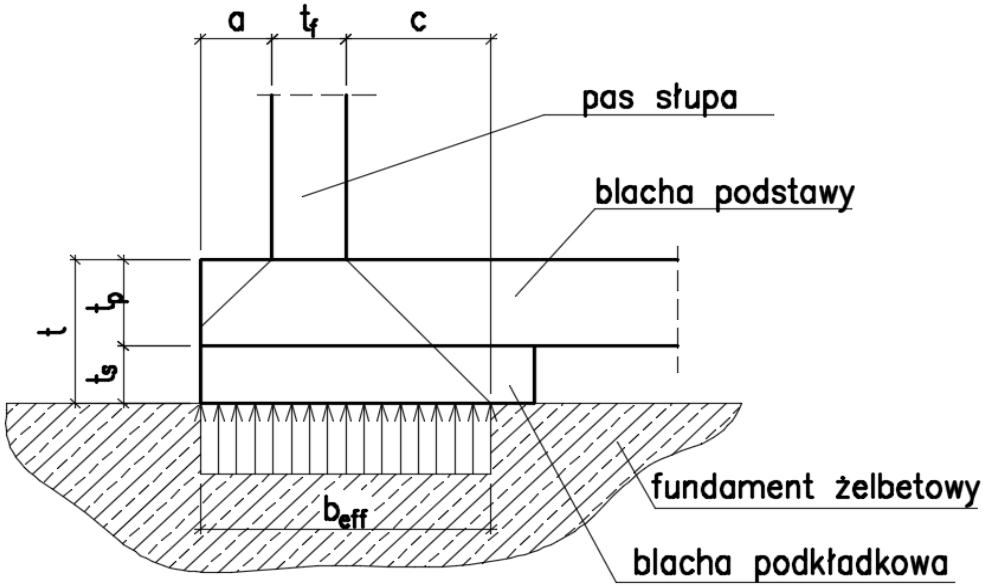

bl. podstawy + bl. podkł.		**zasięg blachy na zewnatrz > c**						beton f_{ck} = **20** N/mm²									
								stal pasa słupa f_y = **235** N/mm²									
	t_f [mm]	**10**			**12**			**15**			**20**			**25**			**30**		
$t = t_p + t_s$	c	b_{eff}	$F_{C,Rd}$	μ	b_{eff}	$F_{C,Rd}$	μ	b_{eff}	$F_{C,Rd}$	μ	b_{eff}	$F_{C,Rd}$	μ	b_{eff}	$F_{C,Rd}$	μ	b_{eff}	$F_{C,Rd}$	μ
[mm]	[mm]	[mm]	[N/mm]	[%]	[mm]	[N/mm]	[%]	[mm]	[N/mm]	[%]	[mm]	[N/mm]	[%]	[mm]	[N/mm]	[%]	[mm]	[N/mm]	[%]
15	25,7	61,4	1 638	**70**	63,4	1 691	**60**	66,4	1 771	**50**	71	1 904	**41**	76	2 038	**35**	81	2 171	**31**
20	34,3	78,6	2 095	**89**	80,6	2 148	**76**	84	2 228	**63**	89	2 362	**50**	94	2 495	**42**	99	2 628	**37**
25	42,8	95,7	2 552	100	97,7	2 605	**92**	101	2 685	**76**	106	2 819	**60**	111	2 952	**50**	116	3 085	**44**
30	51,4	112,8	3 009	100	114,8	3 062	100	118	3 142	**89**	123	3 276	**70**	128	3 409	**58**	133	3 542	**50**
35	60,0	130,0	3 466	100	132	3 519	100	135	3 599	100	140	3 733	**79**	145	3 866	**66**	150	3 999	**57**
40	68,6	147,1	3 923	100	149	3 976	100	152	4 056	100	157	4 190	**89**	162	4 323	**74**	167	4 456	**63**
45	77,1	164,3	4 380	100	166	4 433	100	169	4 513	100	174	4 647	**99**	179	4 780	**81**	184	4 913	**70**
50	85,7	181	4 837	100	183	4 890	100	186	4 970	100	191	5 104	100	196	5 237	**89**	201	5 370	**76**
55	94,3	199	5 294	100	201	5 347	100	204	5 427	100	209	5 561	100	214	5 694	**97**	219	5 827	**83**
60	102,8	216	5 751	100	218	5 805	100	221	5 885	100	226	6 018	100	231	6 151	100	236	6 285	**89**
65	111,4	233	6 208	100	235	6 262	100	238	6 342	100	243	6 475	100	248	6 608	100	253	6 742	**96**
70	120,0	250	6 665	100	252	6 719	100	255	6 799	100	260	6 932	100	265	7 065	100	270	7 199	100

μ - max możliwe wykorzystanie naprężeń pasa tf

bl. podstawy + bl. podst.		**zasięg blachy na zewnatrz a = t_f**						beton f_{ck} = **20** N/mm²									
								stal pasa słupa f_y = **235** N/mm²									
	t_f [mm]	**10**			**12**			**15**			**20**			**25**			**30**		
t = tp+ts	c	b_{eff}	$F_{C,Rd}$	μ	b_{eff}	$F_{C,Rd}$	μ	b_{eff}	$F_{C,Rd}$	μ	b_{eff}	$F_{C,Rd}$	μ	b_{eff}	$F_{C,Rd}$	μ	b_{eff}	$F_{C,Rd}$	μ
[mm]	[mm]	[mm]	[N/mm]	[%]	[mm]	[N/mm]	[%]	[mm]	[N/mm]	[%]	[mm]	[N/mm]	[%]	[mm]	[N/mm]	[%]	[mm]	[N/mm]	[%]
15	25,7	45,7	1 219	**52**	49,7	1 326	**47**	55,7	1 486	**42**	66	1 752	**37**	76	2 019	**34**	86	2 286	**32**
20	34,3	54,3	1 447	**62**	58,3	1 554	**55**	64	1 714	**49**	74	1 981	**42**	84	2 247	**38**	94	2 514	**36**
25	42,8	62,8	1 676	**71**	66,8	1 783	**63**	73	1 943	**55**	83	2 209	**47**	93	2 476	**42**	103	2 743	**39**
30	51,4	71,4	1 904	**81**	75,4	2 011	**71**	81	2 171	**62**	91	2 438	**52**	101	2 704	**46**	111	2 971	**42**
35	60,0	80,0	2 133	**91**	84	2 240	**79**	90	2 400	**68**	100	2 666	**57**	110	2 933	**50**	120	3 200	**45**
40	68,6	88,6	2 362	100	93	2 468	**88**	99	2 628	**75**	109	2 895	**62**	119	3 162	**54**	129	3 428	**49**
45	77,1	97,1	2 590	100	101	2 697	**96**	107	2 857	**81**	117	3 123	**66**	127	3 390	**58**	137	3 657	**52**
50	85,7	106	2 819	100	110	2 925	100	116	3 085	**88**	126	3 352	**71**	136	3 619	**62**	146	3 885	**55**
55	94,3	114	3 047	100	118	3 154	100	124	3 314	**94**	134	3 580	**76**	144	3 847	**65**	154	4 114	**58**
60	103	123	3 276	100	127	3 382	100	133	3 542	100	143	3 809	**81**	153	4 076	**69**	163	4 342	**62**
65	111	131	3 504	100	135	3 611	100	141	3 771	100	151	4 037	**86**	161	4 304	**73**	171	4 571	**65**
70	120	140	3 733	100	144	3 839	100	150	3 999	100	160	4 266	**91**	170	4 533	**77**	180	4 799	**68**
75	129	148,5	3 961	100	152,5	4 068	100	158,5	4 228	100	169	4 494	**96**	179	4 761	**81**	189	5 028	**71**
80	137	157,1	4 190	100	161,1	4 296	100	167	4 456	100	177	4 723	100	187	4 990	**85**	197	5 256	**75**
85	146	165,7	4 418	100	169,7	4 525	100	176	4 685	100	186	4 952	100	196	5 218	**89**	206	5 485	**78**

μ - max możliwe wykorzystanie naprężeń pasa tf

bl. podstawy + bl. podkł.		zasięg blachy na zewnatrz > c						beton f_{ck} = 25 N/mm²												μ - max możliwe wykorzystanie naprężeń pasa tf
	t_f [mm]	10			12			15			20			25			30			
$t = t_p+t_s$	c	b_{eff}	$F_{C,Rd}$	μ	b_{eff}	$F_{C,Rd}$	μ	b_{eff}	$F_{C,Rd}$	μ	b_{eff}	$F_{C,Rd}$	μ	b_{eff}	$F_{C,Rd}$	μ	b_{eff}	$F_{C,Rd}$	μ	
[mm]	[mm]	[mm]	[N/mm]	[%]	[mm]	[N/mm]	[%]	[mm]	[N/mm]	[%]	[mm]	[N/mm]	[%]	[mm]	[N/mm]	[%]	[mm]	[N/mm]	[%]	
15	23,0	56,0	1 866	**79**	58,0	1 933	**69**	61,0	2 033	**58**	66,0	2 200	**47**	71,0	2 366	**40**	76,0	2 533	**36**	
20	30,7	71,3	2 377	100	73,3	2 444	**87**	76,3	2 544	**72**	81,3	2 711	**58**	86,3	2 877	**49**	91,3	3 044	**43**	
25	38,3	86,6	2 888	100	88,6	2 955	100	91,6	3 055	**87**	96,6	3 222	**69**	101,6	3 388	**58**	106,6	3 555	**50**	
30	46,0	102,0	3 399	100	104,0	3 466	100	107,0	3 566	100	112,0	3 733	**79**	117,0	3 899	**66**	122,0	4 066	**58**	
35	53,7	117,3	3 910	100	119,3	3 977	100	122,3	4 077	100	127,3	4 244	**90**	132,3	4 410	**75**	137,3	4 577	**65**	
40	61,3	132,6	4 421	100	134,6	4 488	100	137,6	4 588	100	142,6	4 755	100	147,6	4 921	**84**	152,6	5 088	**72**	
45	69,0	148,0	4 932	100	150,0	4 999	100	153,0	5 099	100	158,0	5 266	100	163,0	5 432	**92**	168,0	5 599	**79**	
50	76,6	163,3	5 443	100	165,3	5 510	100	168,3	5 610	100	173,3	5 777	100	178,3	5 943	100	183,3	6 110	**87**	
55	84,3	178,6	5 954	100	180,6	6 021	100	183,6	6 121	100	188,6	6 288	100	193,6	6 454	100	198,6	6 621	**94**	
60	92,0	194,0	6 465	100	196,0	6 532	100	199,0	6 632	100	204,0	6 799	100	209,0	6 965	100	214,0	7 132	100	
65	99,6	209,3	6 976	100	211,3	7 043	100	214,3	7 143	100	219,3	7 310	100	224,3	7 476	100	229,3	7 643	100	
70	107,3	224,6	7 487	100	226,6	7 554	100	229,6	7 654	100	234,6	7 821	100	239,6	7 987	100	244,6	8 154	100	

bl. podstawy + bl. podst.		zasięg blachy na zewnatrz a = t_f						beton f_{ck} = 25 N/mm²												μ - max możliwe wykorzystanie naprężeń pasa tf
	t_f [mm]	10			12			15			20			25			30			
t = tp+ts	c	b_{eff}	$F_{C,Rd}$	μ	b_{eff}	$F_{C,Rd}$	μ	b_{eff}	$F_{C,Rd}$	μ	b_{eff}	$F_{C,Rd}$	μ	b_{eff}	$F_{C,Rd}$	μ	b_{eff}	$F_{C,Rd}$	μ	
[mm]	[mm]	[mm]	[N/mm]	[%]	[mm]	[N/mm]	[%]	[mm]	[N/mm]	[%]	[mm]	[N/mm]	[%]	[mm]	[N/mm]	[%]	[mm]	[N/mm]	[%]	
15	23,0	43,0	1 433	**61**	47,0	1 566	**56**	53,0	1 766	**50**	63,0	2 100	**45**	73,0	2 433	**41**	83,0	2 766	**39**	
20	30,7	50,7	1 689	**72**	54,7	1 822	**65**	60,7	2 022	**57**	70,7	2 355	**50**	80,7	2 689	**46**	90,7	3 022	**43**	
25	38,3	58,3	1 944	**83**	62,3	2 077	**74**	68,3	2 277	**65**	78,3	2 611	**56**	88,3	2 944	**50**	98,3	3 277	**46**	
30	46,0	66,0	2 200	**94**	70,0	2 333	**83**	76,0	2 533	**72**	86,0	2 866	**61**	96,0	3 200	**54**	106,0	3 533	**50**	
35	53,7	73,7	2 455	100	77,7	2 588	**92**	83,7	2 788	**79**	93,7	3 122	**66**	103,7	3 455	**59**	113,7	3 788	**54**	
40	61,3	81,3	2 711	100	85,3	2 844	100	91,3	3 044	**86**	101,3	3 377	**72**	111,3	3 711	**63**	121,3	4 044	**57**	
45	69,0	89,0	2 966	100	93,0	3 099	100	99,0	3 299	**94**	109,0	3 633	**77**	119,0	3 966	**68**	129,0	4 299	**61**	
50	76,6	96,6	3 222	100	100,6	3 355	100	106,6	3 555	100	116,6	3 888	**83**	126,6	4 222	**72**	136,6	4 555	**65**	
55	84,3	104,3	3 477	100	108,3	3 610	100	114,3	3 810	100	124,3	4 144	**88**	134,3	4 477	**76**	144,3	4 810	**68**	
60	92,0	112,0	3 733	100	116,0	3 866	100	122,0	4 066	100	132,0	4 399	**94**	142,0	4 733	**81**	152,0	5 066	**72**	
65	99,6	119,6	3 988	100	123,6	4 121	100	129,6	4 321	100	139,6	4 655	**99**	149,6	4 988	**85**	159,6	5 321	**75**	
70	107,3	127,3	4 244	100	131,3	4 377	100	137,3	4 577	100	147,3	4 910	100	157,3	5 244	**89**	167,3	5 577	**79**	
75	115,0	135,0	4 499	100	139,0	4 632	100	145,0	4 832	100	155,0	5 166	100	165,0	5 499	**94**	175,0	5 832	**83**	
80	122,6	142,6	4 755	100	146,6	4 888	100	152,6	5 088	100	162,6	5 421	100	172,6	5 755	**98**	182,6	6 088	**86**	
85	130,3	150,3	5 010	100	154,3	5 143	100	160,3	5 343	100	170,3	5 677	100	180,3	6 010	100	190,3	6 343	**90**	

bl. podstawy + bl. podkł.		**zasięg blachy na zewnatrz > c**						beton f_{ck} = 20 N/mm²														
								stal pasa słupa f_y = 355 N/mm²														
	t_f [mm]	**10**			**12**			**15**			**20**			**25**			**30**			μ - max możliwe wykorzystanie naprężeń pasa tf		
t = t_p+t_s	c	b_{eff}	$F_{C,Rd}$	μ	b_{eff}	$F_{C,Rd}$	μ	b_{eff}	$F_{C,Rd}$	μ	b_{eff}	$F_{C,Rd}$	μ	b_{eff}	$F_{C,Rd}$	μ	b_{eff}	$F_{C,Rd}$	μ			
[mm]	[mm]	[mm]	[N/mm]	[%]	[mm]	[N/mm]	[%]	[mm]	[N/mm]	[%]	[mm]	[N/mm]	[%]	[mm]	[N/mm]	[%]	[mm]	[N/mm]	[%]			
15	31,6	73,2	1 952	**55**	75,2	2 005	**47**	78,2	2 085	**39**	83,2	2 219	**31**	88,2	2 352	**27**	93,2	2 485	**23**			
20	42,1	94,3	2 514	**71**	96,3	2 567	**60**	99,3	2 647	**50**	104,3	2 780	**39**	109,3	2 914	**33**	114,3	3 047	**29**			
25	52,7	115,3	3 075	**87**	117,3	3 129	**73**	120,3	3 209	**60**	125,3	3 342	**47**	130,3	3 475	**39**	135,3	3 609	**34**			
30	63,2	136,4	3 637	100	138,4	3 690	**87**	141,4	3 770	**71**	146,4	3 904	**55**	151,4	4 037	**45**	156,4	4 170	**39**			
35	73,7	157,5	4 199	100	159,5	4 252	100	162,5	4 332	**81**	167,5	4 466	**63**	172,5	4 599	**52**	177,5	4 732	**44**			
40	84,3	178,5	4 761	100	180,5	4 814	100	183,5	4 894	**92**	188,5	5 027	**71**	193,5	5 161	**58**	198,5	5 294	**50**			
45	94,8	199,6	5 322	100	201,6	5 376	100	204,6	5 456	100	209,6	5 589	**79**	214,6	5 722	**64**	219,6	5 856	**55**			
50	105,3	220,7	5 884	100	222,7	5 937	100	225,7	6 017	100	230,7	6 151	**87**	235,7	6 284	**71**	240,7	6 417	**60**			
55	115,9	241,7	6 446	100	243,7	6 499	100	246,7	6 579	100	251,7	6 713	**95**	256,7	6 846	**77**	261,7	6 979	**66**			
60	126,4	262,8	7 008	100	264,8	7 061	100	267,8	7 141	100	272,8	7 274	100	277,8	7 408	**83**	282,8	7 541	**71**			
65	136,9	283,8	7 569	100	285,8	7 623	100	288,8	7 703	100	293,8	7 836	100	298,8	7 969	**90**	303,8	8 103	**76**			
70	147,5	304,9	8 131	100	306,9	8 184	100	309,9	8 264	100	314,9	8 398	100	319,9	8 531	**96**	324,9	8 664	**81**			

bl. podstawy + bl. podst.		**zasięg blachy na zewnatrz a = t_f**						beton f_{ck} = 20 N/mm²														
								stal pasa słupa f_y = 355 N/mm²														
	t_f [mm]	**10**			**12**			**15**			**20**			**25**			**30**			μ - max możliwe wykorzystanie naprężeń pasa tf		
t = tp+ts	c	b_{eff}	$F_{C,Rd}$	μ	b_{eff}	$F_{C,Rd}$	μ	b_{eff}	$F_{C,Rd}$	μ	b_{eff}	$F_{C,Rd}$	μ	b_{eff}	$F_{C,Rd}$	μ	b_{eff}	$F_{C,Rd}$	μ			
[mm]	[mm]	[mm]	[N/mm]	[%]	[mm]	[N/mm]	[%]	[mm]	[N/mm]	[%]	[mm]	[N/mm]	[%]	[mm]	[N/mm]	[%]	[mm]	[N/mm]	[%]			
15	31,6	51,6	1 376	**39**	55,6	1 483	**35**	61,6	1 643	**31**	71,6	1 909	**27**	81,6	2 176	**25**	91,6	2 443	**23**			
20	42,1	62,1	1 657	**47**	66,1	1 763	**41**	72,1	1 923	**36**	82,1	2 190	**31**	92,1	2 457	**28**	102,1	2 723	**26**			
25	52,7	72,7	1 938	**55**	76,7	2 044	**48**	82,7	2 204	**41**	92,7	2 471	**35**	102,7	2 738	**31**	112,7	3 004	**28**			
30	63,2	83,2	2 219	**62**	87,2	2 325	**55**	93,2	2 485	**47**	103,2	2 752	**39**	113,2	3 019	**34**	123,2	3 285	**31**			
35	73,7	93,7	2 499	**70**	97,7	2 606	**61**	103,7	2 766	**52**	113,7	3 033	**43**	123,7	3 299	**37**	133,7	3 566	**33**			
40	84,3	104,3	2 780	**78**	108,3	2 887	**68**	114,3	3 047	**57**	124,3	3 314	**47**	134,3	3 580	**40**	144,3	3 847	**36**			
45	94,8	114,8	3 061	**86**	118,8	3 168	**74**	124,8	3 328	**62**	134,8	3 595	**51**	144,8	3 861	**44**	154,8	4 128	**39**			
50	105,3	125,3	3 342	**94**	129,3	3 449	**81**	135,3	3 609	**68**	145,3	3 875	**55**	155,3	4 142	**47**	165,3	4 409	**41**			
55	115,9	135,9	3 623	100	139,9	3 730	**88**	145,9	3 890	**73**	155,9	4 156	**59**	165,9	4 423	**50**	175,9	4 690	**44**			
60	126,4	146,4	3 904	100	150,4	4 010	**94**	156,4	4 170	**78**	166,4	4 437	**62**	176,4	4 704	**53**	186,4	4 970	**47**			
65	136,9	156,9	4 185	100	160,9	4 291	100	166,9	4 451	**84**	176,9	4 718	**66**	186,9	4 985	**56**	196,9	5 251	**49**			
70	147,5	167,5	4 466	100	171,5	4 572	100	177,5	4 732	**89**	187,5	4 999	**70**	197,5	5 266	**59**	207,5	5 532	**52**			
75	158,0	178,0	4 746	100	182,0	4 853	100	188,0	5 013	**94**	198,0	5 280	**74**	208,0	5 546	**62**	218,0	5 813	**55**			
80	168,5	188,5	5 027	100	192,5	5 134	100	198,5	5 294	**99**	208,5	5 561	**78**	218,5	5 827	**66**	228,5	6 094	**57**			
85	179,1	199,1	5 308	100	203,1	5 415	100	209,1	5 575	100	219,1	5 841	**82**	229,1	6 108	**69**	239,1	6 375	**60**			

bl. podstawy + bl. podkł.		zasięg blachy na zewnatrz > c						beton f_{ck} = 25 N/mm²												μ - max możliwe wykorzystanie naprężeń pasa tf		
	t_f [mm]	10			12			15			20			25			30					
$t = t_p + t_s$	c	b_{eff}	$F_{C,Rd}$	μ	b_{eff}	$F_{C,Rd}$	μ	b_{eff}	$F_{C,Rd}$	μ	b_{eff}	$F_{C,Rd}$	μ	b_{eff}	$F_{C,Rd}$	μ	b_{eff}	$F_{C,Rd}$	μ			
[mm]	[mm]	[mm]	[N/mm]	[%]	[mm]	[N/mm]	[%]	[mm]	[N/mm]	[%]	[mm]	[N/mm]	[%]	[mm]	[N/mm]	[%]	[mm]	[N/mm]	[%]			
15	28,3	66,5	2 217	**62**	68,5	2 284	**54**	71,5	2 384	**45**	76,5	2 551	**36**	81,5	2 717	**31**	86,5	2 884	**27**			
20	37,7	85,4	2 846	**80**	87,4	2 912	**68**	90,4	3 012	**57**	95,4	3 179	**45**	100,4	3 346	**38**	105,4	3 512	**33**			
25	47,1	104,2	3 474	**98**	106,2	3 540	**83**	109,2	3 640	**68**	114,2	3 807	**54**	119,2	3 974	**45**	124,2	4 140	**39**			
30	56,5	123,0	4 102	100	125,0	4 168	**98**	128,0	4 268	**80**	133,0	4 435	**62**	138,0	4 602	**52**	143,0	4 768	**45**			
35	65,9	141,9	4 730	100	143,9	4 796	100	146,9	4 896	**92**	151,9	5 063	**71**	156,9	5 230	**59**	161,9	5 396	**51**			
40	75,4	160,7	5 358	100	162,7	5 424	100	165,7	5 524	100	170,7	5 691	**80**	175,7	5 858	**66**	180,7	6 024	**57**			
45	84,8	179,6	5 986	100	181,6	6 052	100	184,6	6 152	100	189,6	6 319	**89**	194,6	6 486	**73**	199,6	6 652	**62**			
50	94,2	198,4	6 614	100	200,4	6 680	100	203,4	6 780	100	208,4	6 947	**98**	213,4	7 114	**80**	218,4	7 280	**68**			
55	103,6	217,3	7 242	100	219,3	7 309	100	222,3	7 409	100	227,3	7 575	100	232,3	7 742	**87**	237,3	7 909	**74**			
60	113,0	236,1	7 870	100	238,1	7 937	100	241,1	8 037	100	246,1	8 203	100	251,1	8 370	**94**	256,1	8 537	**80**			
65	122,5	254,9	8 498	100	256,9	8 565	100	259,9	8 665	100	264,9	8 831	100	269,9	8 998	100	274,9	9 165	**86**			
70	131,9	273,8	9 126	100	275,8	9 193	100	278,8	9 293	100	283,8	9 459	100	288,8	9 626	100	293,8	9 793	**92**			

bl. podstawy + bl. podst.		zasięg blachy na zewnatrz a = t_f						beton f_{ck} = 25 N/mm²												μ - max możliwe wykorzystanie naprężeń pasa tf		
	t_f [mm]	10			12			15			20			25			30					
t = tp+ts	c	b_{eff}	$F_{C,Rd}$	μ	b_{eff}	$F_{C,Rd}$	μ	b_{eff}	$F_{C,Rd}$	μ	b_{eff}	$F_{C,Rd}$	μ	b_{eff}	$F_{C,Rd}$	μ	b_{eff}	$F_{C,Rd}$	μ			
[mm]	[mm]	[mm]	[N/mm]	[%]	[mm]	[N/mm]	[%]	[mm]	[N/mm]	[%]	[mm]	[N/mm]	[%]	[mm]	[N/mm]	[%]	[mm]	[N/mm]	[%]			
15	28,3	48,3	1 609	**45**	52,3	1 742	**41**	58,3	1 942	**36**	68,3	2 275	**32**	78,3	2 609	**29**	88,3	2 942	**28**			
20	37,7	57,7	1 923	**54**	61,7	2 056	**48**	67,7	2 256	**42**	77,7	2 589	**36**	87,7	2 923	**33**	97,7	3 256	**31**			
25	47,1	67,1	2 237	**63**	71,1	2 370	**56**	77,1	2 570	**48**	87,1	2 903	**41**	97,1	3 237	**36**	107,1	3 570	**34**			
30	56,5	76,5	2 551	**72**	80,5	2 684	**63**	86,5	2 884	**54**	96,5	3 217	**45**	106,5	3 551	**40**	116,5	3 884	**36**			
35	65,9	85,9	2 865	**81**	89,9	2 998	**70**	95,9	3 198	**60**	105,9	3 532	**50**	115,9	3 865	**44**	125,9	4 198	**39**			
40	75,4	95,4	3 179	**90**	99,4	3 312	**78**	105,4	3 512	**66**	115,4	3 846	**54**	125,4	4 179	**47**	135,4	4 512	**42**			
45	84,8	104,8	3 493	**98**	108,8	3 626	**85**	114,8	3 826	**72**	124,8	4 160	**59**	134,8	4 493	**51**	144,8	4 826	**45**			
50	94,2	114,2	3 807	100	118,2	3 940	**92**	124,2	4 140	**78**	134,2	4 474	**63**	144,2	4 807	**54**	154,2	5 140	**48**			
55	103,6	123,6	4 121	100	127,6	4 254	100	133,6	4 454	**84**	143,6	4 788	**67**	153,6	5 121	**58**	163,6	5 454	**51**			
60	113,0	133,0	4 435	100	137,0	4 568	100	143,0	4 768	**90**	153,0	5 102	**72**	163,0	5 435	**61**	173,0	5 768	**54**			
65	122,5	142,5	4 749	100	146,5	4 882	100	152,5	5 082	**95**	162,5	5 416	**76**	172,5	5 749	**65**	182,5	6 082	**57**			
70	131,9	151,9	5 063	100	155,9	5 196	100	161,9	5 396	100	171,9	5 730	**81**	181,9	6 063	**68**	191,9	6 396	**60**			
75	141,3	161,3	5 377	100	165,3	5 510	100	171,3	5 710	100	181,3	6 044	**85**	191,3	6 377	**72**	201,3	6 710	**63**			
80	150,7	170,7	5 691	100	174,7	5 824	100	180,7	6 024	100	190,7	6 358	**90**	200,7	6 691	**75**	210,7	7 024	**66**			
85	160,2	180,2	6 005	100	184,2	6 138	100	190,2	6 338	100	200,2	6 672	**94**	210,2	7 005	**79**	220,2	7 338	**69**			

bl. podstawy + bl. podkł.		zasięg blachy na zewnatrz > c						beton f_{ck} = 30 N/mm²												μ - max możliwe wykorzystanie naprężeń pasa tf
	t_f [mm]	10			12			15			20			25			30			
t = t_p+t_s	c	b_{eff}	$F_{C,Rd}$	μ	b_{eff}	$F_{C,Rd}$	μ	b_{eff}	$F_{C,Rd}$	μ	b_{eff}	$F_{C,Rd}$	μ	b_{eff}	$F_{C,Rd}$	μ	b_{eff}	$F_{C,Rd}$	μ	
[mm]	[mm]	[mm]	[N/mm]	[%]	[mm]	[N/mm]	[%]	[mm]	[N/mm]	[%]	[mm]	[N/mm]	[%]	[mm]	[N/mm]	[%]	[mm]	[N/mm]	[%]	
15	25,8	61,6	2 464	**69**	63,6	2 544	**60**	66,6	2 664	**50**	71,6	2 864	**40**	76,6	3 064	**35**	81,6	3 264	**31**	
20	34,4	78,8	3 152	**89**	80,8	3 232	**76**	83,8	3 352	**63**	88,8	3 552	**50**	93,8	3 752	**42**	98,8	3 952	**37**	
25	43,0	96,0	3 840	100	98,0	3 920	**92**	101,0	4 040	**76**	106,0	4 240	**60**	111,0	4 440	**50**	116,0	4 640	**44**	
30	51,6	113,2	4 528	100	115,2	4 608	100	118,2	4 728	**89**	123,2	4 928	**69**	128,2	5 128	**58**	133,2	5 328	**50**	
35	60,2	130,4	5 216	100	132,4	5 296	100	135,4	5 416	100	140,4	5 616	**79**	145,4	5 816	**66**	150,4	6 016	**56**	
40	68,8	147,6	5 904	100	149,6	5 984	100	152,6	6 104	100	157,6	6 304	**89**	162,6	6 504	**73**	167,6	6 704	**63**	
45	77,4	164,8	6 592	100	166,8	6 672	100	169,8	6 792	100	174,8	6 992	**98**	179,8	7 192	**81**	184,8	7 392	**69**	
50	86,0	182,0	7 280	100	184,0	7 360	100	187,0	7 480	100	192,0	7 680	100	197,0	7 880	**89**	202,0	8 080	**76**	
55	94,6	199,2	7 968	100	201,2	8 048	100	204,2	8 168	100	209,2	8 368	100	214,2	8 568	**97**	219,2	8 768	**82**	
60	103,2	216,4	8 656	100	218,4	8 736	100	221,4	8 856	100	226,4	9 056	100	231,4	9 256	100	236,4	9 456	**89**	
65	111,8	233,6	9 344	100	235,6	9 424	100	238,6	9 544	100	243,6	9 744	100	248,6	9 944	100	253,6	10 144	**95**	
70	120,4	250,8	10 032	100	252,8	10 112	100	255,8	10 232	100	260,8	10 432	100	265,8	10 632	100	270,8	10 832	100	

bl. podstawy + bl. podst.		zasięg blachy na zewnatrz a = t_f						beton f_{ck} = 30 N/mm²												μ - max możliwe wykorzystanie naprężeń pasa tf
	t_f [mm]	10			12			15			20			25			30			
t = tp+ts	c	b_{eff}	$F_{C,Rd}$	μ	b_{eff}	$F_{C,Rd}$	μ	b_{eff}	$F_{C,Rd}$	μ	b_{eff}	$F_{C,Rd}$	μ	b_{eff}	$F_{C,Rd}$	μ	b_{eff}	$F_{C,Rd}$	μ	
[mm]	[mm]	[mm]	[N/mm]	[%]	[mm]	[N/mm]	[%]	[mm]	[N/mm]	[%]	[mm]	[N/mm]	[%]	[mm]	[N/mm]	[%]	[mm]	[N/mm]	[%]	
15	25,8	45,8	1 832	**52**	49,8	1 992	**47**	55,8	2 232	**42**	65,8	2 632	**37**	75,8	3 032	**34**	85,8	3 432	**32**	
20	34,4	54,4	2 176	**61**	58,4	2 336	**55**	64,4	2 576	**48**	74,4	2 976	**42**	84,4	3 376	**38**	94,4	3 776	**35**	
25	43,0	63,0	2 520	**71**	67,0	2 680	**63**	73,0	2 920	**55**	83,0	3 320	**47**	93,0	3 720	**42**	103,0	4 120	**39**	
30	51,6	71,6	2 864	**81**	75,6	3 024	**71**	81,6	3 264	**61**	91,6	3 664	**52**	101,6	4 064	**46**	111,6	4 464	**42**	
35	60,2	80,2	3 208	**90**	84,2	3 368	**79**	90,2	3 608	**68**	100,2	4 008	**56**	110,2	4 408	**50**	120,2	4 808	**45**	
40	68,8	88,8	3 552	100	92,8	3 712	**87**	98,8	3 952	**74**	108,8	4 352	**61**	118,8	4 752	**54**	128,8	5 152	**48**	
45	77,4	97,4	3 896	100	101,4	4 056	**95**	107,4	4 296	**81**	117,4	4 696	**66**	127,4	5 096	**57**	137,4	5 496	**52**	
50	86,0	106,0	4 240	100	110,0	4 400	100	116,0	4 640	**87**	126,0	5 040	**71**	136,0	5 440	**61**	146,0	5 840	**55**	
55	94,6	114,6	4 584	100	118,6	4 744	100	124,6	4 984	**94**	134,6	5 384	**76**	144,6	5 784	**65**	154,6	6 184	**58**	
60	103,2	123,2	4 928	100	127,2	5 088	100	133,2	5 328	100	143,2	5 728	**81**	153,2	6 128	**69**	163,2	6 528	**61**	
65	111,8	131,8	5 272	100	135,8	5 432	100	141,8	5 672	100	151,8	6 072	**86**	161,8	6 472	**73**	171,8	6 872	**65**	
70	120,4	140,4	5 616	100	144,4	5 776	100	150,4	6 016	100	160,4	6 416	**90**	170,4	6 816	**77**	180,4	7 216	**68**	
75	129,0	149,0	5 960	100	153,0	6 120	100	159,0	6 360	100	169,0	6 760	**95**	179,0	7 160	**81**	189,0	7 560	**71**	
80	137,6	157,6	6 304	100	161,6	6 464	100	167,6	6 704	100	177,6	7 104	100	187,6	7 504	**85**	197,6	7 904	**74**	
85	146,2	166,2	6 648	100	170,2	6 808	100	176,2	7 048	100	186,2	7 448	100	196,2	7 848	**88**	206,2	8 248	**77**	

bl. podstawy + bl. podkł.		zasięg blachy na zewnatrz > c						beton f_{ck} = 35 N/mm²												μ - max możliwe wykorzystanie naprężeń pasa tf
	t_f [mm]	10			12			15			20			25			30			
t = t_p+t_s	c	b_{eff}	$F_{C,Rd}$	μ	b_{eff}	$F_{C,Rd}$	μ	b_{eff}	$F_{C,Rd}$	μ	b_{eff}	$F_{C,Rd}$	μ	b_{eff}	$F_{C,Rd}$	μ	b_{eff}	$F_{C,Rd}$	μ	
[mm]	[mm]	[mm]	[N/mm]	[%]	[mm]	[N/mm]	[%]	[mm]	[N/mm]	[%]	[mm]	[N/mm]	[%]	[mm]	[N/mm]	[%]	[mm]	[N/mm]	[%]	
15	23,9	57,8	2 696	**76**	59,8	2 789	**65**	62,8	2 929	**55**	67,8	3 163	**45**	72,8	3 396	**38**	77,8	3 629	**34**	
20	31,8	73,7	3 439	**97**	75,7	3 532	**83**	78,7	3 672	**69**	83,7	3 906	**55**	88,7	4 139	**47**	93,7	4 372	**41**	
25	39,8	89,6	4 182	100	91,6	4 276	100	94,6	4 416	**83**	99,6	4 649	**65**	104,6	4 882	**55**	109,6	5 116	**48**	
30	47,8	105,5	4 925	100	107,5	5 019	100	110,5	5 159	**97**	115,5	5 392	**76**	120,5	5 625	**63**	125,5	5 859	**55**	
35	55,7	121,5	5 668	100	123,5	5 762	100	126,5	5 902	100	131,5	6 135	**86**	136,5	6 368	**72**	141,5	6 602	**62**	
40	63,7	137,4	6 412	100	139,4	6 505	100	142,4	6 645	100	147,4	6 878	**97**	152,4	7 112	**80**	157,4	7 345	**69**	
45	71,7	153,3	7 155	100	155,3	7 248	100	158,3	7 388	100	163,3	7 621	100	168,3	7 855	**89**	173,3	8 088	**76**	
50	79,6	169,2	7 898	100	171,2	7 991	100	174,2	8 131	100	179,2	8 364	100	184,2	8 598	**97**	189,2	8 831	**83**	
55	87,6	185,2	8 641	100	187,2	8 734	100	190,2	8 874	100	195,2	9 108	100	200,2	9 341	100	205,2	9 574	**90**	
60	95,5	201,1	9 384	100	203,1	9 477	100	206,1	9 617	100	211,1	9 851	100	216,1	10 084	100	221,1	10 317	**97**	
65	103,5	217,0	10 127	100	219,0	10 221	100	222,0	10 361	100	227,0	10 594	100	232,0	10 827	100	237,0	11 061	100	
70	111,5	232,9	10 870	100	234,9	10 964	100	237,9	11 104	100	242,9	11 337	100	247,9	11 570	100	252,9	11 804	100	

bl. podstawy + bl. podst.		zasięg blachy na zewnatrz a = t_f						beton f_{ck} = 35 N/mm²												μ - max możliwe wykorzystanie naprężeń pasa tf
	t_f [mm]	10			12			15			20			25			30			
t = tp+ts	c	b_{eff}	$F_{C,Rd}$	μ	b_{eff}	$F_{C,Rd}$	μ	b_{eff}	$F_{C,Rd}$	μ	b_{eff}	$F_{C,Rd}$	μ	b_{eff}	$F_{C,Rd}$	μ	b_{eff}	$F_{C,Rd}$	μ	
[mm]	[mm]	[mm]	[N/mm]	[%]	[mm]	[N/mm]	[%]	[mm]	[N/mm]	[%]	[mm]	[N/mm]	[%]	[mm]	[N/mm]	[%]	[mm]	[N/mm]	[%]	
15	23,9	43,9	2 048	**58**	47,9	2 235	**52**	53,9	2 515	**47**	63,9	2 981	**42**	73,9	3 448	**39**	83,9	3 915	**37**	
20	31,8	51,8	2 420	**68**	55,8	2 606	**61**	61,8	2 886	**54**	71,8	3 353	**47**	81,8	3 820	**43**	91,8	4 286	**40**	
25	39,8	59,8	2 791	**79**	63,8	2 978	**70**	69,8	3 258	**61**	79,8	3 724	**52**	89,8	4 191	**47**	99,8	4 658	**44**	
30	47,8	67,8	3 163	**89**	71,8	3 349	**79**	77,8	3 629	**68**	87,8	4 096	**58**	97,8	4 563	**51**	107,8	5 029	**47**	
35	55,7	75,7	3 534	100	79,7	3 721	**87**	85,7	4 001	**75**	95,7	4 468	**63**	105,7	4 934	**56**	115,7	5 401	**51**	
40	63,7	83,7	3 906	100	87,7	4 092	**96**	93,7	4 372	**82**	103,7	4 839	**68**	113,7	5 306	**60**	123,7	5 772	**54**	
45	71,7	91,7	4 277	100	95,7	4 464	100	101,7	4 744	**89**	111,7	5 211	**73**	121,7	5 677	**64**	131,7	6 144	**58**	
50	79,6	99,6	4 649	100	103,6	4 836	100	109,6	5 116	**96**	119,6	5 582	**79**	129,6	6 049	**68**	139,6	6 516	**61**	
55	87,6	107,6	5 020	100	111,6	5 207	100	117,6	5 487	100	127,6	5 954	**84**	137,6	6 420	**72**	147,6	6 887	**65**	
60	95,5	115,5	5 392	100	119,5	5 579	100	125,5	5 859	100	135,5	6 325	**89**	145,5	6 792	**77**	155,5	7 259	**68**	
65	103,5	123,5	5 764	100	127,5	5 950	100	133,5	6 230	100	143,5	6 697	**94**	153,5	7 164	**81**	163,5	7 630	**72**	
70	111,5	131,5	6 135	100	135,5	6 322	100	141,5	6 602	100	151,5	7 068	100	161,5	7 535	**85**	171,5	8 002	**75**	
75	119,4	139,4	6 507	100	143,4	6 693	100	149,4	6 973	100	159,4	7 440	100	169,4	7 907	**89**	179,4	8 373	**79**	
80	127,4	147,4	6 878	100	151,4	7 065	100	157,4	7 345	100	167,4	7 812	100	177,4	8 278	**93**	187,4	8 745	**82**	
85	135,4	155,4	7 250	100	159,4	7 436	100	165,4	7 716	100	175,4	8 183	100	185,4	8 650	**97**	195,4	9 116	**86**	

ROZDZIAŁ 3

Detale

Stahlkonstruktionen Zeman Bogensysteme Hallenbau	TEMAT SIN STANDARD DOKUMENTACJA TECHNICZNA	ARKUSZ 1	ZMIANA —	DATA ZMIANY .
	TYTUŁ GEOMETRIA PROFILI SIN	NAZWISKO Wojtusik	SKALA	DATA 01.08.18

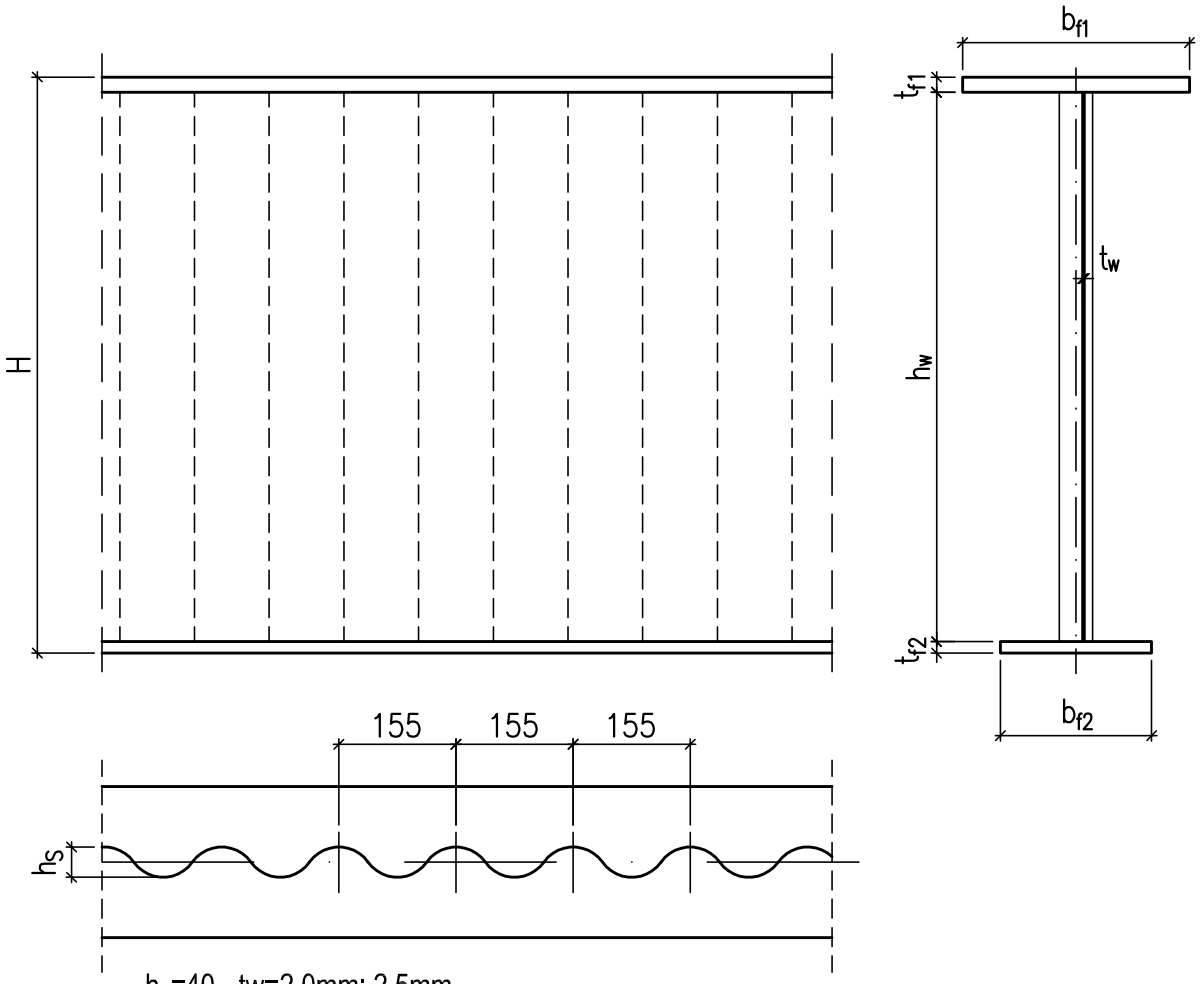

h_S=40 - tw=2,0mm; 2,5mm
h_S=43 - tw=3,0mm

Geometria:

Wysokości środnika:	333, 500, 625, 750, 1000, 1250, 1500
Grubości środnika:	2.0mm, 2.5mm, 3.0mm (4.0mm, 5.0mm, 6.0mm na specjalne zamówienie - patrz uwaga niżej)
Szerokości pasów:	160mm - 450mm
Grubości pasów:	8mm - 30mm
Długości:	4000mm - 16400mm

Materiały:

Pasy: S235JR lub S355J2+N wg EN 10 025

Środnik: S235JR

UWAGA: Inne rodzaje stali są traktowane jako specjalne. Możliwe jest zastosowanie stali S355J2+N dla środników o grubości 3mm (i więcej). Ten fakt musi być jasno opisany w dokumentacji warsztatowej czyli na rysunkach warsztatowych oraz na listach materiałowych. Dla specjalnych rodzajów stali lub grubszych środników należy wziąć pod uwagę dodatkowe koszty związane z produkcją jak dodatkowe cięcie środnika, odpad materiału oraz minimalne ilości mogące zostać zrealizowane w zamówieniu. Wiąże się z tym również dłuższy czas wykonania i dostawy gotowej konstrukcji na miejsce montażu.

Stahlkonstruktionen Zeman Bogensysteme Hallenbau	TEMAT SIN STANDARD DOKUMENTACJA TECHNICZNA	ARKUSZ 2	ZMIANA –	DATA ZMIANY .
	TYTUŁ GEOMETRIA PROFILI ZBIEŻNYCH	NAZWISKO Wojtusik	SKALA	DATA 01.08.18

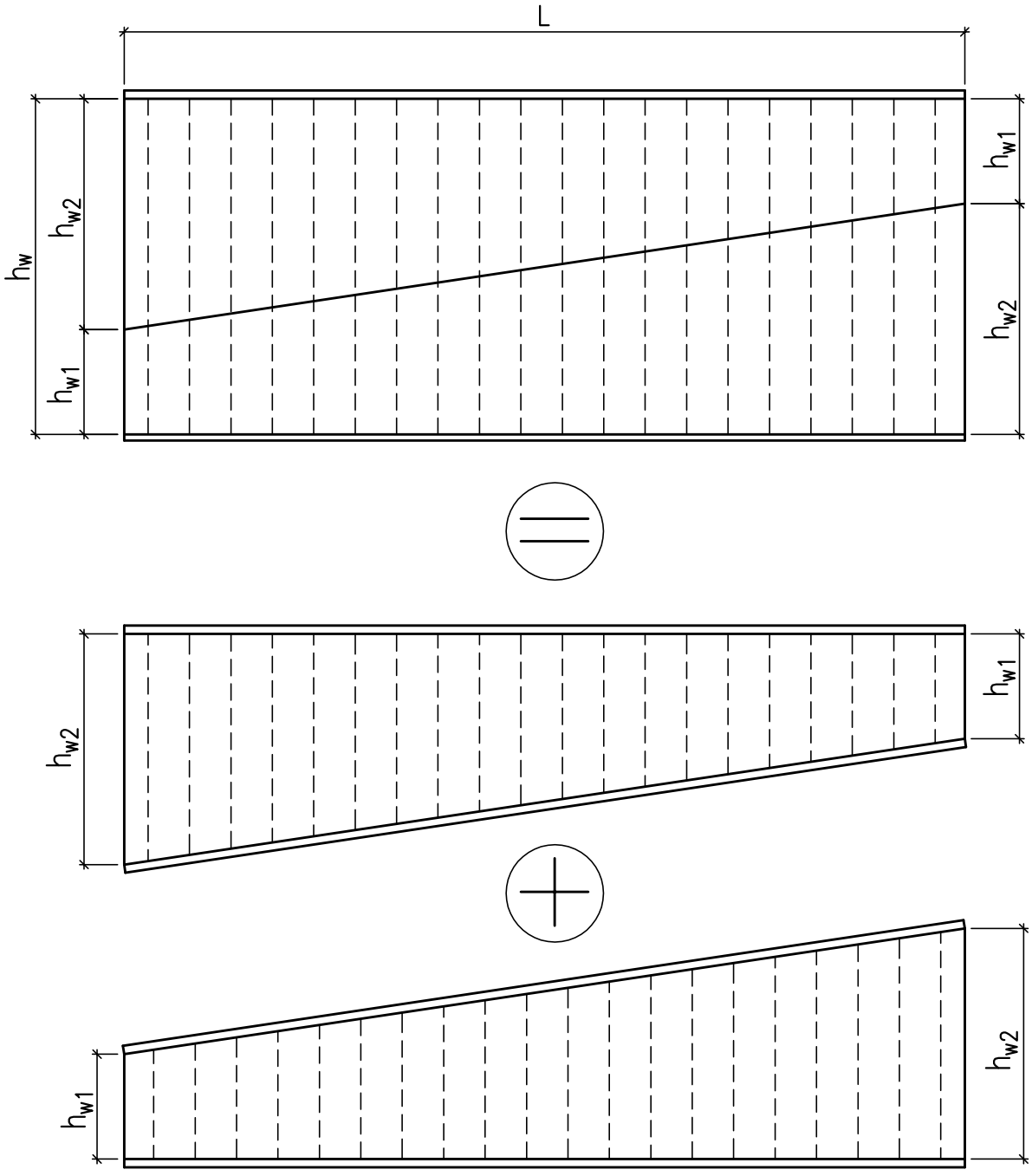

L_{max} = 11500mm

h_{w1}=min.250mm

$h_{w1}+h_{w2}=h_w$=625,750,1000,1250,1500mm

Stahlkonstruktionen Zeman Bogensysteme Hallenbau	TEMAT SIN STANDARD DOKUMENTACJA TECHNICZNA	ARKUSZ 3	ZMIANA –	DATA ZMIANY .
	TYTUŁ OZNACZENIA PROFILI	NAZWISKO Wojtusik	SKALA	DATA 01.08.18

WT(_) h_w / b_{f1} x t_{f1} / b_{f2} x t_{f2} - profile o pasach równoległych

SIN(_) h_{w1}-h_{w2} / b_{f1} x t_{f1} / b_{f2} x t_{f2} - profile zbieżne

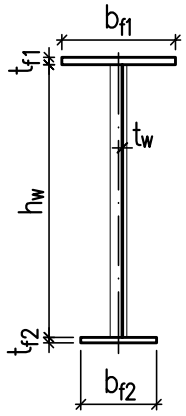

(_) - grubość środnika: A (2,0mm), B (2,5mm), C (3,0mm), D (4,0mm), E (5,0mm), F (6,0mm)
hw1 - wysokość środnika na początku,
hw2 - wysokość środnika na końcu
bf1 - szerokość górnego (zewnętrznego) pasa
tf1 - grubość górnego (zewnętrznego) pasa
bf2 - szerokość dolnego (wewnętrznego) pasa
tf2 - grubość dolnego (wewnętrznego) pasa

PRZYKŁADY:

pasy równe
pasy równoległe
WT(_) h_w / b_f x t_f
przykład: WTA 750 / 220 x 12

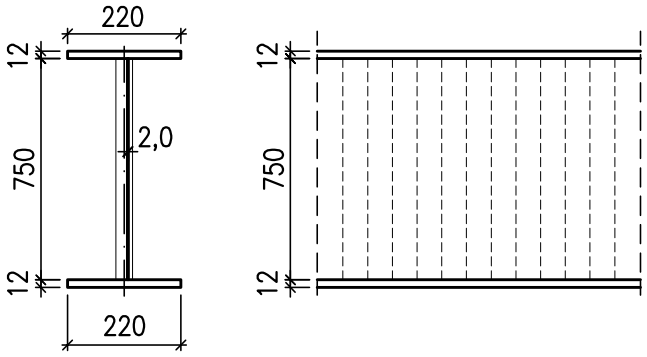

pasy różne
pasy równoległe
WT(_) h_w / b_{f1} x t_{f1} / b_{f2} x t_{f2}
przykład: WTC 1000 / 300 x 15 / 220 x 12

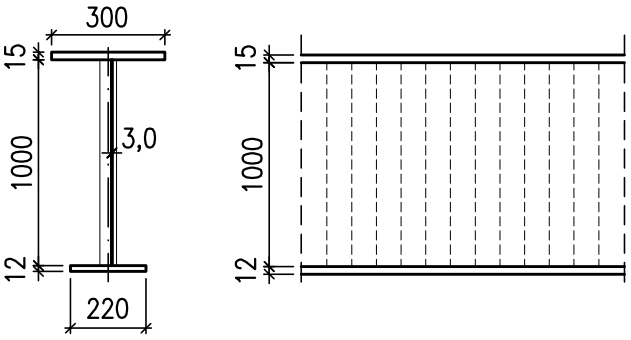

pasy równe
profil zbieżny
SIN(_) h_{w1}-h_{w2} / b_f x t_f
przykład: SINB 250-1000 / 250 x 12

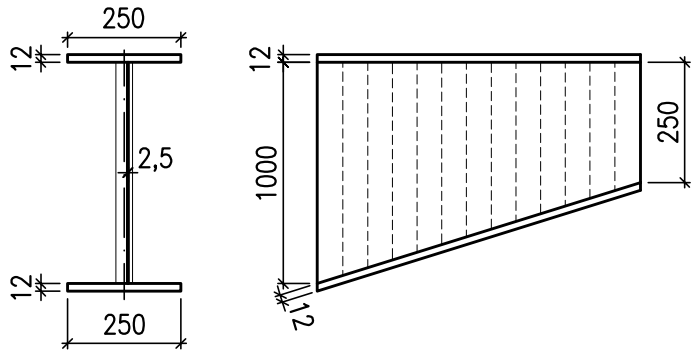

pasy różne
profil zbieżny
SIN(_) h_{w1}-h_{w2} / b_{f1} x t_{f1} / b_{f2} x t_{f2}
przykład: SINC 250-1000 / 300 x 15 / 220 x 12

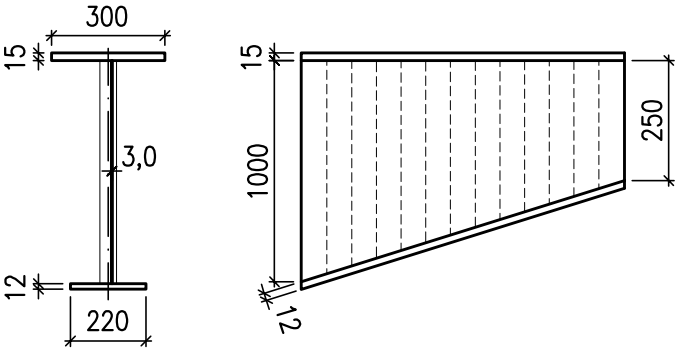

Stahlkonstruktionen Zeman Bogensysteme Hallenbau	TEMAT SIN STANDARD DOKUMENTACJA TECHNICZNA	ARKUSZ 4	ZMIANA –	DATA ZMIANY .
	TYTUŁ CIĘCIA SKOŚNE	NAZWISKO Wojtusik	SKALA	DATA 01.08.18

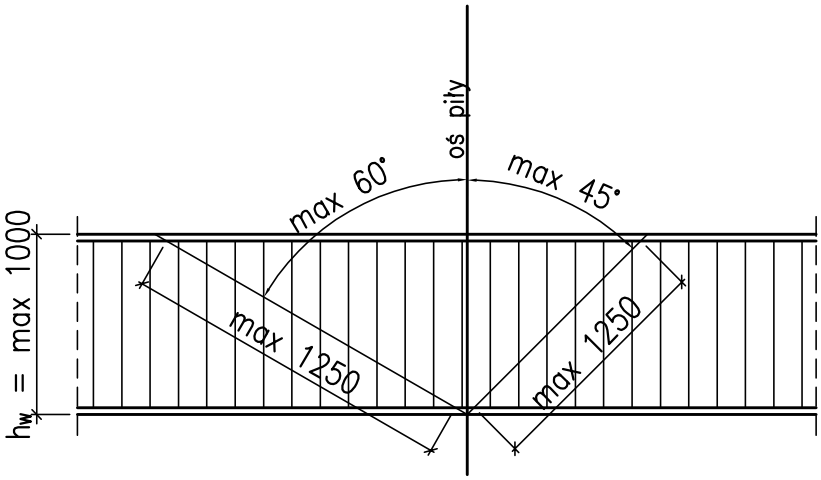

Powyższe ograniczenia dotyczą użycia piły. Cięcia skośne dla innych kątów lub wyższych profili są również możliwe, ale muszą być wykonywane ręcznie.

MOŻLIWE!

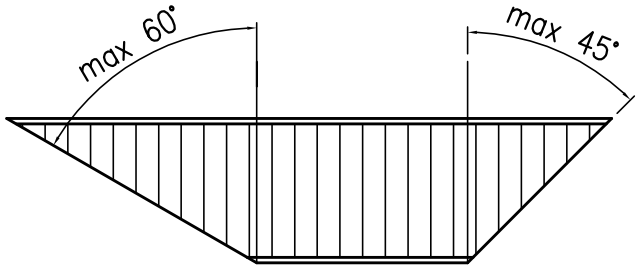

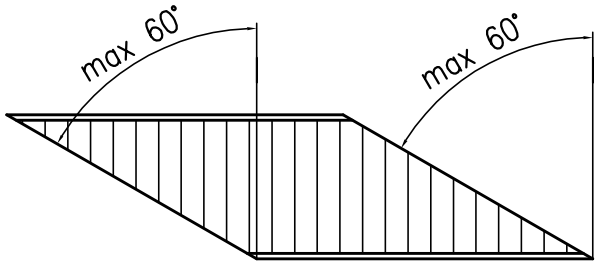

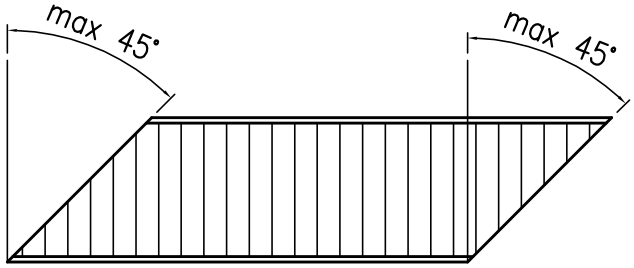

NIEMOŻLIWE z użyciem piły!

W poniższym przykładzie cięcia muszą być wykonywane ręcznie (użycie piły nie jest możliwe)

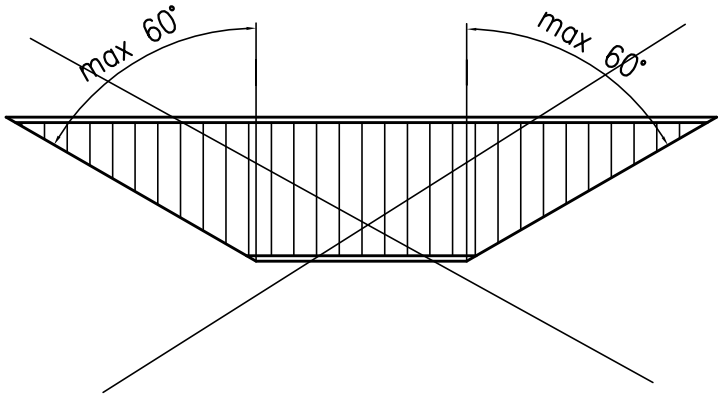

Profile SIN o różnych długościach pasów i środnika są produkowane wg poniższych sposobów:

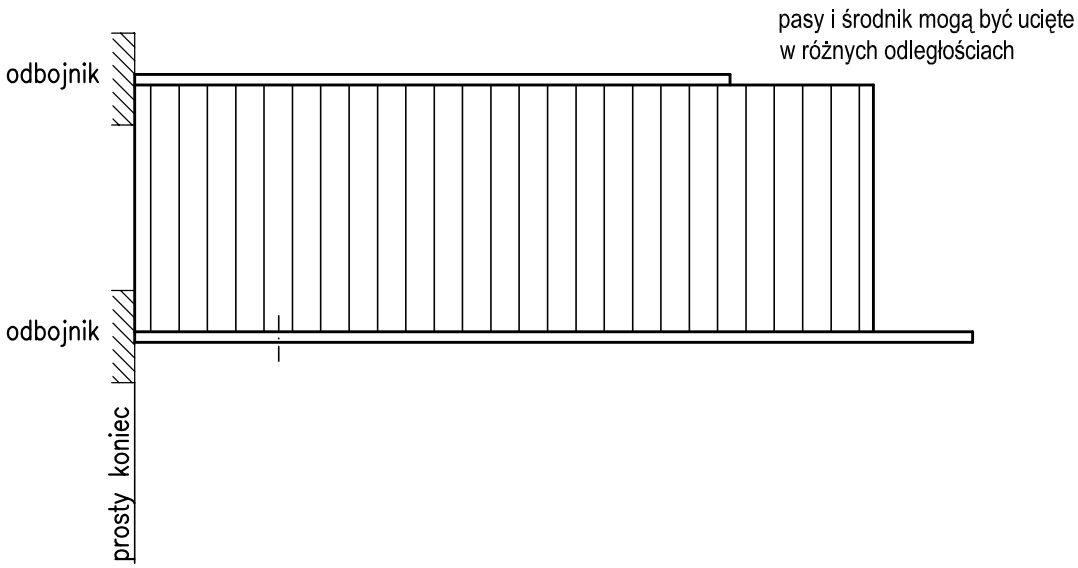

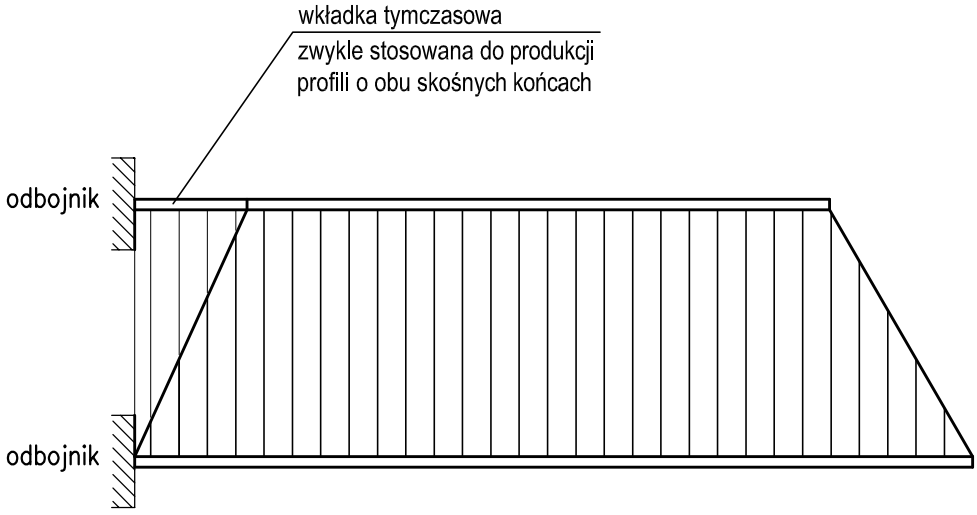

Uwaga:
Otwory w pasach są wykonywane przed spawaniem na linii produkcyjnej

Stahlkonstruktionen Zeman Bogensysteme Hallenbau	TEMAT SIN STANDARD DOKUMENTACJA TECHNICZNA	ARKUSZ 6	ZMIANA –	DATA ZMIANY .
	TYTUŁ ŻEBERKA	NAZWISKO Wojtusik	SKALA	DATA 01.08.18

ZALECANY!

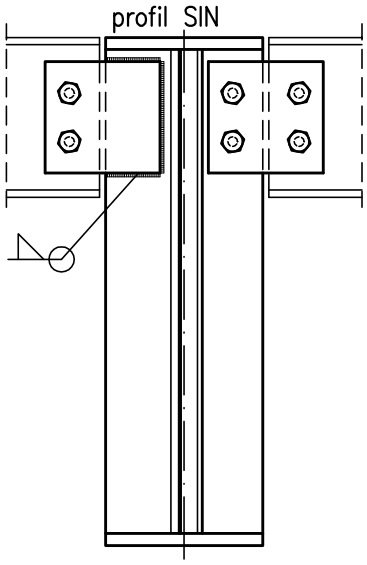

MOŻLIWY

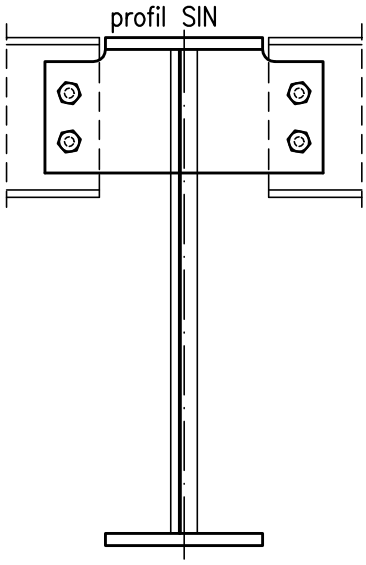

NIE ZALECANY!

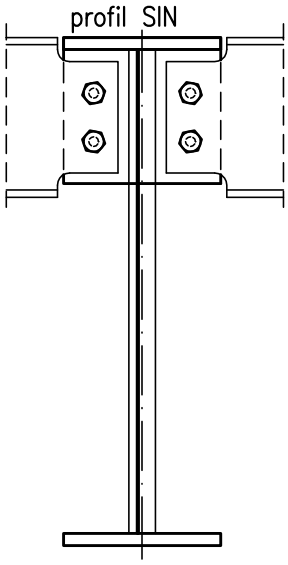

ZALECANY!

dla sił pionowych ograniczonych do wartości podanych w tabeli (załącznik 4)

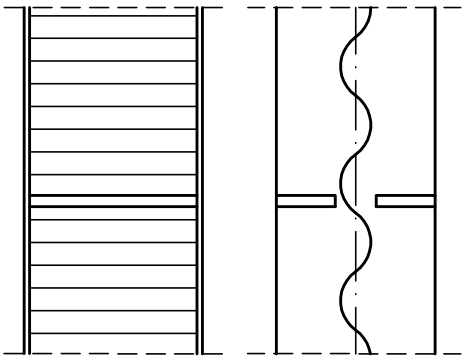

MOŻLIWY

w przypadku gdy siły pionowe przekraczają siły podane w tabeli (załącznik 4)

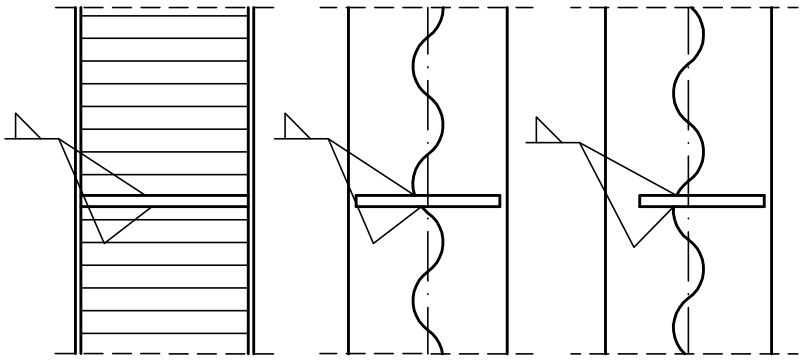

NIEMOŻLIWY!

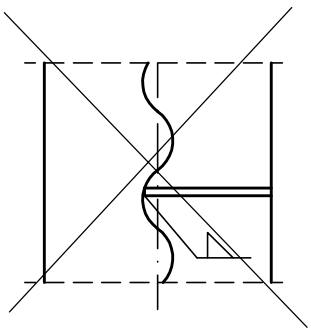

Stahlkonstruktionen Zeman Bogensysteme Hallenbau	TEMAT SIN STANDARD DOKUMENTACJA TECHNICZNA	ARKUSZ 7	ZMIANA –	DATA ZMIANY .
	TYTUŁ RODZAJE SPOIN	NAZWISKO Wojtusik	SKALA	DATA 01.08.18

wariant 1

ZALECANY

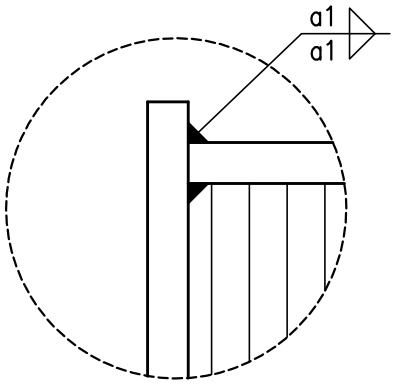

wariant 2

stosowany tylko gdy obudowa przylega bezpośrednio do pasa

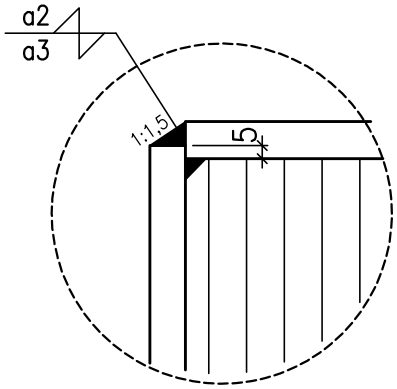

wariant 3

NIE ZALECANY!

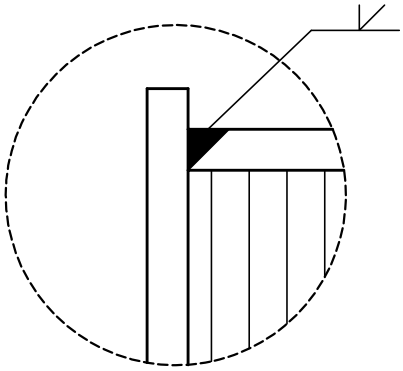

wariant 4

NIE ZALECANY!

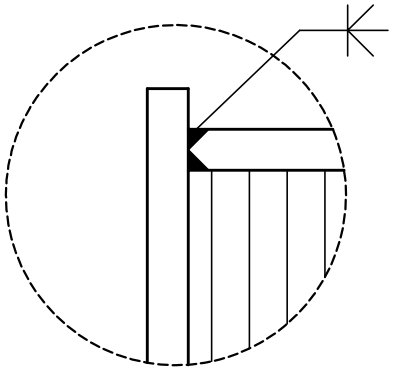

wariant 5

NIE ZALECANY!

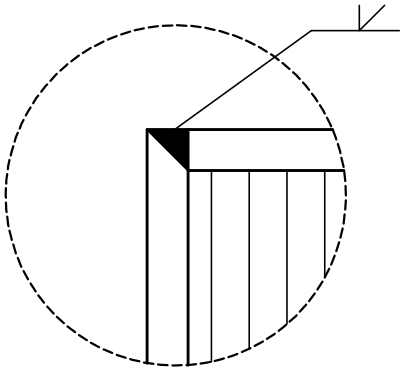

Uwaga:
Jeśli grubość blachy czołowej jest > 12mm blachę dobrać pod kątem spełnienia warunków na ciągliwość międzywarstwową (Z)

Stahlkonstruktionen Zeman Bogensysteme Hallenbau	TEMAT SIN STANDARD DOKUMENTACJA TECHNICZNA	ARKUSZ 8	ZMIANA –	DATA ZMIANY .
	TYTUŁ PŁYTKI CENTRUJĄCE	NAZWISKO Wojtusik	SKALA	DATA 01.08.18

płytka centrująca

øM [mm]	M16	M20	M24	M30	M36	M42	M48
øD [mm]	36	40	44	50	56	62	68
ød [mm]	18	18	26	32	38	45	51
u [mm]	70	80	90	90	90	100	110
t_m [mm]	20	20	20	20	20	20	20

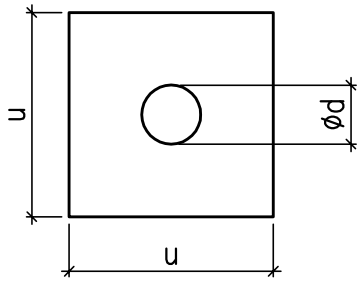

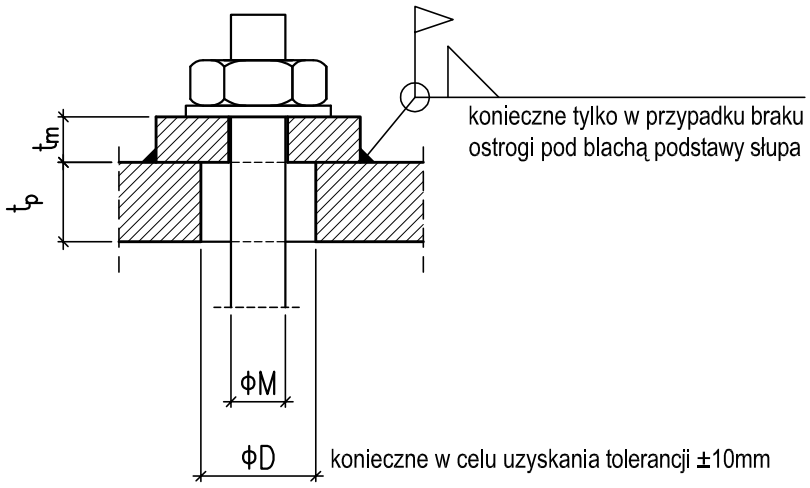

Stahlkonstruktionen Zeman Bogensysteme Hallenbau	TEMAT SIN STANDARD DOKUMENTACJA TECHNICZNA	ARKUSZ 9	ZMIANA –	DATA ZMIANY .
	TYTUŁ RODZAJE RAM, OZNACZENIA POŁĄCZEŃ	NAZWISKO Wojtusik	SKALA	DATA 01.08.18

Typ A

Typ C

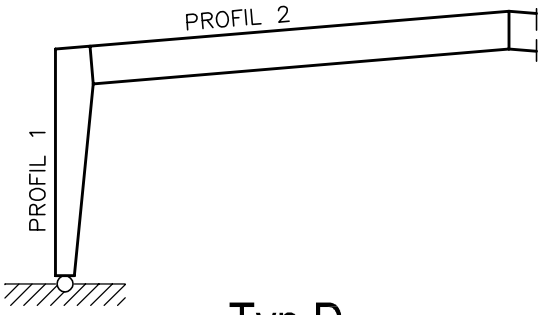

Typ B

Typ D

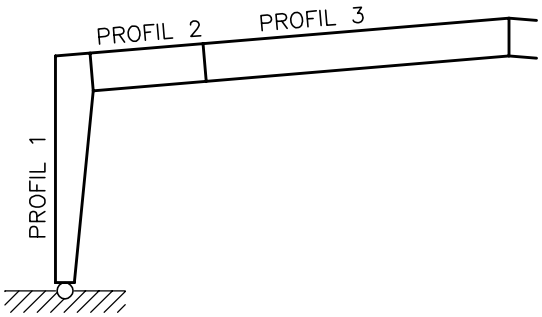

Typ E

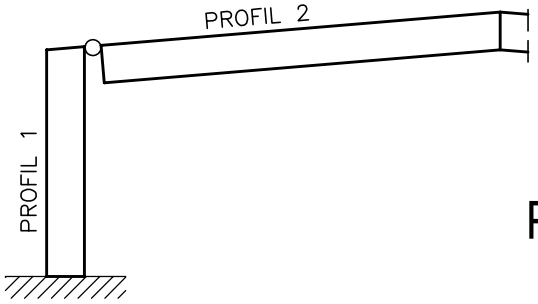

POŁĄCZENIA - DETALE

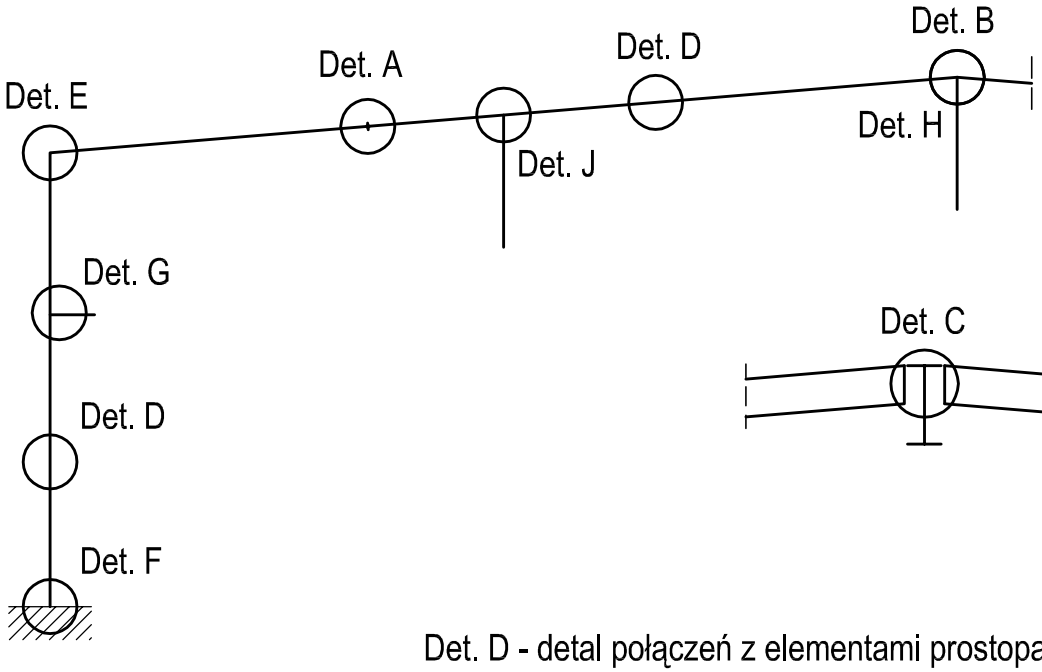

Det. D - detal połączeń z elementami prostopadłymi:
belki, tężniki, stężenia prętowe, płatwie, ryglówka itp.

Stahlkonstruktionen Zeman Bogensysteme Hallenbau	TEMAT SIN STANDARD DOKUMENTACJA TECHNICZNA	ARKUSZ 10	ZMIANA –	DATA ZMIANY .
	TYTUŁ A1 – POŁĄCZENIE DOCZOŁOWE	NAZWISKO Wojtusik	SKALA	DATA 01.08.18

Detal "A"

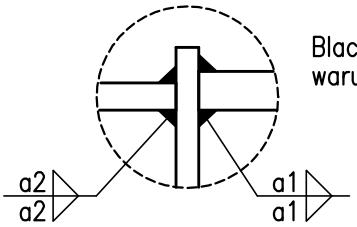

Blachę dobrać pod kątem spełnienia warunków na ciągliwość międzywarstwową (Z)

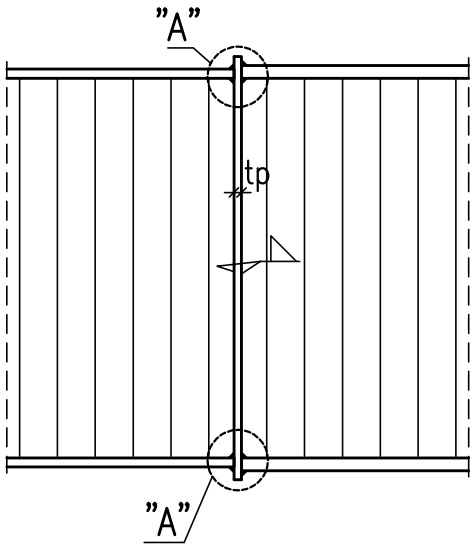

Uwagi:

- spoiny zgodnie z obliczeniami statycznymi
- t_p=10-12mm
- rozwiązanie możliwe również dla pasów o różnych szerokościach i grubościach

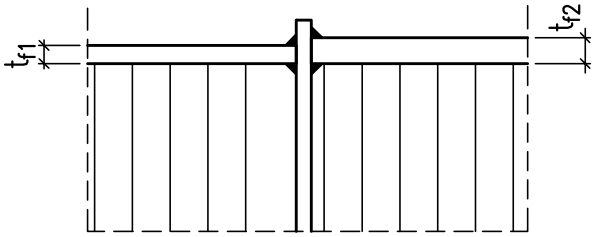

różne grubości pasów

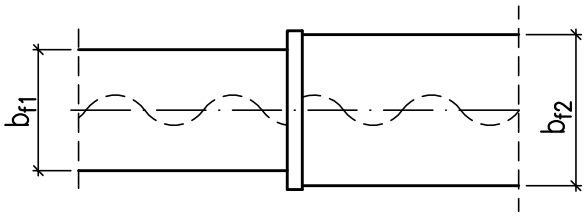

różne szerokości pasów

Stahlkonstruktionen Zeman Bogensysteme Hallenbau	TEMAT SIN STANDARD DOKUMENTACJA TECHNICZNA	ARKUSZ 11	ZMIANA —	DATA ZMIANY .
	TYTUŁ A2 – POŁĄCZENIE DOCZOŁOWE	NAZWISKO Wojtusik	SKALA	DATA 01.08.18

Detal "A"

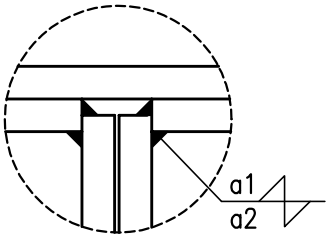

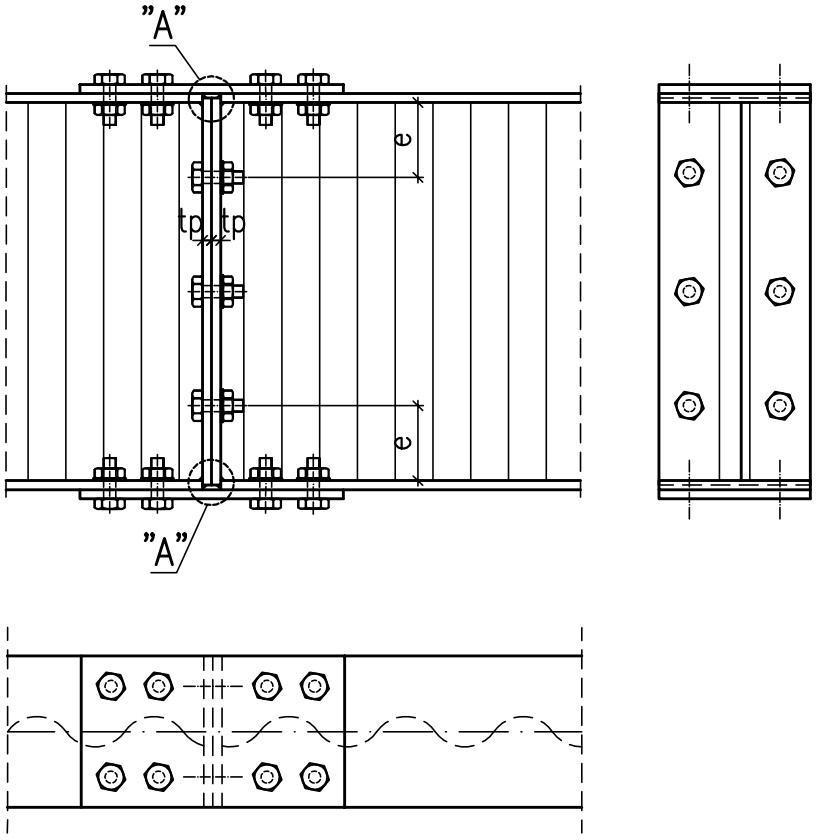

Uwagi:

- śruby i spoiny zgodnie z obliczeniami statycznymi
- nakładka: wymiary, ilość i średnica śrub zgodnie zgodnie z obliczeniami statycznymi
- e=~100mm
- t_p=10-12mm

Stahlkonstruktionen Zeman Bogensysteme Hallenbau	TEMAT SIN STANDARD DOKUMENTACJA TECHNICZNA	ARKUSZ 12	ZMIANA –	DATA ZMIANY .
	TYTUŁ A3 – POŁĄCZENIE DOCZOŁOWE	NAZWISKO Wojtusik	SKALA	DATA 01.08.18

Detal "B"

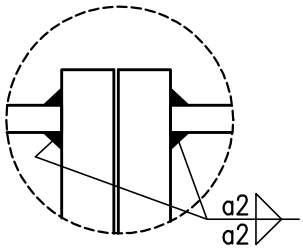

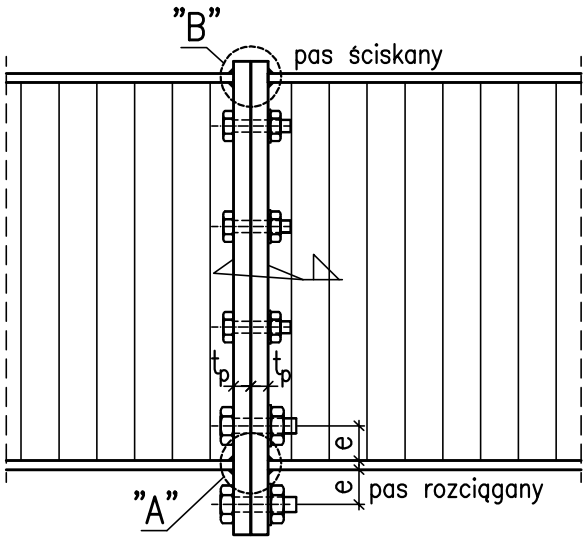

Detal "A"

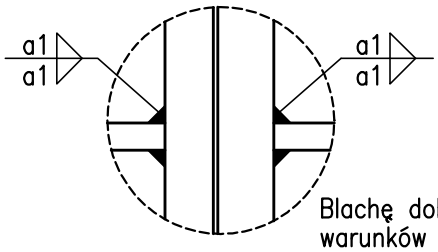

Blachę dobrać pod kątem spełnienia warunków na ciągliwość międzywarstwową (Z)

Uwagi:

- t_p, e, śruby i spoiny zgodnie z obliczeniami statycznymi

Stahlkonstruktionen Zeman Bogensysteme Hallenbau	TEMAT SIN STANDARD DOKUMENTACJA TECHNICZNA	ARKUSZ 13	ZMIANA –	DATA ZMIANY .
	TYTUŁ B1 – KALENICA	NAZWISKO Wojtusik	SKALA	DATA 01.08.18

Detal "A"

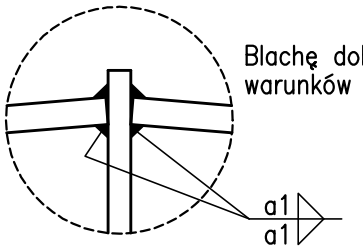

Blachę dobrać pod kątem spełnienia warunków na ciągliwość międzywarstwową (Z)

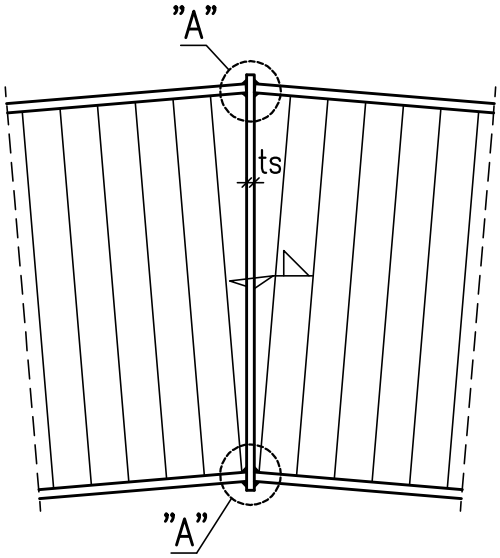

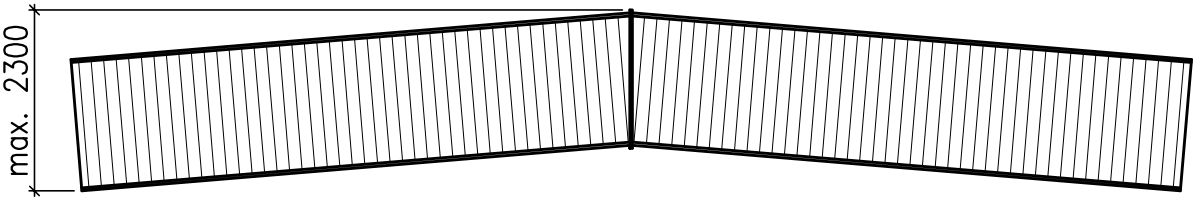

Uwagi:

- spoiny zgodnie z obliczeniami statycznymi
- t_s=10-12mm

Stahlkonstruktionen Zeman Bogensysteme Hallenbau	TEMAT SIN STANDARD DOKUMENTACJA TECHNICZNA	ARKUSZ 14	ZMIANA –	DATA ZMIANY .
	TYTUŁ B2 – KALENICA	NAZWISKO Wojtusik	SKALA	DATA 01.08.18

Detal "B"

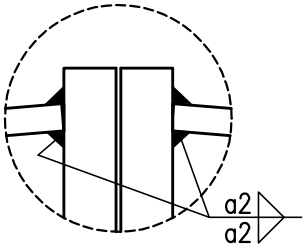

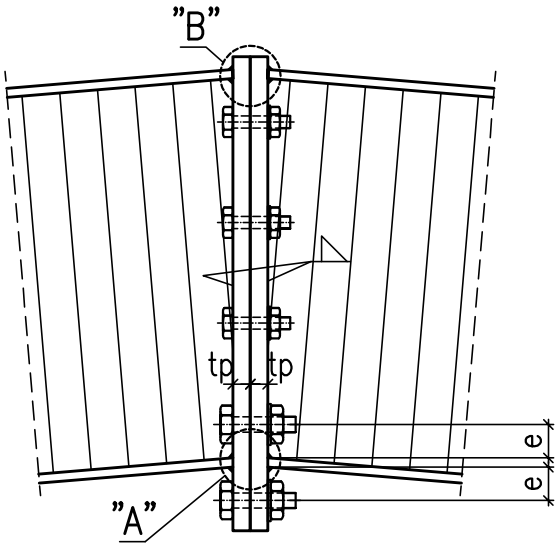

Detal "A"

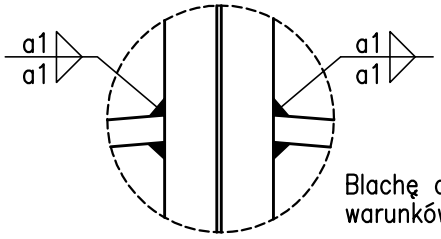

Blachę dobrać pod kątem spełnienia warunków na ciągliwość międzywarstwową (Z)

Uwagi:

- t_p, e, śruby i spoiny zgodnie z obliczeniami statycznymi

Stahlkonstruktionen Zeman Bogensysteme Hallenbau	TEMAT SIN STANDARD DOKUMENTACJA TECHNICZNA	ARKUSZ 15	ZMIANA –	DATA ZMIANY .
	TYTUŁ C1 – POŁĄCZENIE BELEK	NAZWISKO Wojtusik	SKALA	DATA 01.08.18

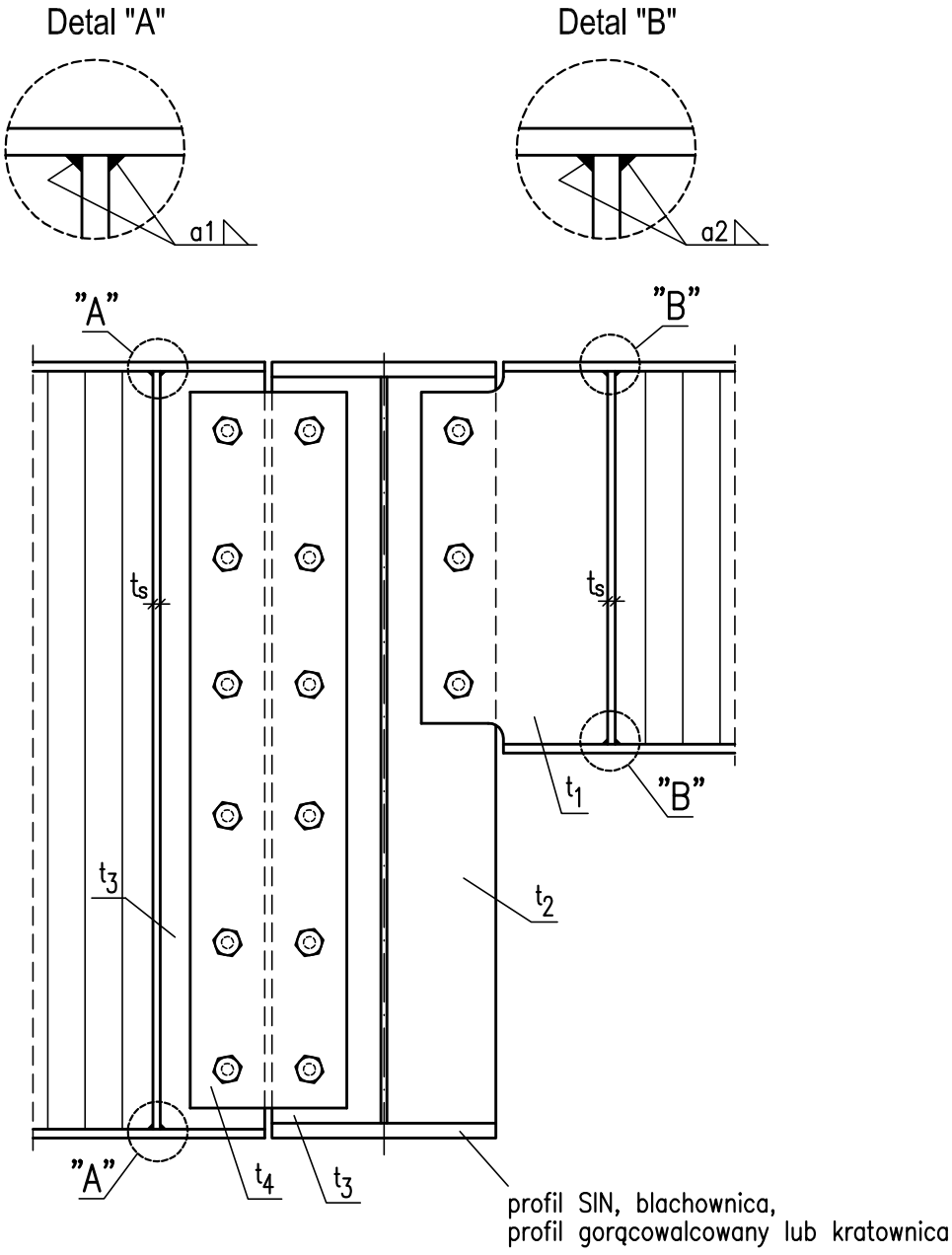

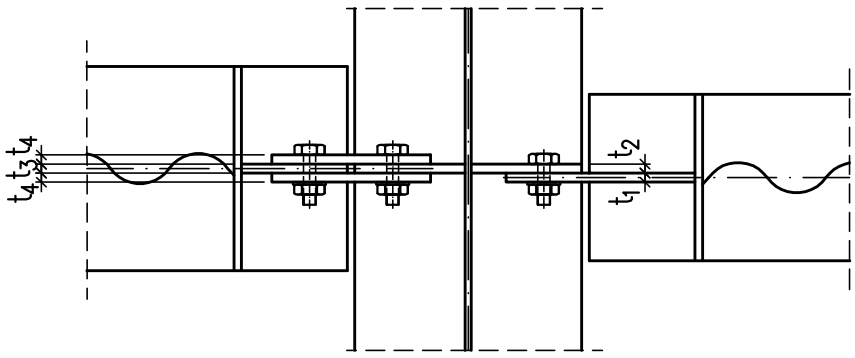

Uwagi:

- t_1-t_4 zgodnie z obliczeniami statycznymi
- śruby i spoiny zgodnie z obliczeniami statycznymi
- t_s=10-12mm

Stahlkonstruktionen Zeman Bogensysteme Hallenbau	TEMAT SIN STANDARD DOKUMENTACJA TECHNICZNA	ARKUSZ 16	ZMIANA –	DATA ZMIANY .
	TYTUŁ C2 – POŁĄCZENIE BELEK	NAZWISKO Wojtusik	SKALA	DATA 01.08.18

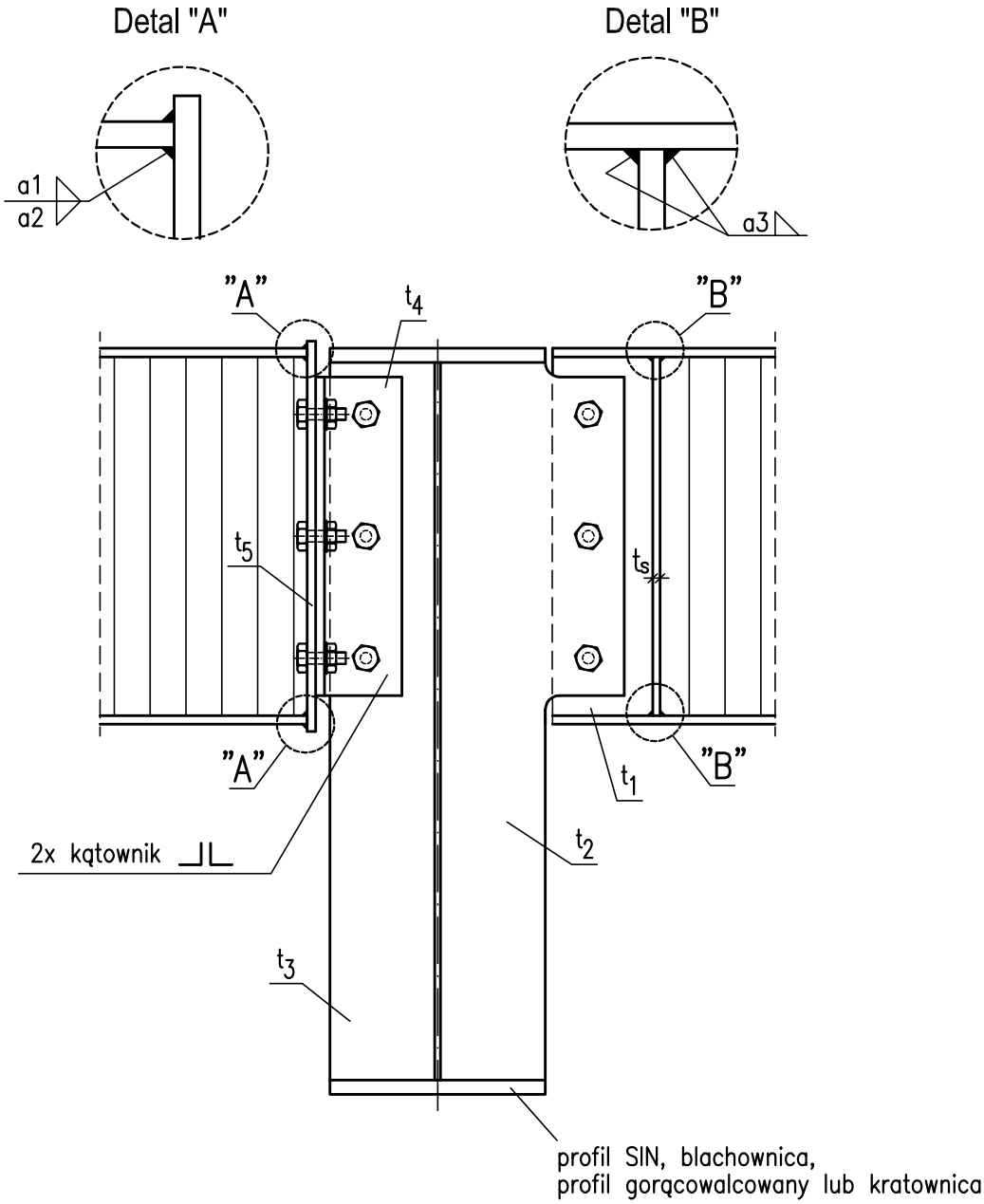

Uwagi:

- t_1-t_5, kątowniki zgodnie z obliczeniami statycznymi
- śruby i spoiny zgodnie z obliczeniami statycznymi
- t_s=10-12mm

Stahlkonstruktionen Zeman Bogensysteme Hallenbau	TEMAT SIN STANDARD DOKUMENTACJA TECHNICZNA	ARKUSZ 17	ZMIANA –	DATA ZMIANY .
	TYTUŁ C3 – POŁĄCZENIE BELEK	NAZWISKO Wojtusik	SKALA	DATA 01.08.18

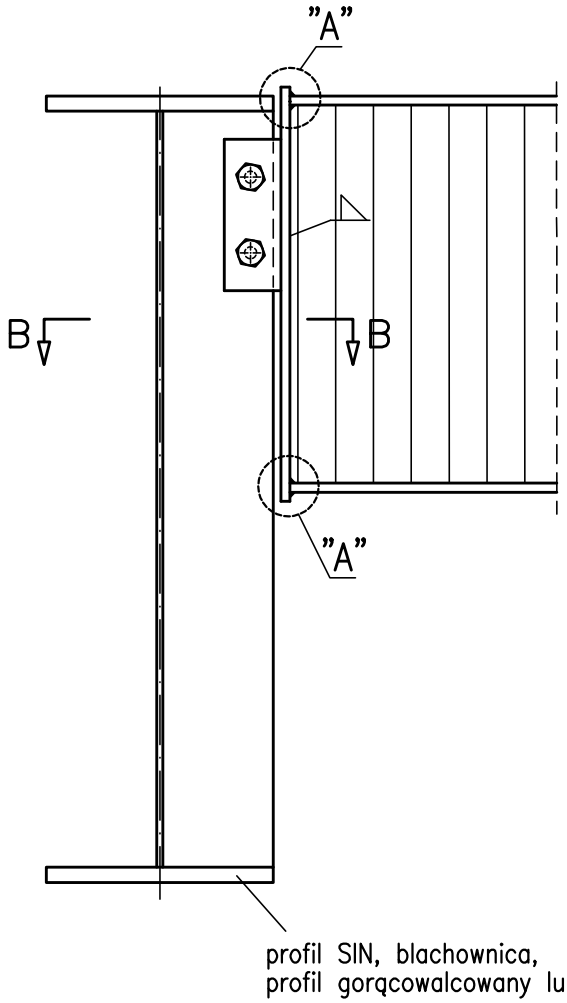

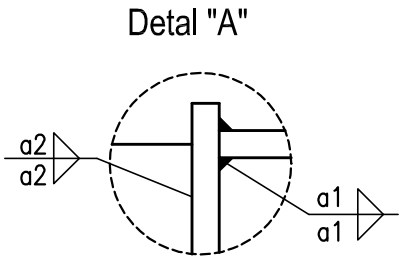

Przekrój B-B

wariant 1
ZALECANY!

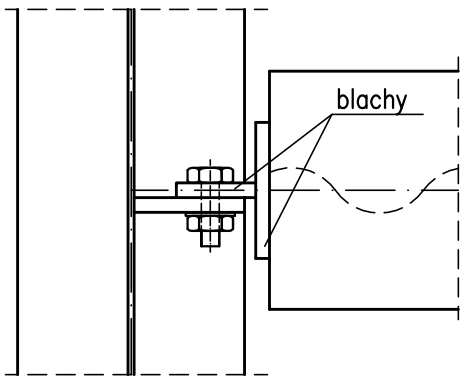

wariant 2
NIE ZALECANY!

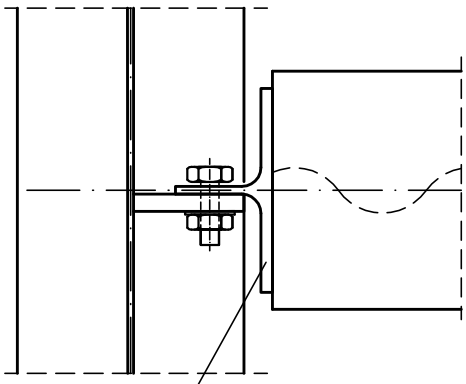

profil gorącowalcowany
1/2 IPE
1/2 HEA
1/2 HEB

Uwagi:

- odpowiednie dla połączeń przegubowych
- blachy lub profil gorącowalcowany zgodnie z obliczeniami statycznymi
- śruby i spoiny zgodnie z obliczeniami statycznymi

Stahlkonstruktionen Zeman Bogensysteme Hallenbau	TEMAT SIN STANDARD DOKUMENTACJA TECHNICZNA	ARKUSZ 18	ZMIANA –	DATA ZMIANY .
	TYTUŁ C4 – POŁĄCZENIE BELEK	NAZWISKO Wojtusik	SKALA	DATA 01.08.18

Detal "A"

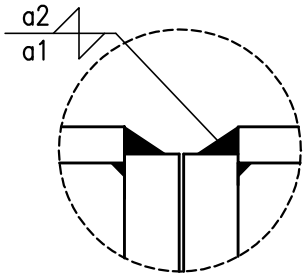

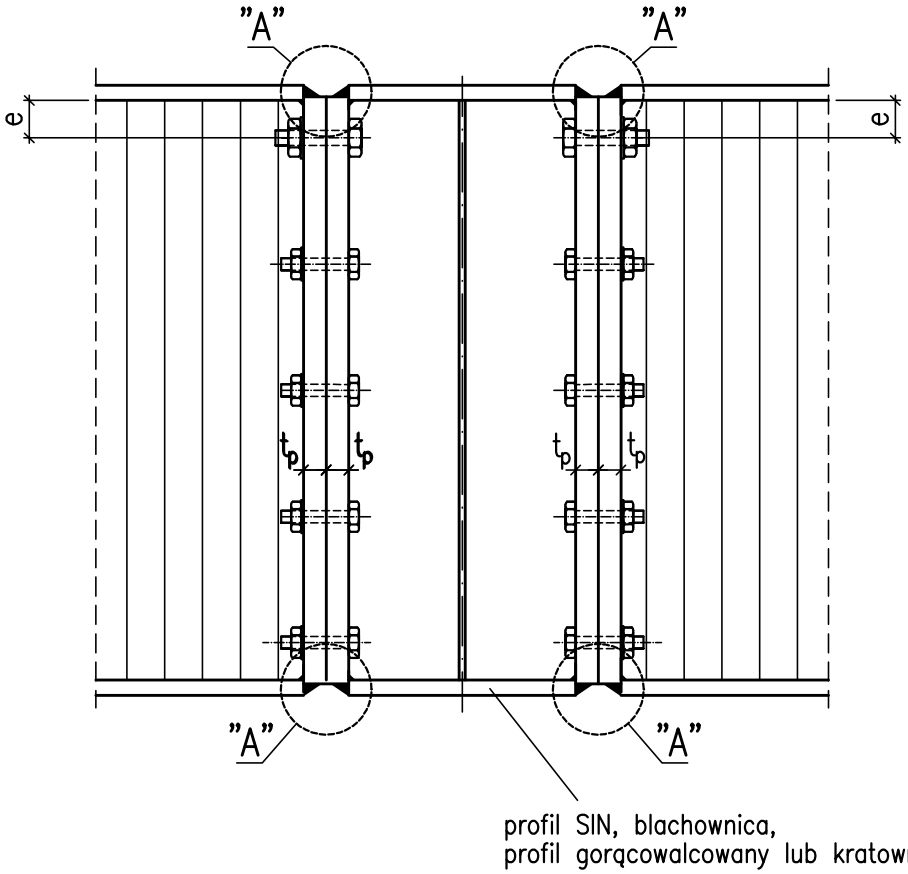

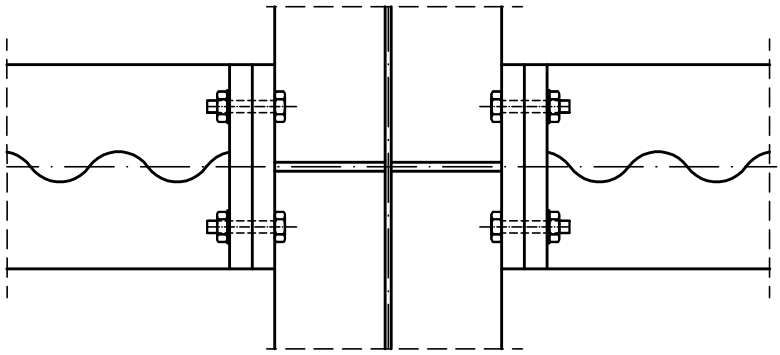

Uwagi:

- odpowiednie dla połączeń sztywnych
- t_p, e, śruby i spoiny zgodnie z obliczeniami statycznymi

Stahlkonstruktionen Zeman Bogensysteme Hallenbau	TEMAT SIN STANDARD DOKUMENTACJA TECHNICZNA	ARKUSZ 19	ZMIANA –	DATA ZMIANY .
	TYTUŁ C5 – POŁĄCZENIE BELEK	NAZWISKO Wojtusik	SKALA	DATA 01.08.18

Detal "A"

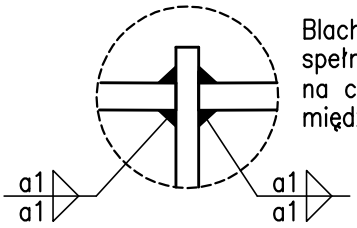

Blachę dobrać pod kątem spełnienia warunków na ciągliwość międzywarstwową (Z)

Uwagi:

- t, t_p, zgodnie z obliczeniami statycznymi
- śruby i spoiny zgodnie z obliczeniami statycznymi
- należy sprawdzić możliwość utraty lokalnej stateczności środnika
- t_s=10-12mm

jeśli nośność środnika pod obciążeniem skupionym jest zbyt mała

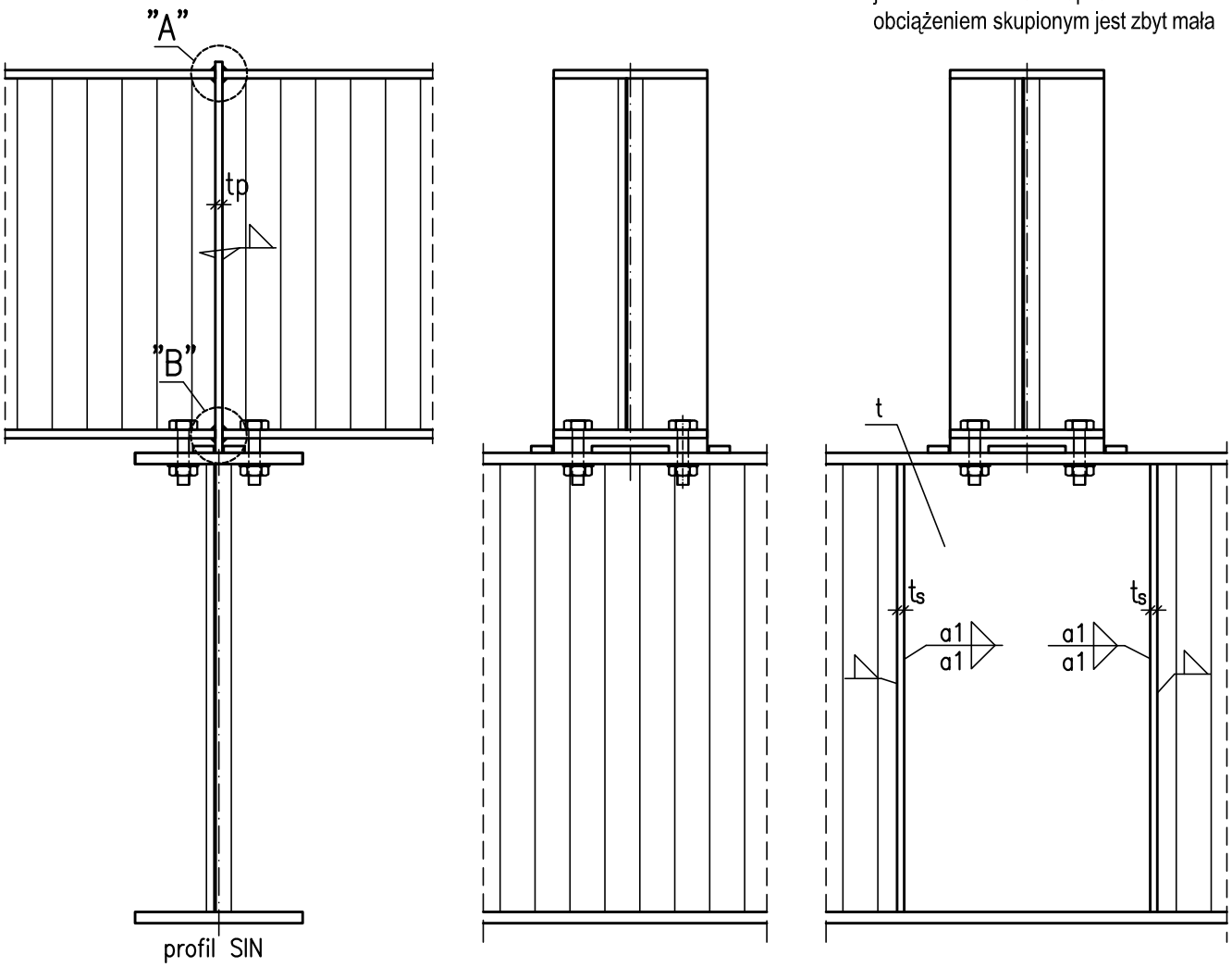

Detal "B"

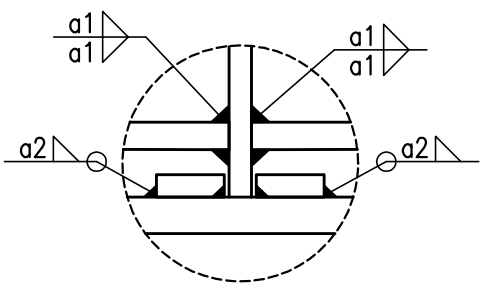

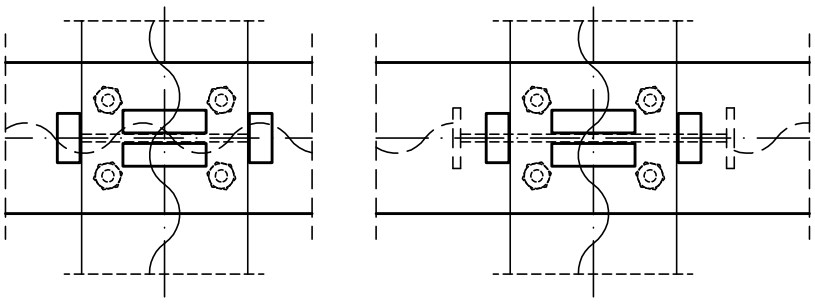

Stahlkonstruktionen Zeman Bogensysteme Hallenbau	TEMAT SIN STANDARD DOKUMENTACJA TECHNICZNA	ARKUSZ 20	ZMIANA –	DATA ZMIANY .
	TYTUŁ C6 – POŁĄCZENIE BELEK	NAZWISKO Wojtusik	SKALA	DATA 01.08.18

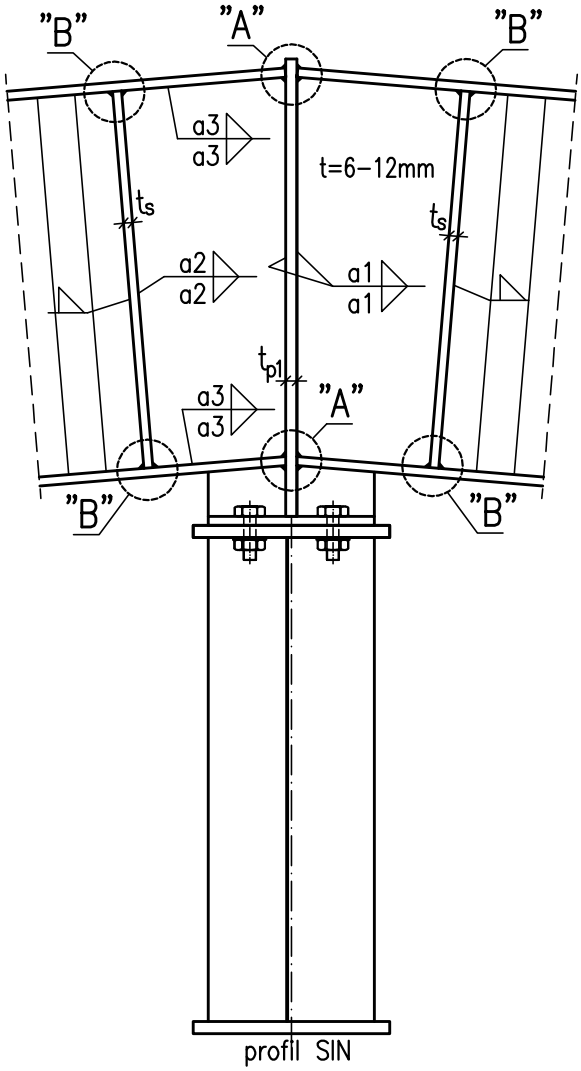

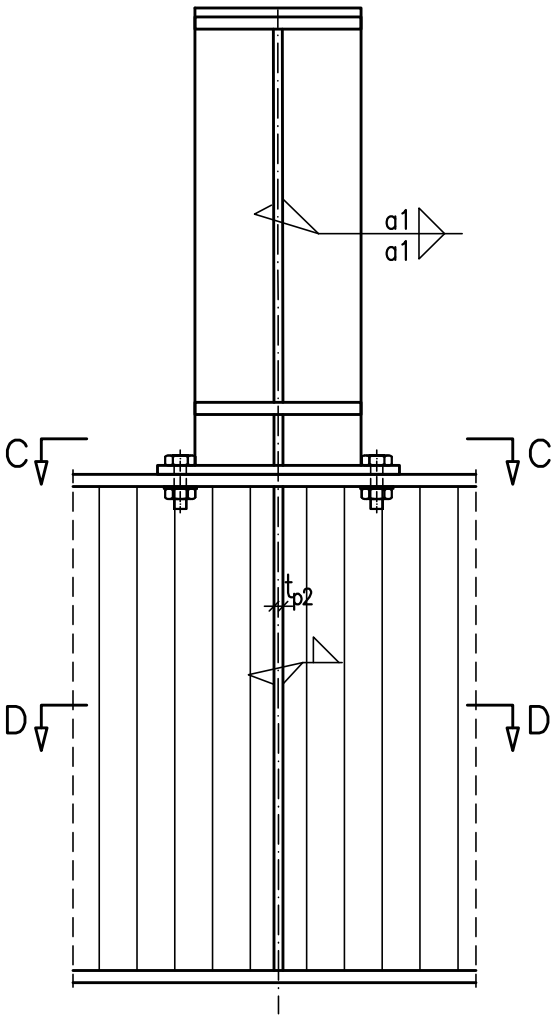

Przekrój C-C

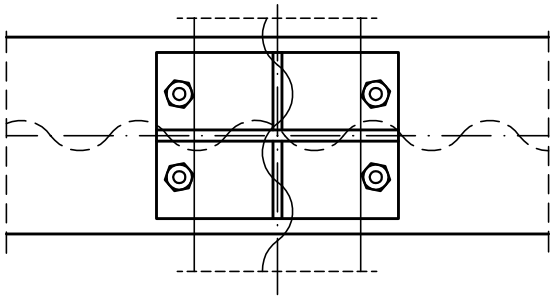

Detal "A"

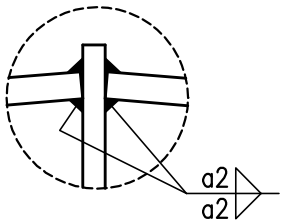

Detal "B"

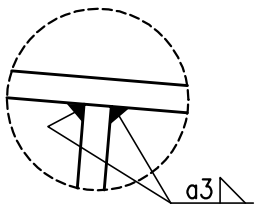

Blachę dobrać pod kątem spełnienia warunków na ciągliwość międzywarstwową (Z)

Przekrój D-D

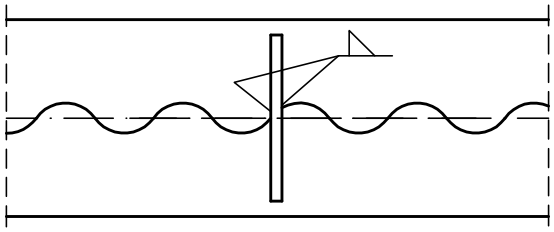

Uwagi:

- t, t_{p1}, t_{p2} zgodnie z obliczeniami statycznymi
- śruby i spoiny zgodnie z obliczeniami statycznymi
- należy sprawdzić możliwość utraty lokalnej stateczności środnika
- t_s=10-12mm

Stahlkonstruktionen Zeman Bogensysteme Hallenbau	TEMAT SIN STANDARD DOKUMENTACJA TECHNICZNA	ARKUSZ 21	ZMIANA –	DATA ZMIANY .
	TYTUŁ D1 – POŁĄCZENIA ZE STĘŻENIAMI	NAZWISKO Wojtusik	SKALA	DATA 01.08.18

ZALECANE

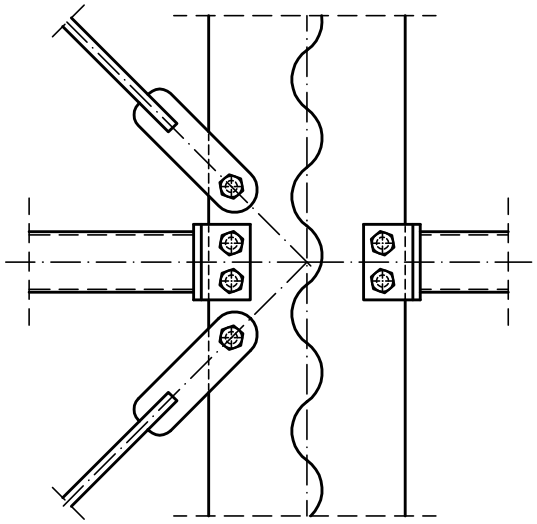

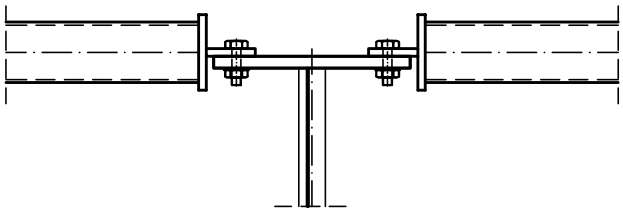

profil SIN

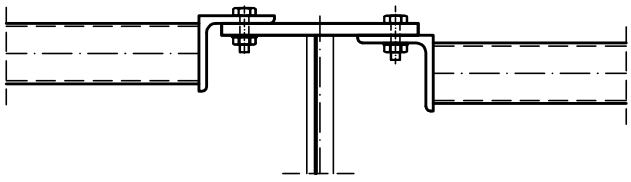

profil SIN

Uwagi:

- śruby zgodnie z obliczeniami statycznymi
- należy sprawdzić nośność przekroju netto pasa na rozciąganie

Stahlkonstruktionen Zeman Bogensysteme Hallenbau	TEMAT SIN STANDARD DOKUMENTACJA TECHNICZNA	ARKUSZ 22	ZMIANA –	DATA ZMIANY .
	TYTUŁ D2 – POŁĄCZENIA ZE STĘŻENIAMI	NAZWISKO Wojtusik	SKALA	DATA 01.08.18

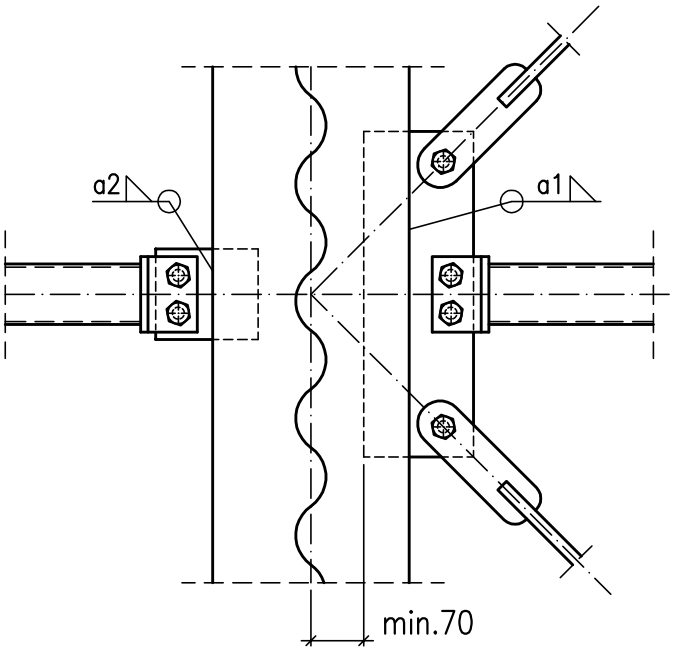

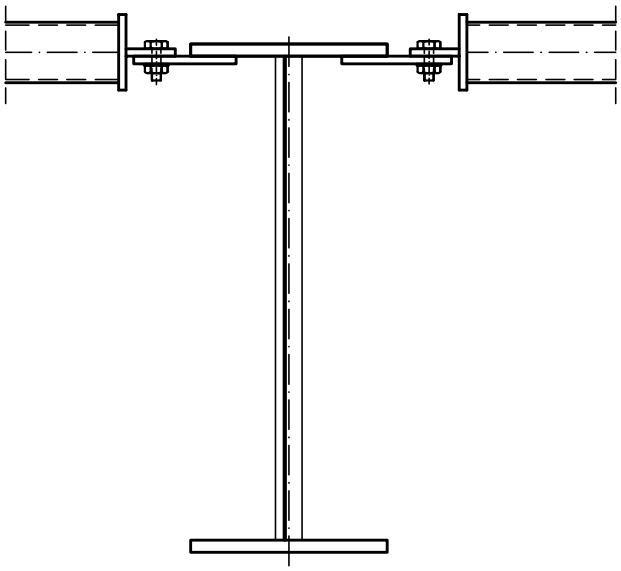

profil SIN

Uwagi:

- śruby zgodnie z obliczeniami statycznymi
- rozwiązanie stosowane tylko w przypadku niewystarczającej nośności pasa rozciąganego w przekroju z otworami

Stahlkonstruktionen Zeman Bogensysteme Hallenbau	TEMAT SIN STANDARD DOKUMENTACJA TECHNICZNA	ARKUSZ 23	ZMIANA –	DATA ZMIANY .
	TYTUŁ D3 – POŁĄCZENIA ZE STĘŻENIAMI	NAZWISKO Wojtusik	SKALA	DATA 01.08.18

NIE ZALECANY!

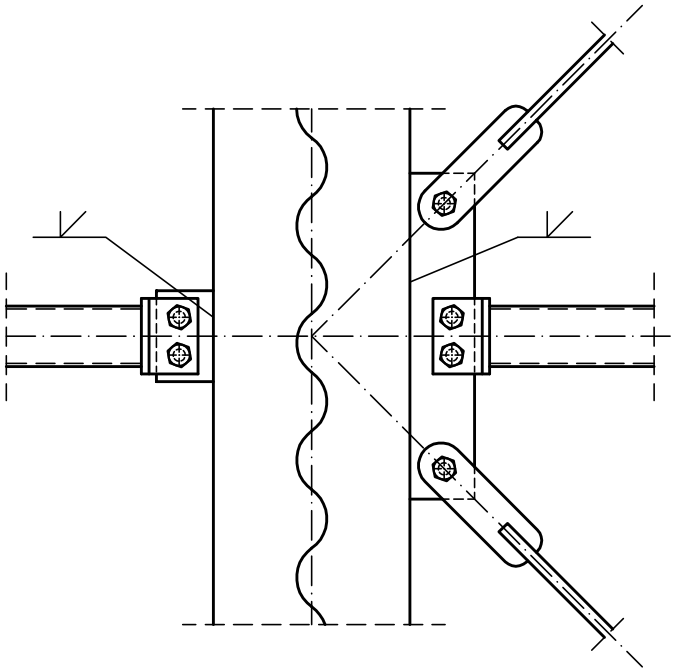

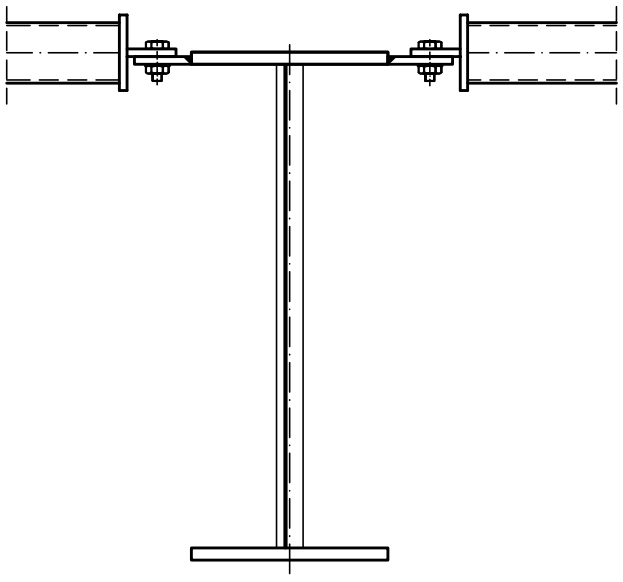

profil SIN

Stahlkonstruktionen Zeman Bogensysteme Hallenbau	TEMAT SIN STANDARD DOKUMENTACJA TECHNICZNA	ARKUSZ 24	ZMIANA –	DATA ZMIANY .
	TYTUŁ D4 – POŁĄCZENIA Z PŁATWIAMI I RYGLÓWKĄ	NAZWISKO Wojtusik	SKALA	DATA 01.08.18

ZALECANY

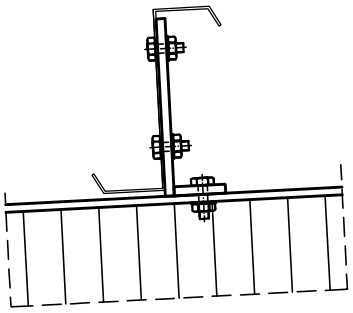

NIE ZALECANY!

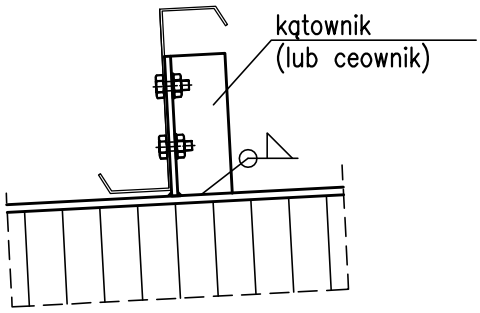

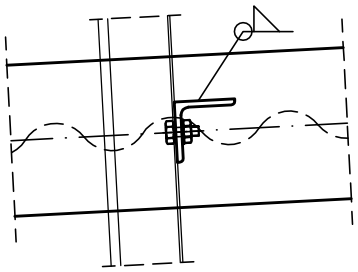

NIE ZALECANY!

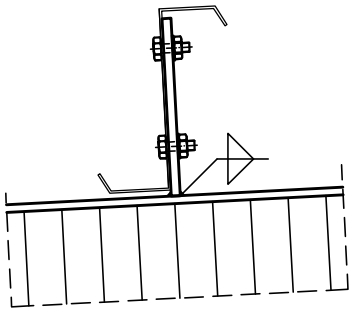

ZALECANY

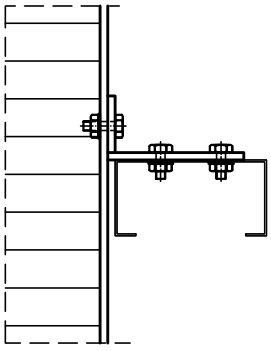

NIE ZALECANY!

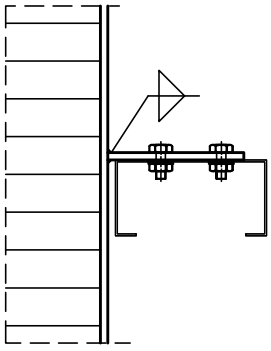

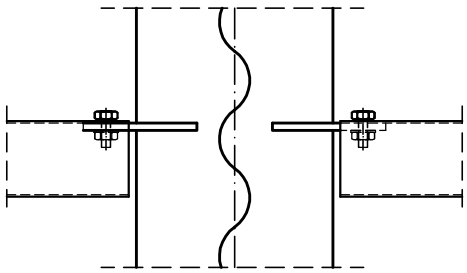

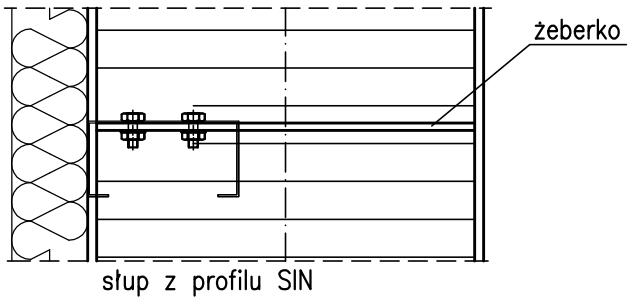

Uwagi:

- rozwiązanie stosowane gdy przeważają siły poziome (np. wiatr)

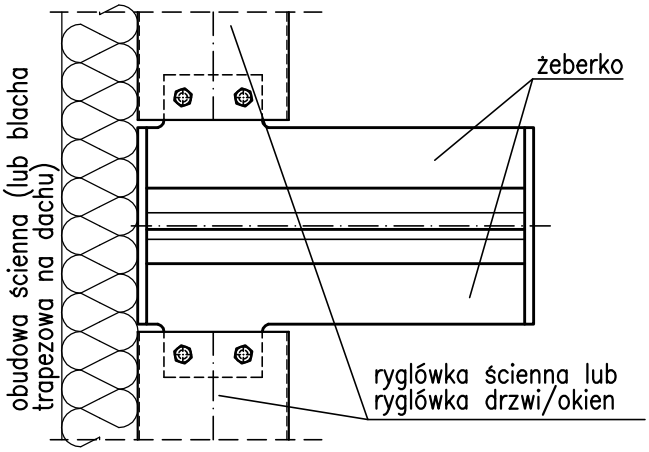

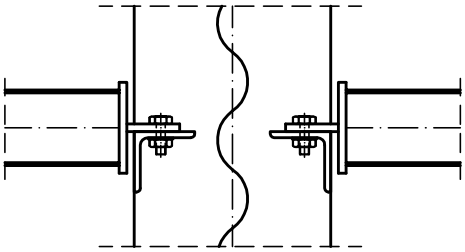

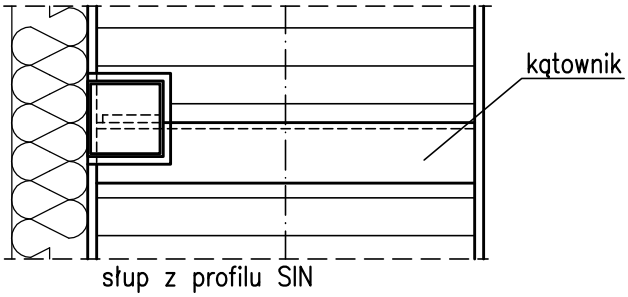

Uwagi:

- rozwiązanie stosowane gdy działają zarówno siły poziome (np. wiatr) oraz pionowe (np. ciężar obudowy)

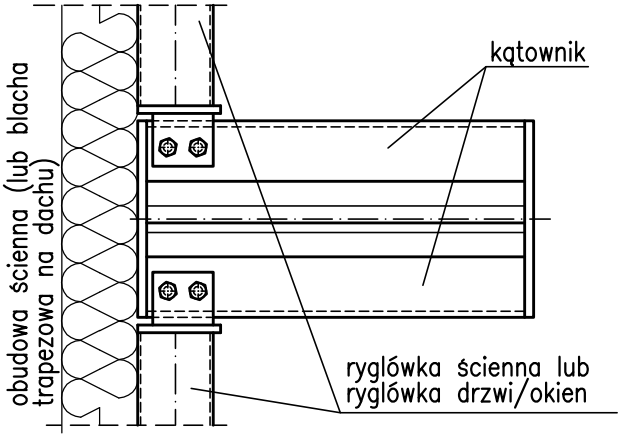

Stahlkonstruktionen Zeman Bogensysteme Hallenbau	TEMAT SIN STANDARD DOKUMENTACJA TECHNICZNA	ARKUSZ 26	ZMIANA –	DATA ZMIANY .
	TYTUŁ E1 – NAROŻE RAMY	NAZWISKO Wojtusik	SKALA	DATA 01.08.18

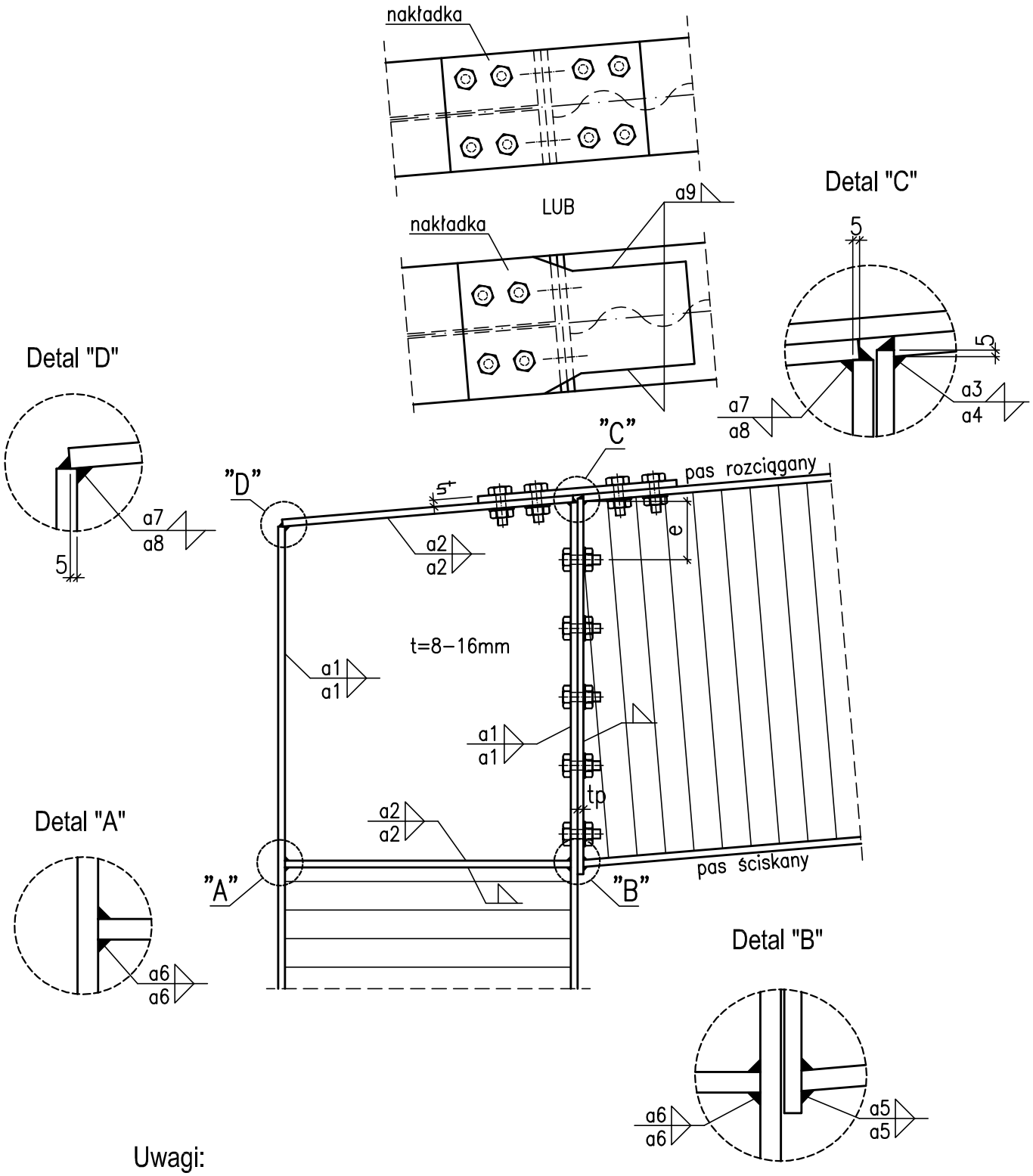

Uwagi:

- odpowiednie tylko dla słupów z równoległymi pasami
- t, t_n, śruby i spoiny zgodnie z obliczeniami statycznymi
- nakładka: wymiary, ilość i średnica śrub zgodnie z obliczeniami statycznymi
- e=~100mm
- t_p=10-12mm

Stahlkonstruktionen Zeman Bogensysteme Hallenbau	TEMAT SIN STANDARD DOKUMENTACJA TECHNICZNA	ARKUSZ 27	ZMIANA –	DATA ZMIANY .
	TYTUŁ E2 – NAROŻE RAMY	NAZWISKO Wojtusik	SKALA	DATA 01.08.18

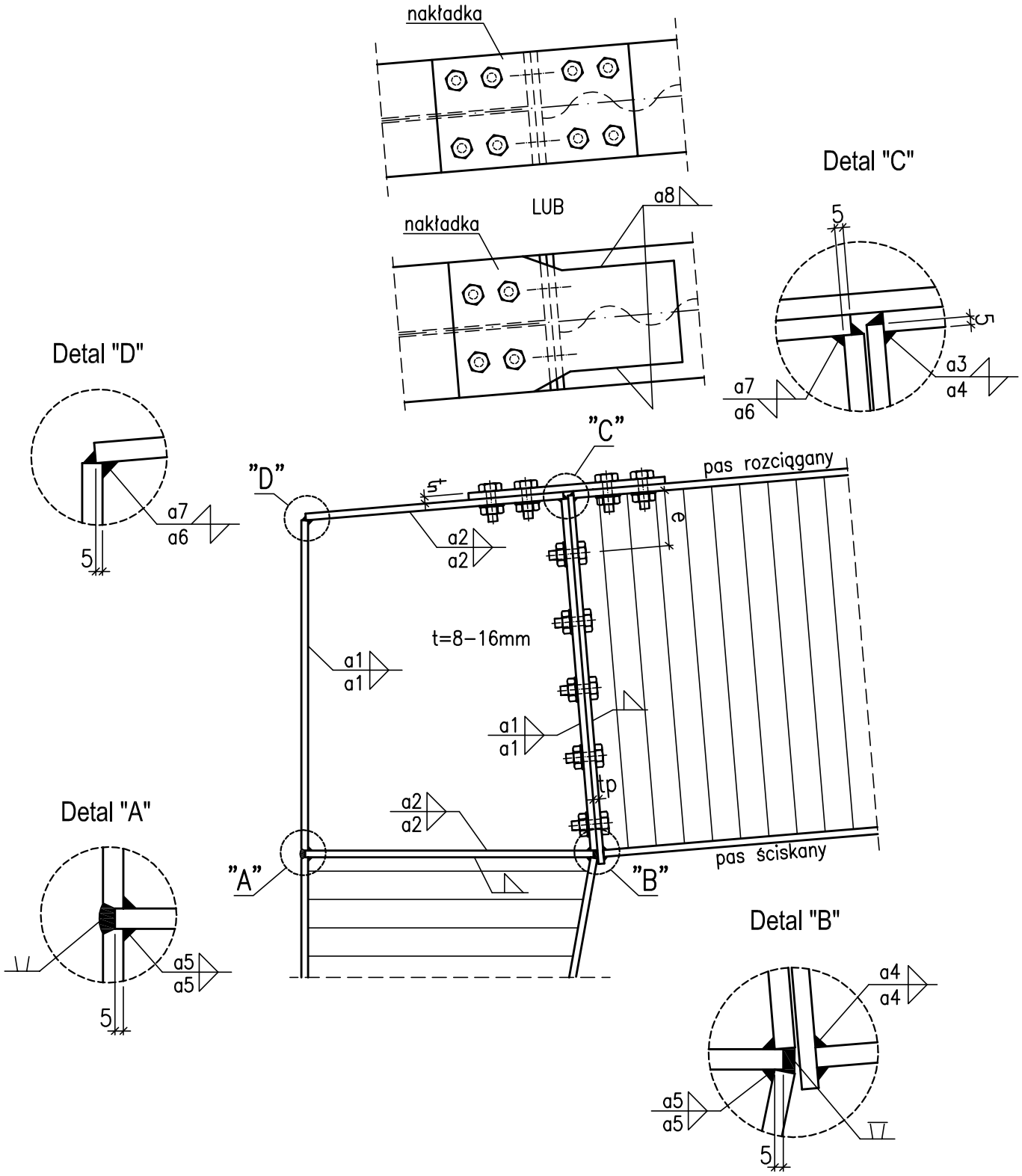

Uwagi:

- t, t_n, śruby i spoiny zgodnie z obliczeniami statycznymi
- nakładka: wymiary, ilość i średnica śrub zgodnie zgodnie z obliczeniami statycznymi
- e=~100mm
- t_p=10-12mm

Stahlkonstruktionen Zeman Bogensysteme Hallenbau	TEMAT SIN STANDARD DOKUMENTACJA TECHNICZNA	ARKUSZ 28	ZMIANA –	DATA ZMIANY .
	TYTUŁ E3 – NAROŻE RAMY	NAZWISKO Wojtusik	SKALA	DATA 01.08.18

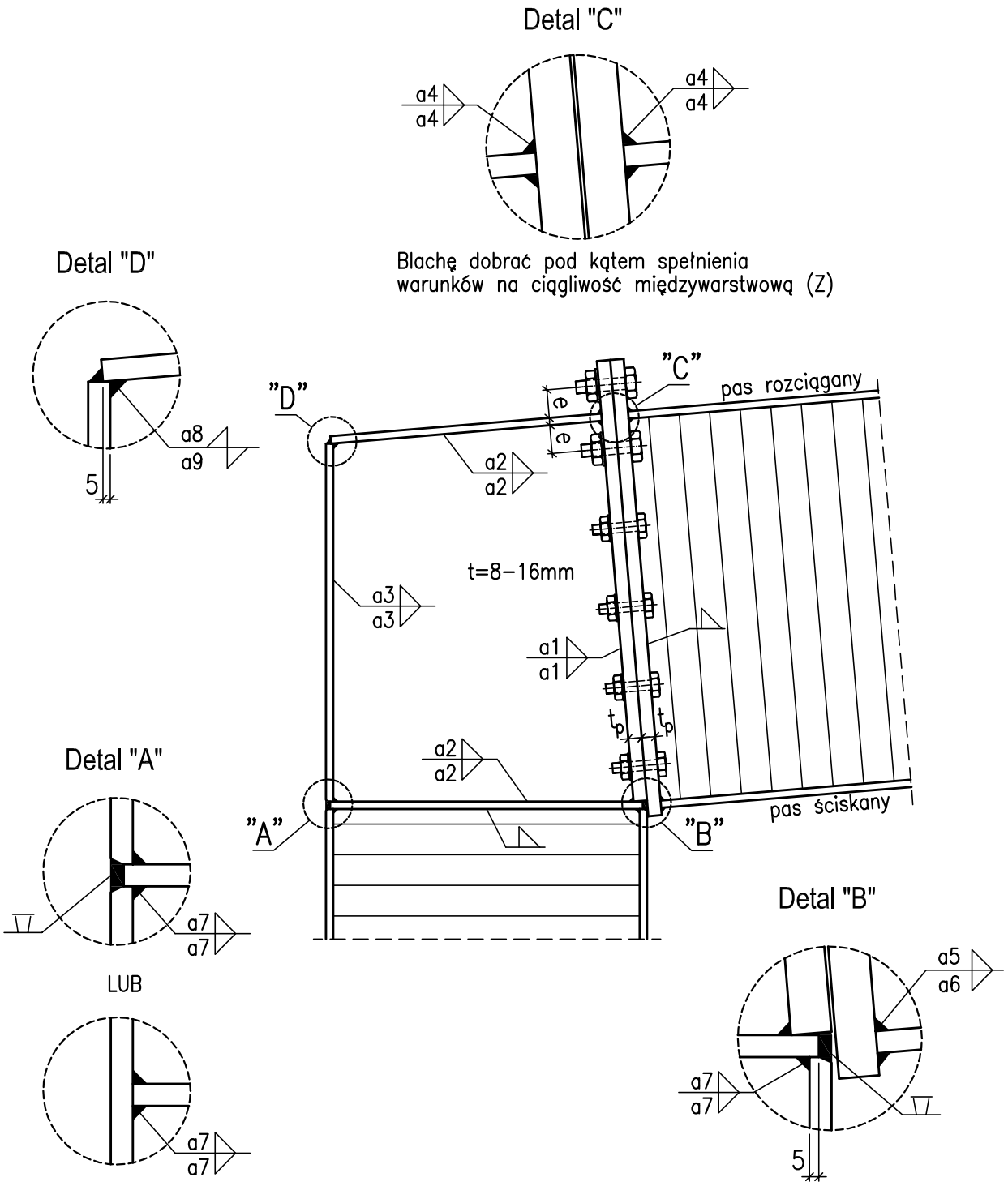

Uwagi:

- t, t_p, e, śruby i spoiny zgodnie z obliczeniami statycznymi

Stahlkonstruktionen Zeman Bogensysteme Hallenbau	TEMAT SIN STANDARD DOKUMENTACJA TECHNICZNA	ARKUSZ 29	ZMIANA –	DATA ZMIANY .
	TYTUŁ E4 – NAROŻE RAMY	NAZWISKO Wojtusik	SKALA	DATA 01.08.18

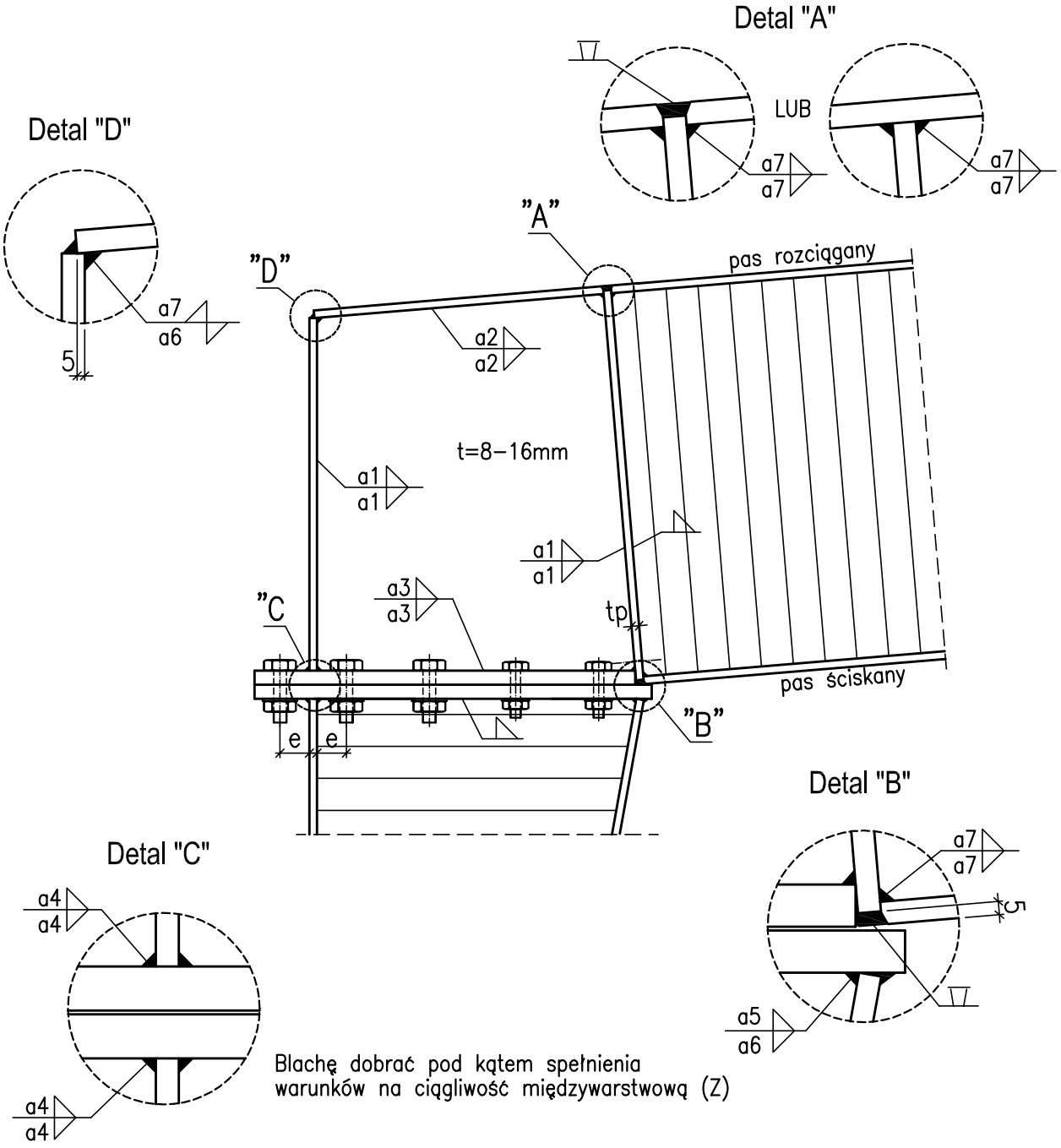

Blachę dobrać pod kątem spełnienia warunków na ciągliwość międzywarstwową (Z)

Uwagi:

- t, t_p, e, śruby i spoiny zgodnie z obliczeniami statycznymi

Stahlkonstruktionen Zeman Bogensysteme Hallenbau	TEMAT SIN STANDARD DOKUMENTACJA TECHNICZNA	ARKUSZ 30	ZMIANA –	DATA ZMIANY .
	TYTUŁ E5 – NAROŻE RAMY	NAZWISKO Wojtusik	SKALA	DATA 01.08.18

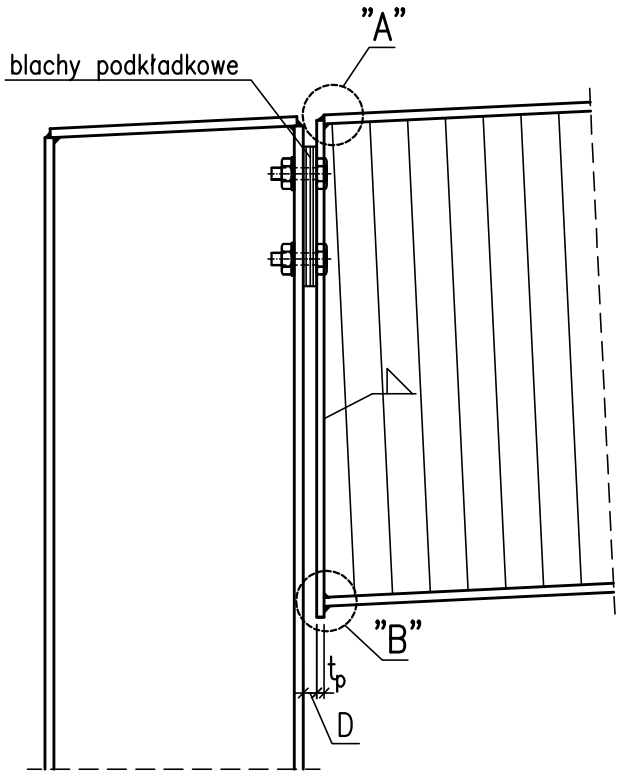

Detal "A"

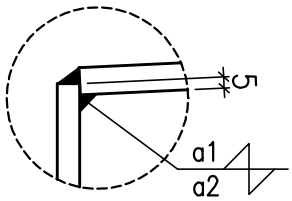

LUB

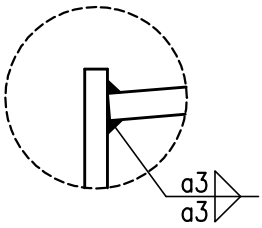

Detal "B"

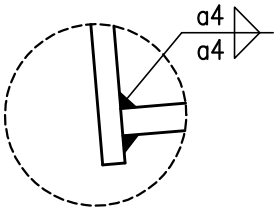

blachy podkładkowe

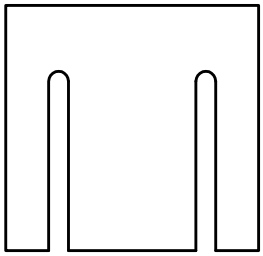

Uwagi:

- śruby i spoiny zgodnie z obliczeniami statycznymi
- t_p=10-12mm
- wymiar D zgodnie z obliczeniami statycznymi w celu zapewnienia braku styku pomiedzy dolnym pasem belki, a słupem podczas maksymalnego ugięcia belki

	TEMAT	ARKUSZ	ZMIANA	DATA ZMIANY
Stahlkonstruktionen Zeman Bogensysteme Hallenbau	SIN STANDARD DOKUMENTACJA TECHNICZNA	31	—	.
	TYTUŁ E6 – NAROŻE RAMY	NAZWISKO Wojtusik	SKALA	DATA 01.08.18

NIE ZALECANY!

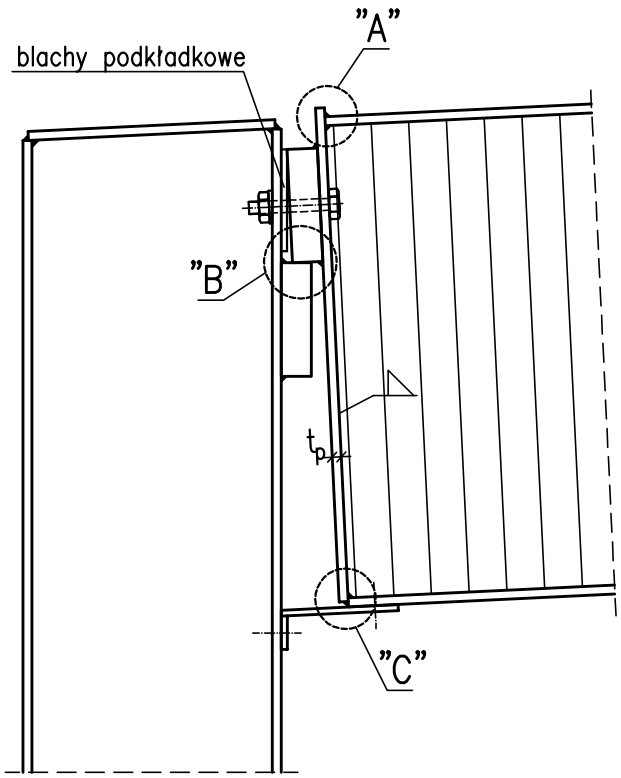

Detal "A"

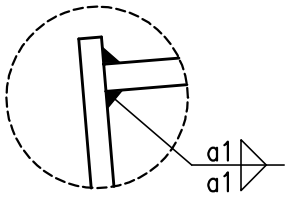

Detal "C"

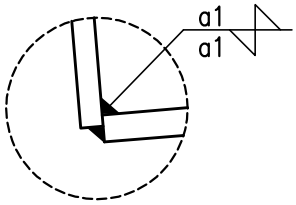

blachy podkładkowe

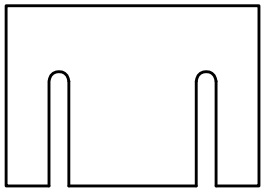

Detal "B"

wariant 1

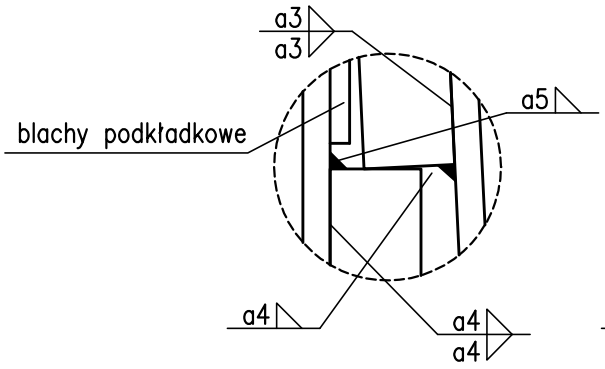

wariant 2

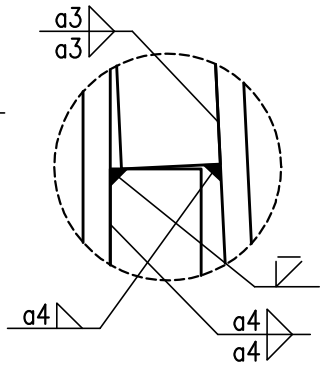

Uwagi:

- śruby i spoiny zgodnie z obliczeniami statycznymi
- t_p=10-12mm

Stahlkonstruktionen Zeman Bogensysteme Hallenbau	TEMAT SIN STANDARD DOKUMENTACJA TECHNICZNA	ARKUSZ 32	ZMIANA –	DATA ZMIANY .
	TYTUŁ E7 – NAROŻE RAMY	NAZWISKO Wojtusik	SKALA	DATA 01.08.18

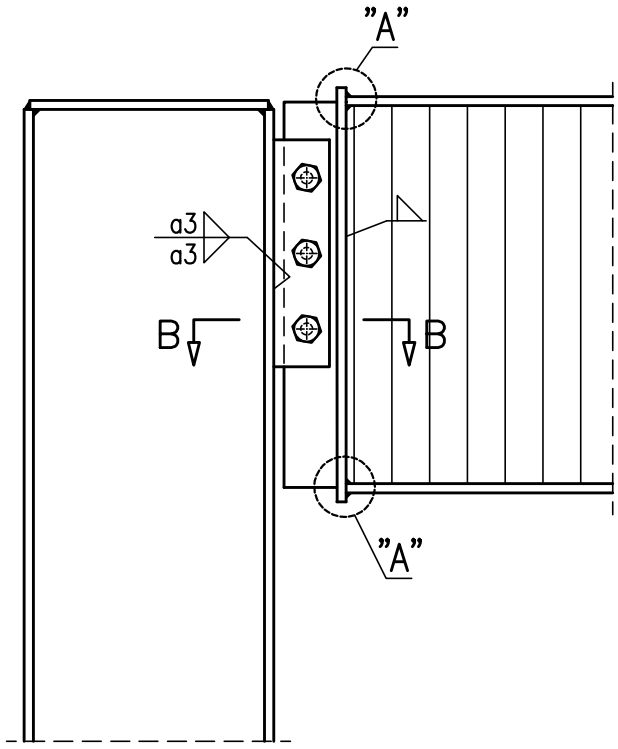

Detal "A"

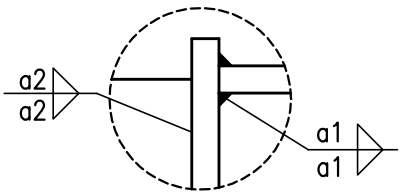

Przekrój B-B

wariant 1
ZALECANY!

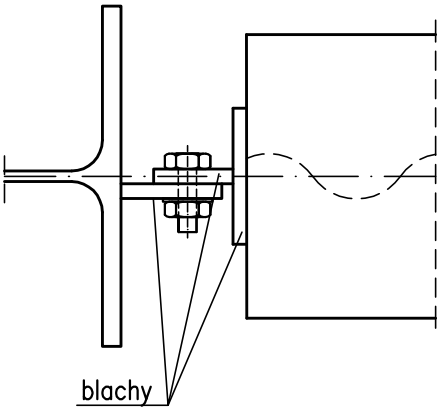

wariant 2

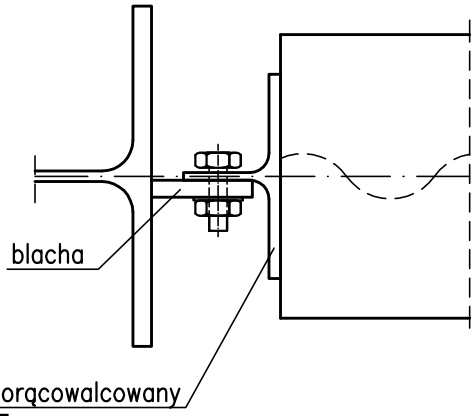

Uwagi:

- odpowiednie dla połączeń przegubowych
- blachy lub profil gorącowalcowany zgodnie z obliczeniami statycznymi
- śruby i spoiny zgodnie z obliczeniami statycznymi

Stahlkonstruktionen Zeman Bogensysteme Hallenbau	TEMAT SIN STANDARD DOKUMENTACJA TECHNICZNA	ARKUSZ 33	ZMIANA –	DATA ZMIANY .
	TYTUŁ E8 – NAROŻE RAMY	NAZWISKO Wojtusik	SKALA	DATA 01.08.18

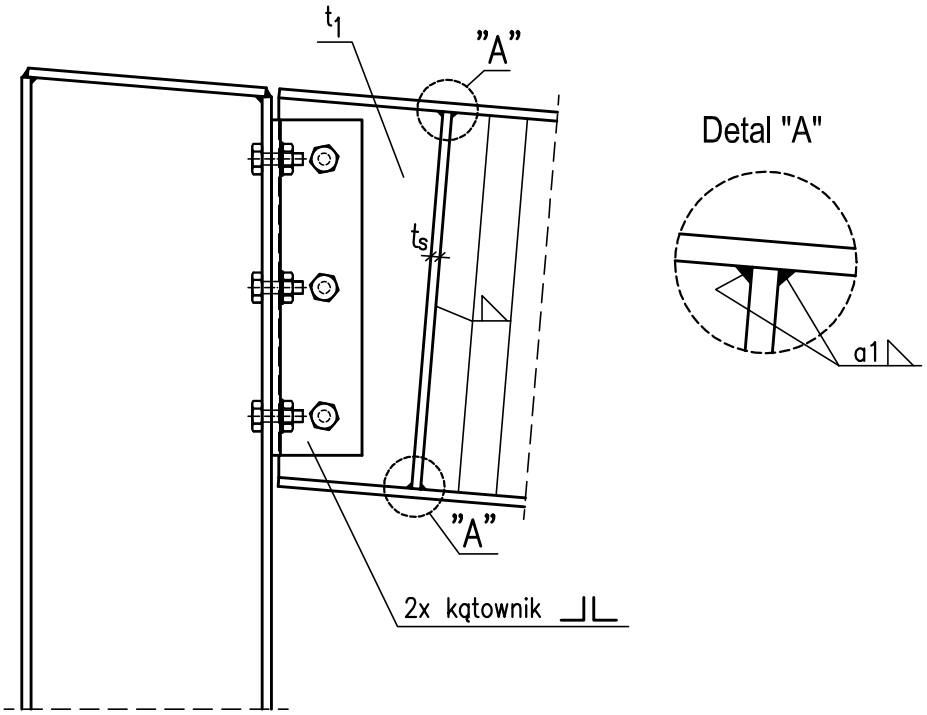

Uwagi:

- t_1, kątownik zgodnie z obliczeniami statycznymi
- śruby i spoiny zgodnie z obliczeniami statycznymi
- t_s=10-12mm

Stahlkonstruktionen Zeman Bogensysteme Hallenbau	TEMAT SIN STANDARD DOKUMENTACJA TECHNICZNA	ARKUSZ 34	ZMIANA –	DATA ZMIANY .
	TYTUŁ F1 – PODSTAWA SŁUPA	NAZWISKO Wojtusik	SKALA	DATA 01.08.18

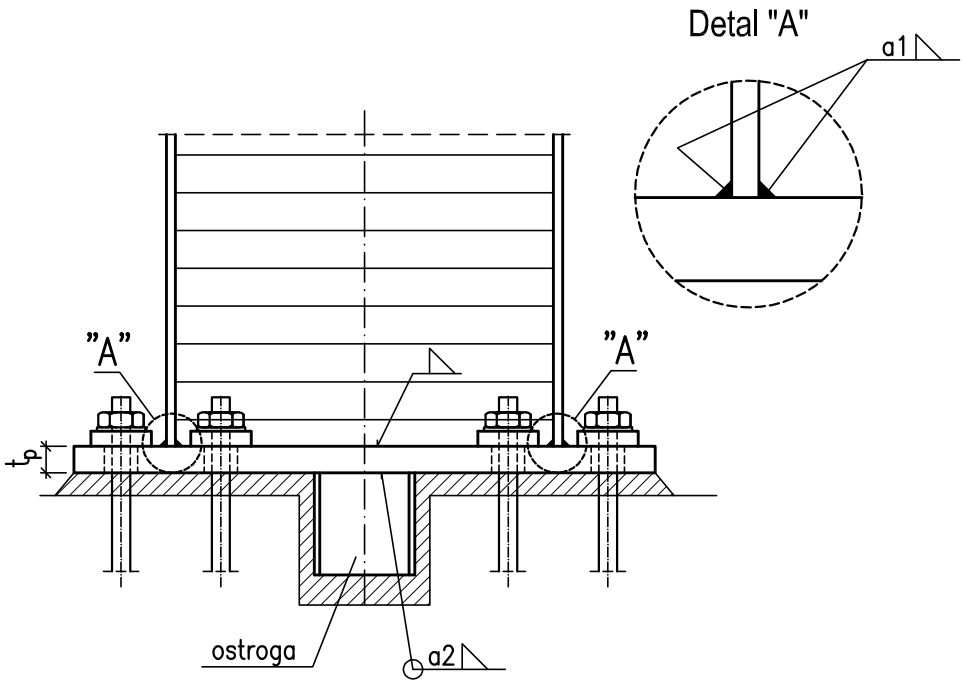

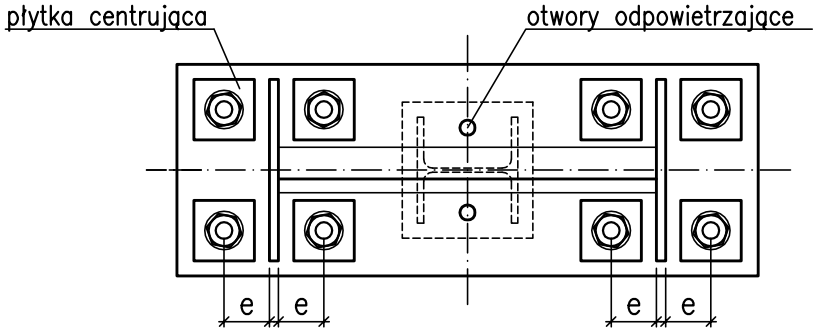

Uwagi:

- odpowiednie dla połączeń sztywnych (utwierdzenia)
- t_p, e, śruby i spoiny zgodnie z obliczeniami statycznymi
- płytka centrująca zgodnie z arkuszem 8
- należy sprawdzić docisk do betonu zgodnie z p.4.5

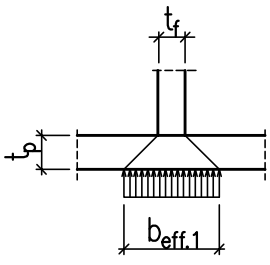

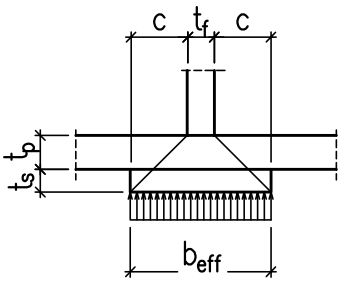

jeśli $b_{eff.1}$ jest nie wystarczające dla przeniesienia naprężeń ściskających przez beton należy zastosować blachy podkładkowe

Stahlkonstruktionen Zeman Bogensysteme Hallenbau	TEMAT SIN STANDARD DOKUMENTACJA TECHNICZNA	ARKUSZ 35	ZMIANA –	DATA ZMIANY .
	TYTUŁ F2 – PODSTAWA SŁUPA	NAZWISKO Wojtusik	SKALA	DATA 01.08.18

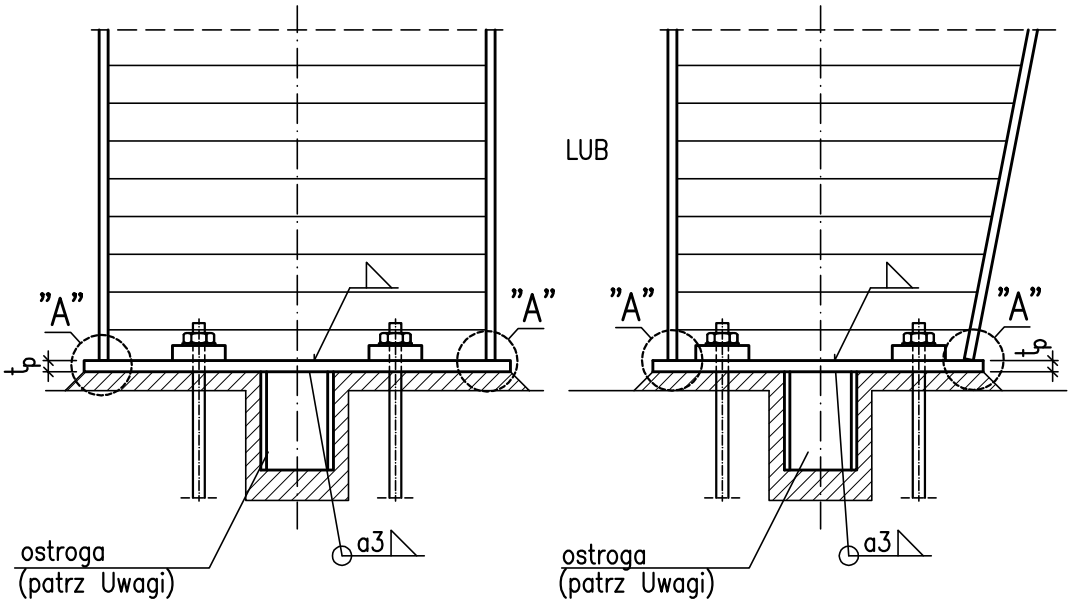

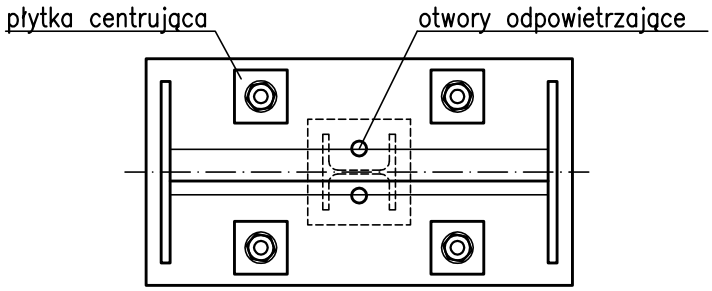

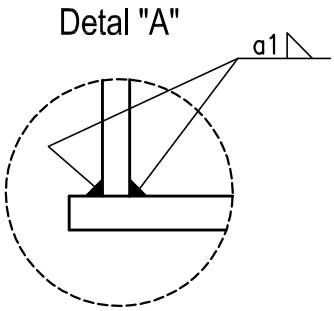

Uwagi:

- odpowiednie dla połączeń przegubowych
- t_p, śruby i spoiny zgodnie z obliczeniami statycznymi
- zastosowanie ostrogi tylko w przypadku gdy śruby kotwiące nie przeniosą sił tnących (np. w połączeniu ze stężeniami)
- płytka centrująca zgodnie z arkuszem 8
- należy sprawdzić docisk do betonu zgodnie z p.4.5

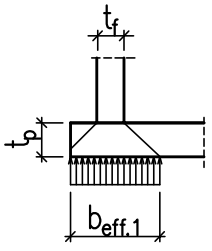

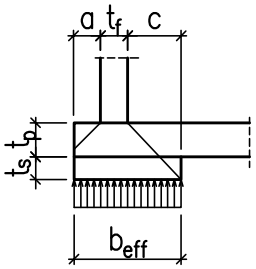

jeśli b_{eff} jest nie wystarczające dla przeniesienia naprężeń ściskających przez beton należy zastosować blachy podkładkowe

Stahlkonstruktionen Zeman Bogensysteme Hallenbau	TEMAT SIN STANDARD DOKUMENTACJA TECHNICZNA	ARKUSZ 36	ZMIANA –	DATA ZMIANY .
	TYTUŁ F3 – PODSTAWA SŁUPA	NAZWISKO Wojtusik	SKALA	DATA 01.08.18

Detal "A"

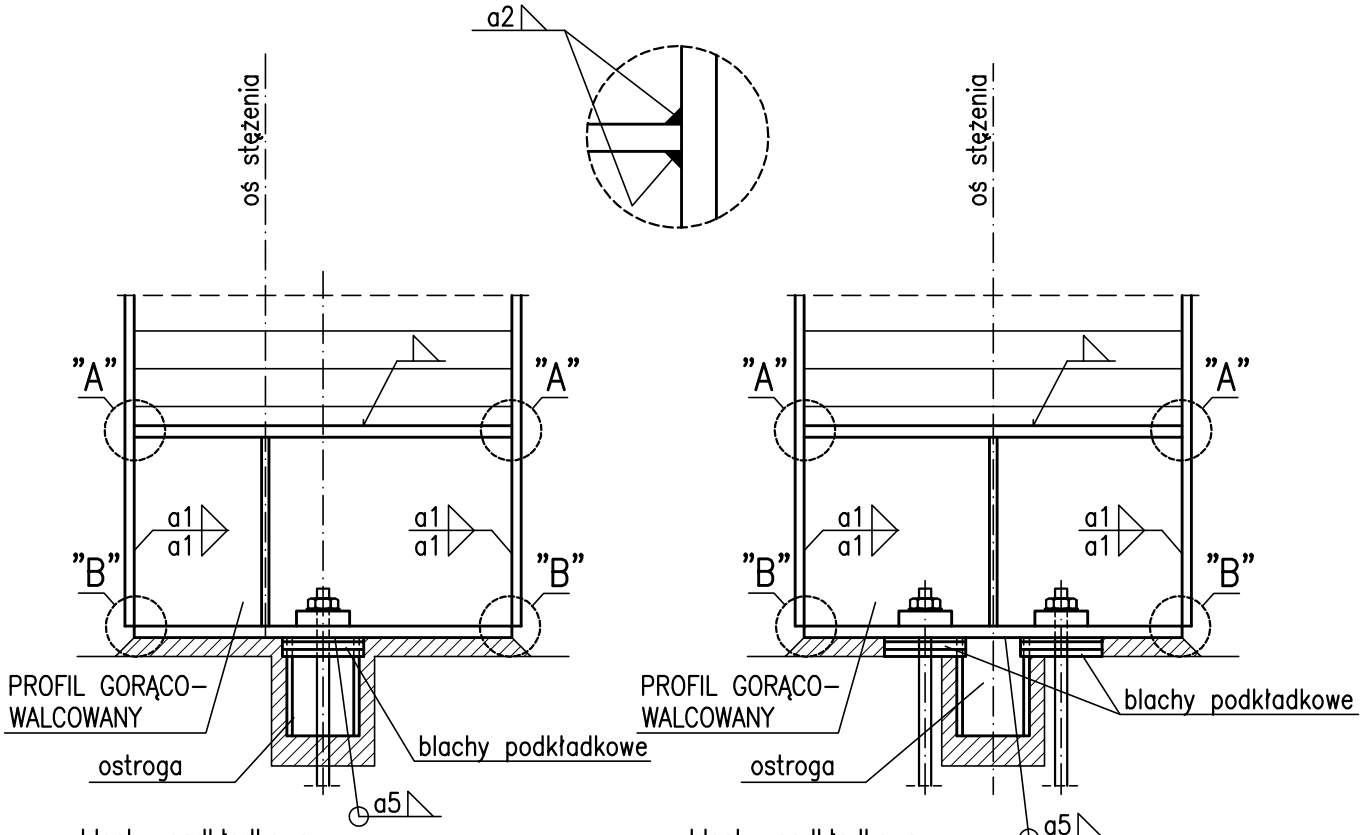

Detal "B"

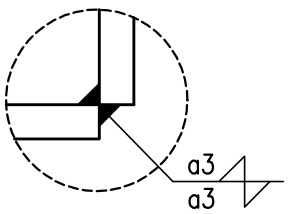

blachy podkładkowe

Uwagi:

- odpowiednie dla połączeń przegubowych (zalecane blachy podkładkowe)
- odpowiednie tylko dla profili z równoległymi pasami
- profil gorącowalcowany, śruby i spoiny zgodnie z obliczeniami statycznymi
- płytka centrująca zgodnie z arkuszem 8
- typ połączenia stosowany tylko gdy docisk do betonu w połączeniach pokazanych na arkuszu 35 przekracza wartości dopuszczalne (zgodnie z p.4.5)

Stahlkonstruktionen Zeman Bogensysteme Hallenbau	TEMAT SIN STANDARD DOKUMENTACJA TECHNICZNA	ARKUSZ 37	ZMIANA –	DATA ZMIANY .
	TYTUŁ F4 – PODSTAWA SŁUPA	NAZWISKO Wojtusik	SKALA	DATA 01.08.18

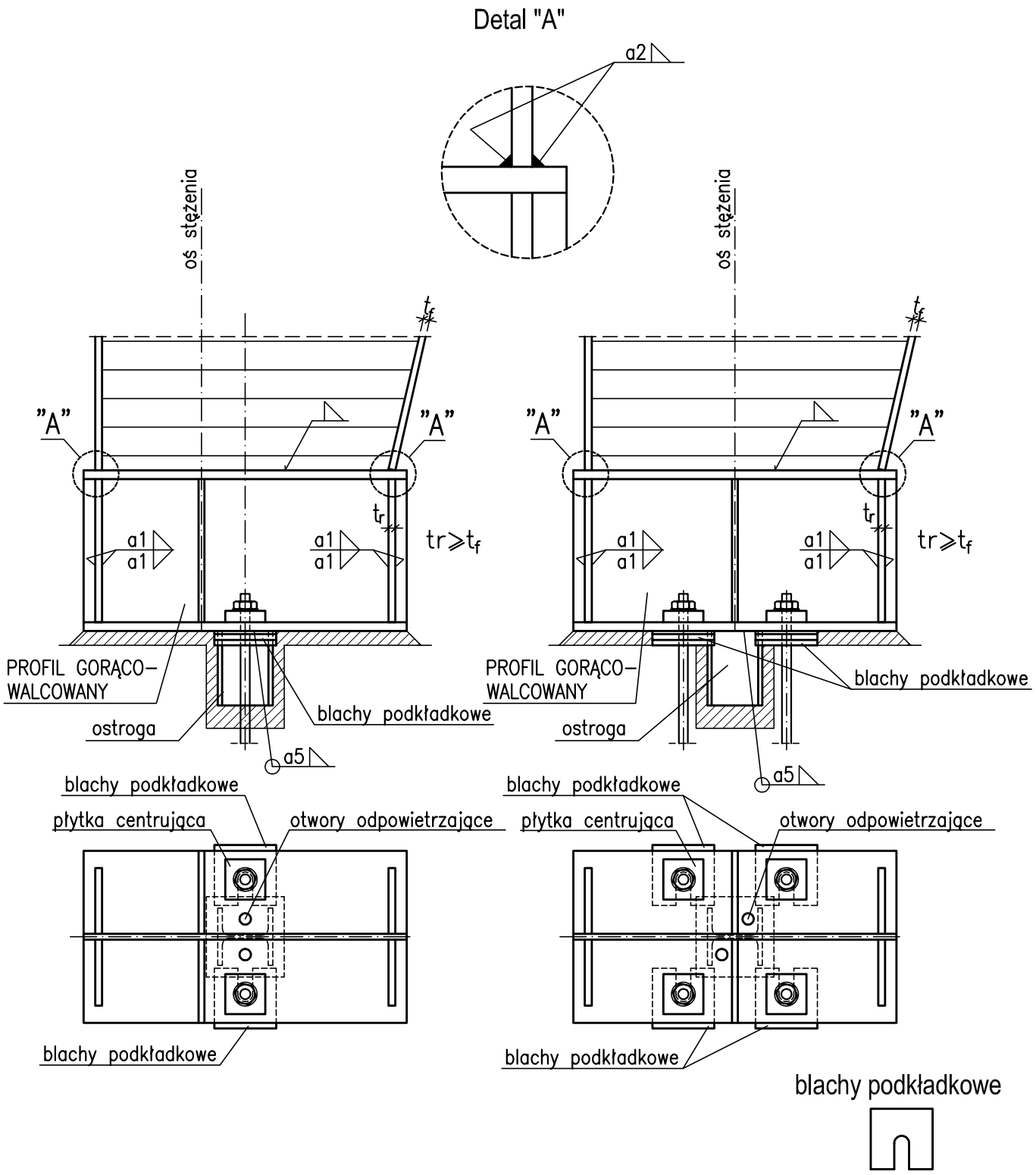

Uwagi:

- odpowiednie dla połączeń przegubowych (zalecane blachy podkładkowe)
- profil gorącowalcowany, śruby i spoiny zgodnie z obliczeniami statycznymi
- płytka centrująca zgodnie z arkuszem 8
- typ połączenia stosowany tylko gdy docisk do betonu w połączeniach pokazanych na arkuszu 35 przekracza wartości dopuszczalne (zgodnie z p.4.5)

Stahlkonstruktionen Zeman Bogensysteme Hallenbau	TEMAT SIN STANDARD DOKUMENTACJA TECHNICZNA	ARKUSZ 38	ZMIANA –	DATA ZMIANY .
	TYTUŁ F5 – PODSTAWA SŁUPA	NAZWISKO Wojtusik	SKALA	DATA 01.08.18

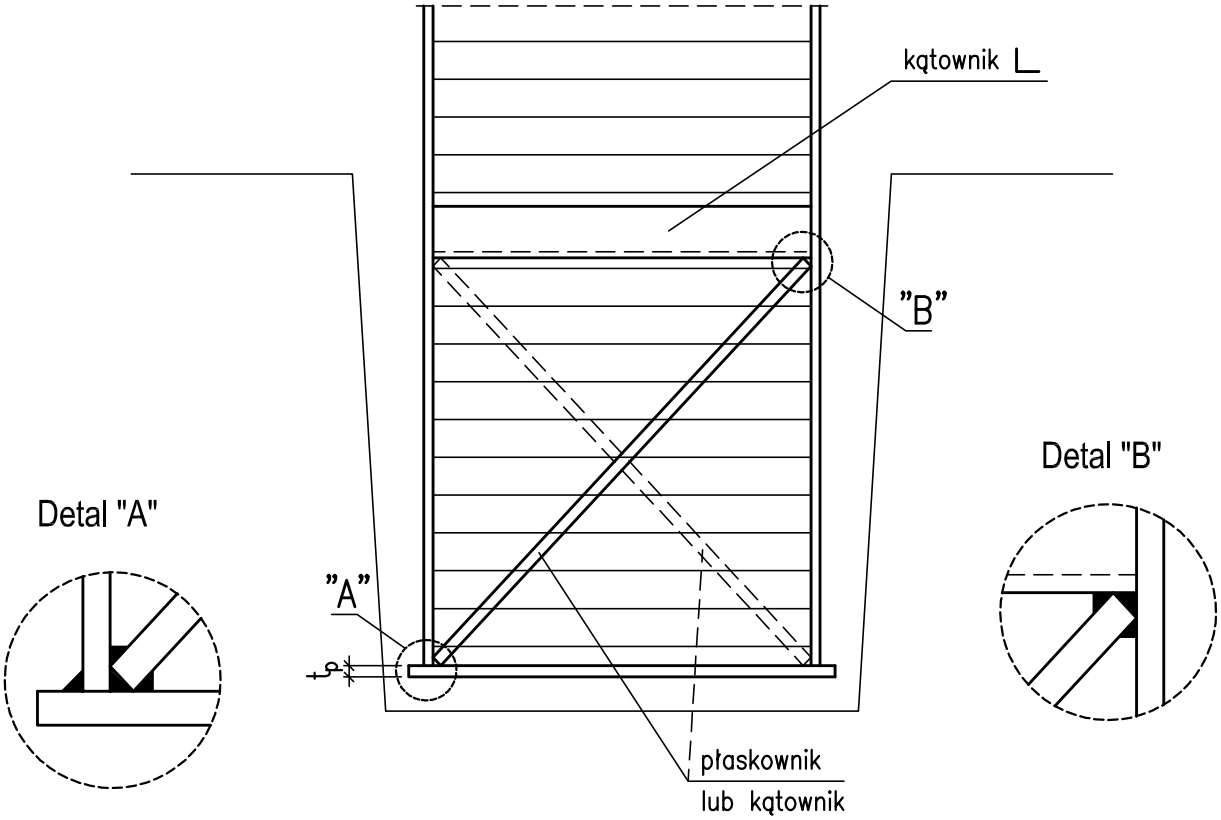

Uwagi:

- odpowiednie dla połączeń sztywnych (utwierdzenia)
- t_p, spoiny zgodnie z obliczeniami statycznymi

Stahlkonstruktionen Zeman Bogensysteme Hallenbau	TEMAT SIN STANDARD DOKUMENTACJA TECHNICZNA	ARKUSZ 39	ZMIANA –	DATA ZMIANY .
	TYTUŁ G1 – WSPORNIK POD BELKĘ PODSUWNICOWĄ	NAZWISKO Wojtusik	SKALA	DATA 01.08.18

Detal "A"

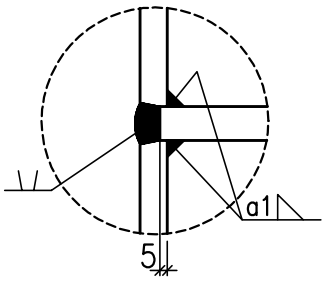

Detal "B"

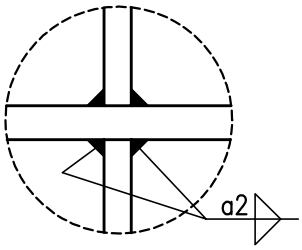

Przekrój C-C

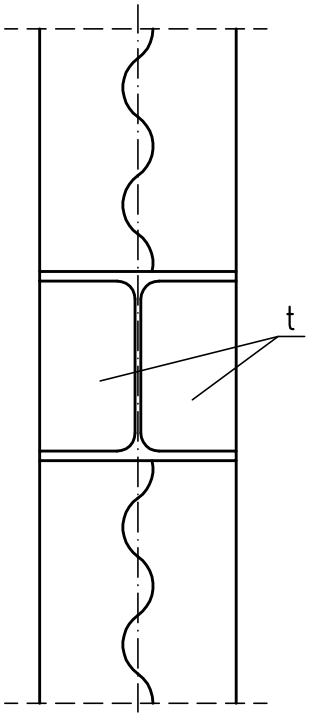

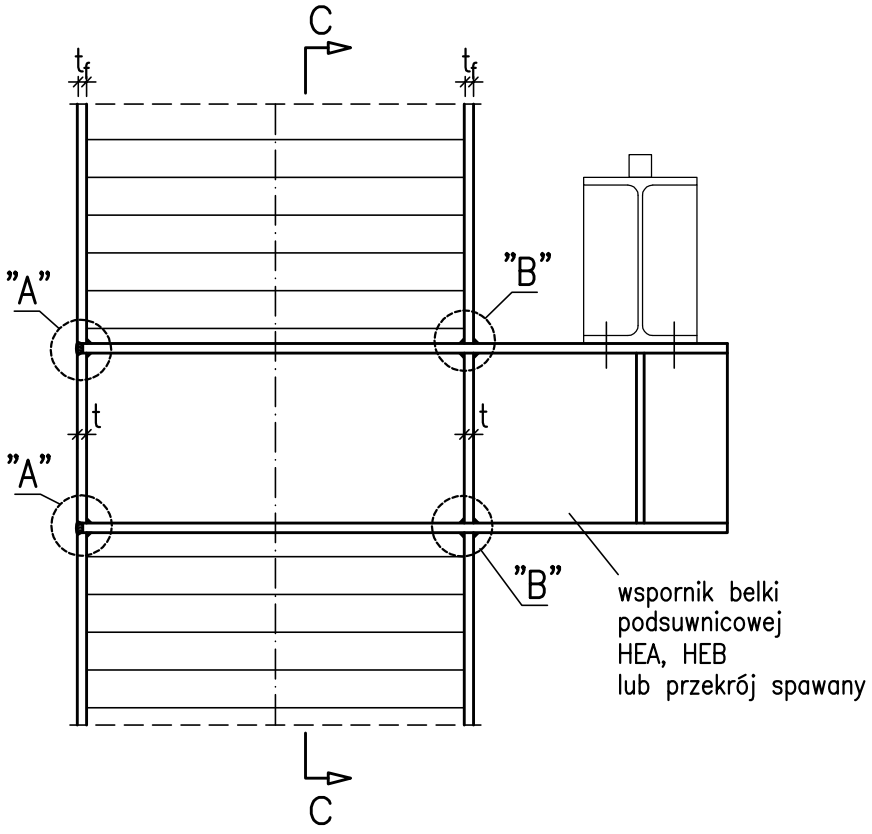

Uwagi:

- spoiny zgodnie z obliczeniami statycznymi
- wspornik belki podsuwnicowej zgodnie z obliczeniami statycznymi
- $t >= t_f$

Stahlkonstruktionen Zeman Bogensysteme Hallenbau	TEMAT SIN STANDARD DOKUMENTACJA TECHNICZNA	ARKUSZ 40	ZMIANA –	DATA ZMIANY .
	TYTUŁ H1 – POŁĄCZENIE Z WEWNĘTRZNYM SŁUPEM	NAZWISKO Wojtusik	SKALA	DATA 01.08.18

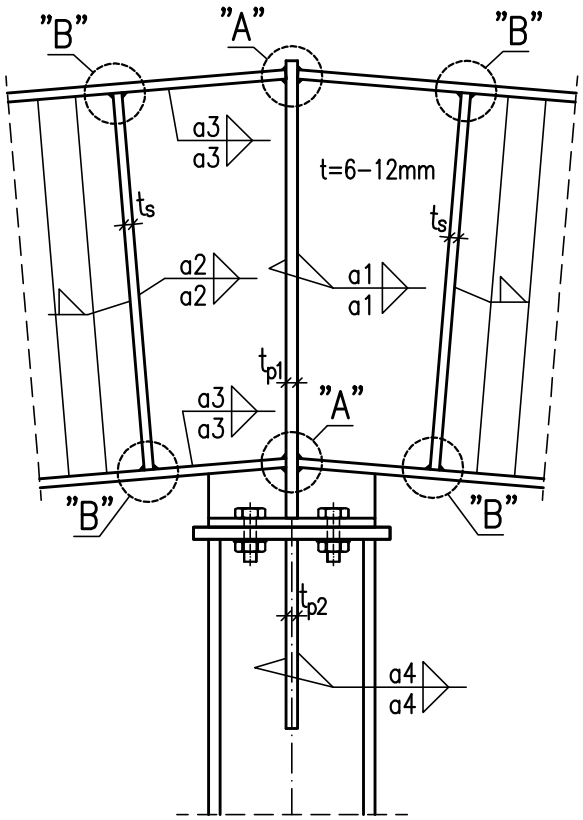

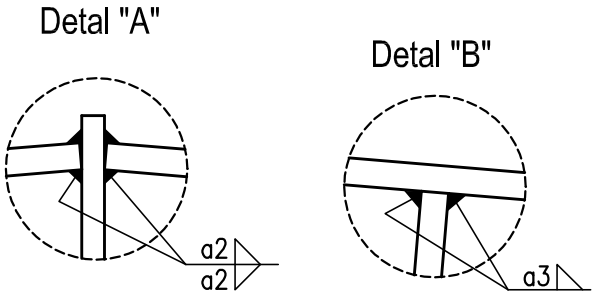

Blachę dobrać pod kątem spełnienia warunków na ciągliwość międzywarstwową (Z)

Uwagi:

- t, t_{p1}, t_{p2} zgodnie z obliczeniami statycznymi
- śruby i spoiny zgodnie z obliczeniami statycznymi
- należy sprawdzić możliwość utraty lokalnej stateczności środnika
- t_s=10-12mm

Stahlkonstruktionen Zeman Bogensysteme Hallenbau	TEMAT SIN STANDARD DOKUMENTACJA TECHNICZNA	ARKUSZ 41	ZMIANA –	DATA ZMIANY .
	TYTUŁ J1 – POŁĄCZENIE Z WEWNĘTRZNYM SŁUPEM	NAZWISKO Wojtusik	SKALA	DATA 01.08.18

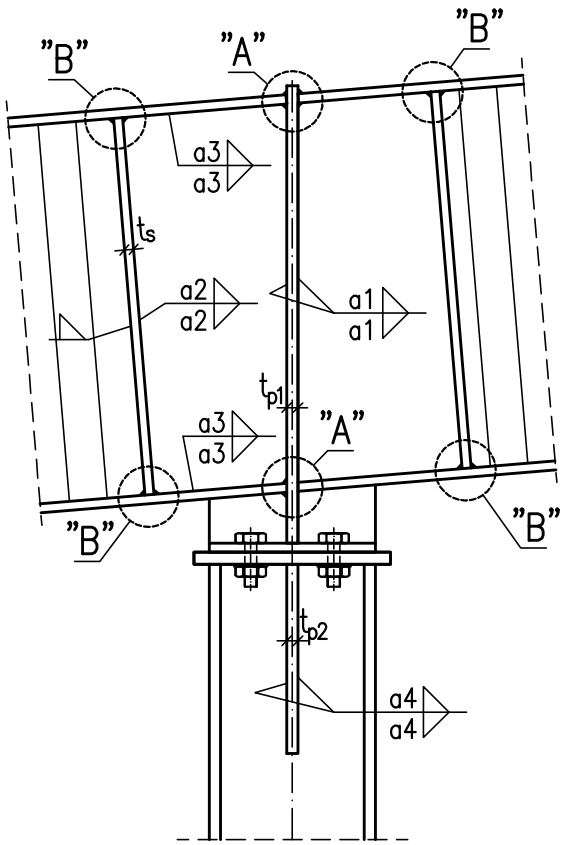

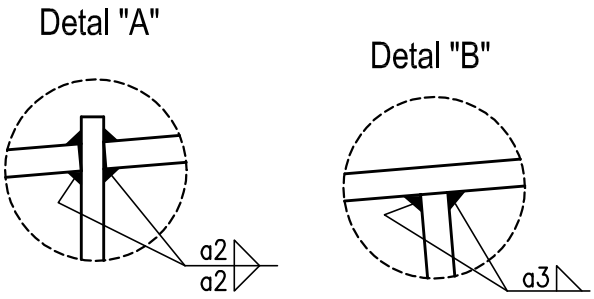

Blachę dobrać pod kątem spełnienia warunków na ciągliwość międzywarstwową (Z)

Uwagi:

- t, t_{p1}, t_{p2} zgodnie z obliczeniami statycznymi
- śruby i spoiny zgodnie z obliczeniami statycznymi
- należy sprawdzić możliwość utraty lokalnej stateczności środnika
- t_s=10-12mm